

卷末資料 3 鉍石化学分析結果一覽表

卷末資料3 鉍石化学分析結果一覽表(1/8)

Serial number	Sample numbers	Au ppm	Ag ppm	Cu %	Pb %	Zn %	TFe %	Cd ppm	As ppm	Hg ppm	Ni ppm	Co ppm
1	A071703	0.0420	1.700	0.4800	0.0005	0.0203	12.40	0.10	1.4	0.006	18	24
2	A072001	0.0110	11.600	0.0637	0.8800	5.0100	16.85	121.00	1.1	0.018	18	23
3	A073102	0.0024	0.070	0.0113	0.0025	0.0047	6.24	0.18	2.3	0.006	7	24
4	A080501	0.0130	14.100	0.1100	1.3300	0.6600	0.94	13.00	21.0	0.140	19	22
5	A080503	0.0054	9.190	0.0398	1.3300	0.0145	0.85	1.00	22.0	0.215	8	11
6	A080504	0.0056	8.690	0.4500	0.7700	0.2100	1.05	1.80	37.0	0.210	14	19
7	A080805	0.0140	3.500	0.2500	0.0900	0.0138	3.52	0.26	5.3	0.020	20	18
8	A081401	10.7000	7.570	1.5500	0.0285	0.0769	34.10	3.20	126.0	0.006	174	187
9	A081501	0.2700	0.240	0.0747	0.0030	0.0180	6.47	0.38	6.4	0.008	17	26
10	A081502	0.0086	0.100	0.0194	0.0140	0.0043	5.54	0.20	5.6	0.010	32	22
11	A081503	0.0096	0.060	0.0107	0.0017	0.0170	11.75	0.22	1.3	0.018	26	43
12	A082701	0.2700	0.240	0.7900	0.0035	0.0223	31.45	0.72	160.0	0.006	351	1300
13	A083102	0.0270	0.800	0.0538	0.0012	0.0261	56.10	0.10	3.1	0.006	18	23
14	A083104	0.0085	1.000	0.0564	0.0060	0.0389	34.20	0.30	1.4	0.008	26	18
15	A090601	0.0034	0.100	0.0145	0.0015	0.0200	11.10	0.10	1.5	0.010	24	39
16	A090602	0.0047	0.215	0.0659	0.0018	0.0309	19.15	0.29	1.3	0.012	28	27
17	A090603	0.0140	1.150	0.2100	0.0045	0.0210	30.55	0.15	2.6	0.038	16	33
18	A090604	0.0490	0.590	0.1700	0.0008	0.0470	11.05	0.43	1.5	0.016	10	20
19	A090701	0.0250	6.560	0.3400	0.0070	1.6600	26.65	31.00	4.2	0.061	15	22
20	Y071801	0.2300	0.850	0.3100	0.0010	0.0376	8.39	0.32	5.1	0.014	17	20
21	Y072501	0.0021	1.100	0.0086	0.0700	1.7500	12.70	38.00	1.8	0.140	20	12
22	Y072502	0.0017	1.500	0.0263	0.0750	1.3500	9.92	30.00	1.6	0.125	19	12
23	Y072704	0.0010	0.760	0.0043	0.0815	0.3700	4.01	12.00	12.0	0.044	22	9
24	Y072705	0.0010	0.760	0.0094	0.0200	0.6200	5.85	19.00	3.6	0.043	23	10
25	Y072706	0.0031	1.000	0.3200	0.0070	1.8000	6.67	23.00	1.8	0.120	94	16
26	Y072707	0.0020	1.100	0.1800	0.0100	4.0600	17.30	53.00	2.6	0.410	23	20
27	Y072708	0.0014	1.200	0.0754	0.0230	5.8600	8.91	139.00	1.5	0.355	19	13
28	Y072714	0.0014	1.250	0.0407	0.0250	1.8700	5.88	36.00	5.5	0.123	18	9
29	Y072715	0.0043	0.850	0.0273	0.0260	0.9700	8.32	30.00	4.5	0.095	13	15
30	Y072716	0.0022	0.185	0.0114	0.0070	0.0975	7.47	0.96	1.3	0.010	19	14
31	Y072717	0.0130	0.400	0.0703	0.0100	0.0952	11.55	0.96	4.1	0.010	30	18
32	Y072718	0.0140	0.560	0.0352	0.0050	0.7200	7.85	24.00	3.1	0.095	15	13
33	Y072719	0.0015	0.560	0.0070	0.0100	0.6600	11.30	22.00	1.8	0.066	17	11
34	Y072720	0.0011	1.000	0.0071	0.0105	1.6200	12.60	45.00	3.7	0.280	15	12
35	Y072721	0.0039	0.900	0.0290	0.0035	1.1700	15.85	52.00	6.9	0.140	18	16

卷末資料3 鉍石化学分析結果一覽表(2/8)

Serial number	Sample numbers	Au ppm	Ag ppm	Cu %	Pb %	Zn %	TFe %	Cd ppm	As ppm	Hg ppm	Ni ppm	Co ppm
36	Y080306	0.0015	0.100	0.0106	0.0010	0.5800	17.05	23.00	1.2	0.043	18	15
37	Y080307	0.0026	0.870	0.0450	0.0045	1.1700	13.70	22.00	11.0	0.142	19	13
38	Y080308	0.0032	0.890	0.0150	0.0050	0.2000	13.50	2.20	10.0	0.021	16	13
39	Y080309	0.0018	0.890	0.0286	0.0020	1.0700	15.65	26.00	1.2	0.054	14	13
40	Y080310	0.0051	3.500	0.0189	0.0400	0.2800	8.95	9.20	39.0	0.025	29	20
41	Y080311	0.0023	0.860	0.0160	0.0010	0.9900	11.80	17.00	116.0	0.022	21	17
42	Y080312	0.0042	2.200	0.1000	0.0025	1.0400	11.80	15.00	3.9	0.075	17	19
43	Y080313	0.0280	5.490	0.0146	0.0085	0.4700	7.62	14.00	2.4	0.010	16	11
44	Y080314	0.0049	5.550	0.0206	0.0385	1.1500	9.81	34.00	7.9	0.035	18	14
45	Y080315	0.0036	0.560	0.0091	0.0120	0.5200	16.80	15.00	7.9	0.020	14	11
46	Y080316	0.0063	0.430	0.0240	0.0030	0.3200	17.75	11.00	12.0	0.012	17	18
47	Y080317	0.0018	3.200	0.0112	0.0800	0.6100	14.60	20.00	3.9	0.010	18	13
48	Y080318	0.0034	6.670	0.0145	0.2000	0.4600	16.60	15.00	4.9	0.008	17	13
49	Y080319	0.0042	0.120	0.0121	0.0010	0.2300	19.05	11.00	2.5	0.008	20	13
50	Y080320	0.0013	0.078	0.0120	0.0010	0.1300	21.40	0.97	2.8	0.010	20	14
51	Y080321	0.0013	0.490	0.0100	0.0020	1.0800	14.10	30.00	3.8	0.038	25	13
52	Y080802	0.0011	0.057	0.0014	0.0006	0.0190	43.55	0.14	3.2	0.016	5	16
53	Y080803	0.0019	0.060	0.0058	0.0009	0.0180	45.10	0.10	4.1	0.012	7	21
54	Y080804	0.0012	0.060	0.0014	0.0008	0.0259	45.55	0.56	3.1	0.016	5	13
55	Y080810	0.0022	0.057	0.0019	0.0010	0.0266	40.70	0.30	1.5	0.010	7	20
56	Y080811	0.0013	0.065	0.0032	0.0030	0.0577	28.65	0.81	1.6	0.012	5	14
57	Y080812	0.0016	0.060	0.0232	0.0006	0.0133	44.00	0.18	5.8	0.010	15	24
58	Y080813	0.0056	0.060	0.0038	0.0008	0.5100	36.35	0.11	3.6	0.018	7	18
59	Y081701	0.7700	8.320	0.1600	0.0005	0.0228	48.60	0.57	600.0	0.010	94	78
60	Y081702	0.2200	1.400	2.4800	0.0008	0.0767	28.20	3.50	422.0	0.008	442	886
61	Y081703	0.0900	1.700	1.1300	0.0010	0.0679	23.40	3.30	320.0	0.008	414	352
62	Y081704	0.0330	0.089	0.4900	0.0008	0.0246	15.85	0.85	36.0	0.006	613	274
63	Y081705	1.5600	8.390	0.2400	0.0018	0.0630	48.65	1.20	82.0	0.006	125	54
64	Y081706	0.3000	6.940	0.8500	0.0008	0.0368	47.95	1.20	107.0	0.006	185	142
65	Y081707	1.7700	7.470	0.4900	0.0007	0.0292	42.50	0.44	38.0	0.006	242	61
66	Y081708	0.6400	1.100	0.8200	0.0010	0.0393	26.60	2.10	104.0	0.008	543	196
67	Y081709	0.0430	0.205	1.1000	0.0026	0.0369	23.95	2.50	80.0	0.008	667	390
68	Y081710	0.5400	1.500	1.6100	0.0009	0.0516	40.15	2.90	86.0	0.006	313	351
69	Y081711	0.3100	0.500	0.3500	0.0009	0.0296	41.55	0.82	49.0	0.008	147	96
70	Y081712	0.4500	0.100	0.4300	0.0005	0.0280	50.40	0.44	45.0	0.006	166	86

卷末資料3 鉍石化学分析結果一覽表(3/8)

Serial number	Sample numbers	Au ppm	Ag ppm	Cu %	Pb %	Zn %	TFe %	Cd ppm	As ppm	Hg ppm	Ni ppm	Co ppm
71	Y081713	0.5600	0.400	0.6300	0.0008	0.0319	50.20	0.69	46.0	0.006	207	111
72	Y081714	1.1700	0.810	0.4700	0.0019	0.0915	51.05	1.79	55.0	0.006	222	104
73	Y081715	0.6000	0.500	0.9900	0.0005	0.0326	47.55	0.47	47.0	0.008	246	118
74	Y081816	0.4300	0.400	0.4800	0.0005	0.0320	46.50	1.00	40.0	0.006	192	102
75	Y081717	0.5400	1.400	0.5100	0.0018	0.0274	27.35	0.95	87.0	0.006	158	108
76	Y081718	0.2500	0.245	0.1800	0.0005	0.0253	47.00	0.46	55.0	0.008	214	95
77	Y081719	0.1700	0.500	0.3400	0.0008	0.0266	40.55	0.80	47.0	0.008	98	239
78	Y081720	0.5000	0.400	0.8700	0.0009	0.0325	37.10	0.92	75.0	0.010	88	158
79	Y082504	0.4000	16.600	5.6600	0.0045	0.1100	43.40	4.00	19.0	0.006	1200	638
80	Y082703	0.1400	0.065	0.1200	0.0005	0.0155	51.50	0.17	90.0	0.006	34	77
81	Y082805	0.3300	0.200	0.1400	0.0015	0.0172	50.90	0.11	140.0	0.006	49	75
82	Y082806	0.1900	0.135	0.0654	0.0008	0.0187	35.15	0.30	28.0	0.006	13	43
83	Y082807	0.2300	5.000	0.1300	0.0005	0.0114	48.95	0.15	113.0	0.006	24	87
84	Y083101	0.0150	1.000	0.2900	0.0025	0.0214	12.05	0.92	1.8	0.014	16	16
85	Y083102	0.0083	0.360	0.0574	0.0081	0.0330	49.45	0.30	1.5	0.008	35	35
86	Y083103	0.0033	0.080	0.0471	0.0013	0.1200	23.40	1.71	1.9	0.006	16	33
87	Y083104	0.0470	0.140	0.0468	0.0015	0.0296	15.00	0.13	2.2	0.006	36	53
88	Y083105	0.0072	14.300	1.0300	0.0018	0.0211	6.63	1.32	1.2	0.008	11	15
89	Y083106	0.0043	0.570	0.0908	0.0021	0.0402	41.00	0.36	1.1	0.010	23	30
90	Y083107	0.0050	0.590	0.1400	0.0018	0.0381	4.53	0.81	1.0	0.008	9	12
91	Y083108	0.0074	0.150	0.0579	0.0015	0.0251	18.05	0.36	1.0	0.010	15	22
92	Y083109	0.0024	0.100	0.0269	0.0010	0.0317	11.55	0.30	1.1	0.008	25	29
93	Y090101	0.2100	3.000	0.4500	0.0045	0.0784	40.55	1.19	9.1	0.010	26	61
94	Y090102	0.2400	0.890	0.1800	0.0035	0.0640	40.10	0.40	3.8	0.010	19	24
95	Y090103	0.2500	1.400	0.1400	0.0030	0.0602	30.35	0.59	5.9	0.026	12	30
96	Y090104	0.6500	1.780	0.3700	0.0027	0.0302	21.10	0.17	11.0	0.008	19	52
97	Y090401	0.0096	0.070	0.0812	0.0007	0.0158	47.35	0.24	63.0	0.006	62	705
98	Y090402	0.0022	0.062	0.0131	0.0009	0.0116	7.85	0.14	2.8	0.006	41	30
99	Y090403	0.0130	0.102	0.0608	0.0010	0.0220	15.15	0.50	4.7	0.006	29	41
100	Y090605	0.1500	6.330	0.2500	0.0014	0.0376	19.50	0.32	6.8	0.006	44	33
101	Y090701	0.0053	0.410	0.1400	0.0075	0.1500	6.50	3.40	5.6	0.008	12	14
102	Y090702	0.0057	0.150	0.0321	0.0015	0.0194	18.95	0.24	13.0	0.006	8	63
103	Y090703	0.0610	3.000	0.1400	0.0075	0.0287	18.65	0.27	4.6	0.006	12	51
104	Y090704	0.0200	0.630	0.3800	0.0028	0.1200	23.20	2.20	2.1	0.008	14	31
105	A1-1	0.0074	16.000	0.0051	2.9700	0.2000	1.82	1.10	1.9	0.010	5	10

卷末資料3 鉍石化学分析結果一覽表(4/8)

Serial number	Sample numbers	Au ppm	Ag ppm	Cu %	Pb %	Zn %	TFe %	Cd ppm	As ppm	Hg ppm	Ni ppm	Co ppm
106	A1-2	0.0040	0.615	0.0267	0.0500	0.0294	9.60	0.24	17.0	0.006	38	14
107	A1-3	0.0010	0.060	0.0018	0.0050	0.0288	14.30	0.10	4.1	0.006	29	11
108	A1-4	0.0021	0.070	0.0028	0.0030	0.0215	8.01	0.10	1.2	0.006	20	15
109	A1-5	0.0035	0.215	0.0060	0.0065	0.0222	11.20	0.10	1.0	0.008	38	15
110	A1-6	0.0023	0.120	0.0033	0.0050	0.0243	8.36	0.10	1.1	0.006	36	12
111	A1-7	0.0063	0.280	0.0060	0.0086	0.0115	4.55	0.10	5.5	0.010	38	11
112	A1-8	0.0047	0.160	0.0042	0.0050	0.0196	7.73	0.10	3.6	0.010	32	12
113	A1-9	0.0016	0.110	0.0206	0.0035	0.0233	8.88	0.24	1.0	0.008	22	12
114	A1-10	0.0031	0.220	0.0438	0.0040	0.0223	11.05	0.12	1.2	0.010	24	18
115	A1-11	0.0130	0.360	0.0950	0.0020	0.0264	25.85	0.16	1.4	0.014	41	23
116	A1-12	0.0044	0.105	0.0329	0.0025	0.0250	21.70	0.10	1.0	0.010	29	18
117	A1-13	0.0023	0.050	0.0042	0.0010	0.0342	12.70	0.10	1.0	0.008	31	16
118	A1-14	0.0046	0.590	0.0093	0.1200	0.0203	6.25	0.15	1.1	0.010	25	12
119	A1-15	0.0130	0.430	0.1100	0.0200	0.0276	9.20	0.13	1.1	0.006	35	17
120	A1-16	0.0120	0.360	0.0926	0.0025	0.0209	10.55	0.11	1.2	0.006	27	21
121	A1-17	0.0081	0.805	0.0863	0.0019	0.0099	3.59	0.30	1.3	0.006	15	12
122	A1-18	0.0068	1.500	0.0817	0.0015	0.0359	7.25	0.55	1.2	0.006	17	15
123	A1-19	0.0034	0.067	0.0405	0.0024	0.0182	4.67	0.42	1.3	0.006	10	10
124	A1-20	0.0056	0.070	0.0361	0.0014	0.0066	2.45	0.28	3.3	0.010	10	9
125	A1-21	0.0031	0.072	0.0354	0.0025	0.0070	2.95	0.29	2.8	0.010	11	11
126	A1-22	0.0012	0.870	0.0787	0.0013	0.0161	4.00	0.42	2.7	0.012	15	12
127	A1-23	0.0027	0.060	0.0325	0.0021	0.0121	4.66	0.27	1.2	0.010	11	9
128	A1-24	0.0016	0.062	0.0293	0.0012	0.0061	2.19	0.26	1.6	0.010	11	9
129	A1-25	0.0018	0.060	0.0068	0.0014	0.0093	4.89	0.22	2.1	0.008	12	12
130	A1-26	0.0024	0.060	0.0030	0.0018	0.0094	2.49	0.26	2.3	0.012	13	9
131	A1-27	0.0044	0.056	0.0043	0.0015	0.0109	2.82	0.24	1.3	0.010	13	9
132	A1-28	0.0029	0.060	0.0013	0.0015	0.0146	4.82	0.21	1.0	0.010	15	11
133	A1-29	0.0051	0.400	0.0370	0.0021	0.0369	10.65	0.33	1.0	0.008	19	18
134	A1-30	0.0058	1.000	0.0530	0.0023	0.0264	15.10	0.30	1.3	0.008	18	25
135	A1-31	0.0037	0.120	0.0095	0.0030	0.0148	6.03	0.13	1.6	0.008	19	14
136	A1-32	0.0030	0.070	0.0031	0.0020	0.0134	4.46	0.13	1.0	0.012	13	11
137	A1-33	0.0085	0.100	0.0069	0.0025	0.0126	4.31	0.13	1.9	0.008	13	14
138	A1-34	0.0035	0.070	0.0057	0.0023	0.0127	5.36	0.10	1.0	0.008	14	11
139	A1-35	0.0022	0.053	0.0031	0.0015	0.0142	11.25	0.10	1.0	0.008	17	24
140	A1-36	0.0170	0.570	0.0385	0.0018	0.0109	20.55	0.10	1.2	0.006	20	77

卷末資料3 鉍石化学分析結果一覽表(5/8)

Serial number	Sample numbers	Au ppm	Ag ppm	Cu %	Pb %	Zn %	TFe %	Cd ppm	As ppm	Hg ppm	Ni ppm	Co ppm
141	A1-37	0.0039	0.120	0.0136	0.0060	0.0114	14.60	0.10	1.0	0.006	22	29
142	A1-38	0.0033	0.081	0.0082	0.0011	0.0192	13.00	0.10	1.9	0.008	40	49
143	A1-39	0.0016	0.053	0.0059	0.0009	0.0140	14.35	0.10	1.1	0.010	46	31
144	A1-40	0.0044	0.145	0.0314	0.0010	0.0159	14.75	0.10	1.1	0.010	45	49
145	A1-41	0.0130	0.215	0.0587	0.0008	0.0200	15.35	0.10	1.1	0.010	42	45
146	A1-42	0.0055	0.120	0.0468	0.0005	0.0180	15.50	0.10	1.0	0.008	49	48
147	A1-43	0.0030	0.051	0.0090	0.0008	0.0271	16.45	0.10	1.2	0.010	55	32
148	A1-44	0.0013	0.050	0.0039	0.0010	0.0232	9.29	0.10	1.0	0.010	31	24
149	A1-45	0.0014	0.050	0.0024	0.0021	0.0165	6.77	0.10	1.0	0.010	27	24
150	A1-46	0.0060	0.240	0.0434	0.0014	0.0117	9.57	0.10	1.1	0.010	23	20
151	A1-47	0.0030	0.180	0.0186	0.0020	0.0120	12.65	0.23	1.0	0.008	26	18
152	A1-48	0.0035	0.610	0.0530	0.0023	0.0134	11.95	0.26	1.1	0.006	28	20
153	A1-49	0.0027	0.380	0.0299	0.0028	0.0159	10.35	0.18	1.2	0.008	26	16
154	A1-50	0.0010	0.062	0.0027	0.0026	0.0154	9.25	0.16	1.0	0.008	31	16
155	A1-51	0.0010	0.057	0.0013	0.0030	0.0229	9.18	0.10	1.0	0.010	30	18
156	A1-52	0.0010	0.059	0.0005	0.0018	0.0121	7.79	0.19	1.1	0.010	26	16
157	A1-53	0.0010	0.072	0.0027	0.0025	0.0352	8.90	0.16	1.0	0.010	31	23
158	A1-54	0.0010	0.070	0.0038	0.0025	0.0151	8.90	0.13	1.0	0.010	24	20
159	A1-55	0.0010	0.081	0.0084	0.0018	0.0172	9.67	0.12	1.1	0.008	29	19
160	A1-56	0.0010	0.060	0.0041	0.0020	0.0097	7.34	0.18	1.1	0.008	21	14
161	A1-57	0.0013	0.079	0.0083	0.0023	0.0117	8.04	0.20	1.0	0.010	27	16
162	A1-58	0.0010	0.079	0.0063	0.0018	0.0154	9.21	0.18	1.1	0.008	32	19
163	A1-59	0.0023	0.057	0.0031	0.0021	0.0143	9.40	0.12	1.2	0.010	36	18
164	A1-60	0.0010	0.060	0.0025	0.0023	0.0148	11.25	0.10	1.0	0.010	34	20
165	A1-61	0.0010	0.060	0.0010	0.0025	0.0119	9.37	0.16	1.0	0.010	31	16
166	A1-62	0.0075	0.113	0.0187	0.0026	0.0129	7.92	0.18	1.1	0.010	24	17
167	A1-63	0.0020	0.064	0.0043	0.0028	0.0143	9.61	0.17	1.0	0.012	29	19
168	A1-64	0.0013	0.060	0.0005	0.0028	0.0115	7.92	0.17	1.0	0.008	29	17
169	A1-65	0.0025	0.062	0.0077	0.0010	0.0119	7.74	0.10	1.0	0.010	30	19
170	A1-66	0.0016	0.053	0.0041	0.0010	0.0110	12.45	0.10	1.1	0.010	35	26
171	A1-67	0.0043	0.350	0.0329	0.0150	0.0127	10.40	0.10	1.0	0.010	31	19
172	A1-68	0.0018	0.057	0.0034	0.0012	0.0065	6.08	0.10	1.0	0.018	23	15
173	A1-69	0.0032	0.053	0.0148	0.0006	0.0120	8.97	0.22	1.1	0.014	37	18
174	A1-70	0.0030	0.130	0.0348	0.0007	0.0125	9.85	0.10	1.0	0.018	33	17
175	A1-71	0.0036	0.081	0.0139	0.0014	0.0131	10.40	0.10	1.1	0.012	32	20

卷末資料3 鉍石化学分析結果一覽表(6/8)

Serial number	Sample numbers	Au ppm	Ag ppm	Cu %	Pb %	Zn %	TFe %	Cd ppm	As ppm	Hg ppm	Ni ppm	Co ppm
176	A1-72	0.0260	1.100	0.1800	0.0010	0.0120	8.83	0.10	1.0	0.010	27	18
177	A1-73	0.0021	0.080	0.0054	0.0010	0.0135	8.61	0.10	1.0	0.012	39	23
178	A1-74	0.0790	1.300	0.3000	0.0010	0.0136	8.92	0.10	1.0	0.008	35	19
179	A1-75	0.0030	0.063	0.0163	0.0009	0.0148	9.45	0.10	1.9	0.010	29	16
180	A1-76	0.0017	0.050	0.0031	0.0009	0.0134	8.69	0.10	1.0	0.016	35	17
181	A1-77	0.0016	0.050	0.0029	0.0008	0.0134	7.75	0.10	1.0	0.016	34	15
182	A1-78	0.0062	0.165	0.0390	0.0010	0.0144	10.25	0.10	1.1	0.016	28	17
183	A1-79	0.0027	0.057	0.0044	0.0018	0.0058	4.74	0.10	1.0	0.014	17	10
184	A1-80	0.0014	0.060	0.0007	0.0016	0.0040	2.78	0.10	1.0	0.016	15	9
185	A1-81	0.0014	0.050	0.0016	0.0008	0.0107	8.24	0.10	1.1	0.022	28	14
186	A1-82	0.0017	0.050	0.0044	0.0007	0.0113	9.42	0.10	1.2	0.010	33	16
187	A1-83	0.0020	0.050	0.0033	0.0006	0.0084	6.62	0.10	1.0	0.018	19	13
188	A1-84	0.0034	0.235	0.0246	0.0010	0.0108	7.62	0.10	1.1	0.012	22	13
189	A1-85	0.0046	0.230	0.0301	0.0009	0.0115	7.22	0.10	1.0	0.014	18	13
190	A1-86	0.0095	0.215	0.0190	0.0021	0.0074	6.41	0.10	1.2	0.014	23	16
191	A1-81	0.0027	4.300	0.0049	0.1400	0.5700	7.27	4.60	23.0	0.400	32	10
192	A1-88	0.0030	0.160	0.0480	0.0085	0.0361	8.69	0.23	1000.0	0.018	34	19
193	A1-89	0.0010	0.057	0.0082	0.0018	0.0085	3.49	0.10	32.0	0.018	7	19
194	A1-90	0.0030	0.083	0.0313	0.0015	0.0311	8.22	0.10	2.4	0.022	26	16
195	A1-91	0.0026	0.360	0.0077	0.0120	0.0161	4.52	0.10	1.3	0.014	10	15
196	A1-92	0.0048	0.415	0.0168	0.0110	0.0158	7.62	0.10	1.2	0.010	36	16
197	A1-93	0.0061	0.506	0.0071	0.0200	0.0277	6.70	0.25	1.2	0.014	32	16
198	A1-94	0.0059	0.415	0.0121	0.0110	0.0090	5.03	0.37	34.0	0.010	36	11
199	A1-95	0.0059	0.245	0.0027	0.0065	0.0071	3.36	0.10	1.6	0.010	21	8
200	A1-96	0.0036	0.080	0.0036	0.0025	0.0194	11.40	0.10	2.1	0.010	32	22
201	A1-97	0.0028	0.240	0.0038	0.0035	0.0201	11.30	0.10	1.8	0.012	24	48
202	A1-98	0.0019	0.070	0.0178	0.0025	0.0220	27.25	0.10	1.1	0.012	25	25
203	A1-99	0.0021	0.087	0.0279	0.0028	0.0189	26.10	0.10	1.0	0.010	28	21
204	A1-100	0.0035	0.135	0.0193	0.0009	0.0135	14.40	0.10	1.0	0.010	51	22
205	A1-101	0.0010	0.050	0.0030	0.0008	0.0123	14.50	0.10	1.0	0.012	47	19
206	A1-102	0.0010	0.053	0.0073	0.0007	0.0120	13.55	0.10	1.2	0.010	43	20
207	A1-103	0.0017	0.060	0.0066	0.0007	0.0077	12.30	0.10	1.1	0.012	33	34
208	A1-104	0.0033	0.150	0.0052	0.0050	0.0227	11.85	0.10	1.1	0.012	43	15
209	M1-1	0.0010	0.062	0.0018	0.0030	0.0349	6.27	0.28	1.2	0.010	36	23
210	M1-2	0.0010	0.070	0.0013	0.0025	0.0176	4.37	0.10	1.3	0.012	9	14

卷末資料3 鉍石化学分析結果一覽表(7/8)

Serial number	Sample numbers	Au ppm	Ag ppm	Cu %	Pb %	Zn %	TFe %	Cd ppm	As ppm	Hg ppm	Ni ppm	Co ppm
211	M1-3	0.0019	0.590	0.0118	0.0030	0.0530	15.30	0.15	1.1	0.010	63	35
212	M1-4	0.0010	0.360	0.0051	0.0032	0.0415	6.11	0.16	1.1	0.010	17	21
213	M1-5	0.0030	1.400	0.0252	0.0040	0.0511	14.75	0.21	1.9	0.008	54	92
214	M1-6	0.0010	0.365	0.0025	0.0010	0.0223	8.31	0.10	1.1	0.008	11	16
215	M1-7	0.0010	0.240	0.0034	0.0018	0.0179	6.62	0.10	1.0	0.006	11	16
216	M1-8	0.0010	0.091	0.0008	0.0005	0.0060	1.98	0.10	1.0	0.008	5	9
217	M1-9	0.0010	0.085	0.0005	0.0005	0.0062	1.91	0.17	1.0	0.010	6	16
218	M1-10	0.0010	0.080	0.0009	0.0010	0.0199	4.04	0.24	1.1	0.010	31	14
219	M1-11	0.0010	0.080	0.0013	0.0010	0.0243	4.64	0.10	1.1	0.010	37	15
220	M1-12	0.0027	0.140	0.0034	0.0085	0.0350	4.12	0.40	1.3	0.008	55	16
221	M1-13	0.0017	0.076	0.0014	0.0010	0.0215	4.44	0.17	1.0	0.010	18	10
222	M1-14	0.0014	0.102	0.0061	0.0013	0.0133	3.04	0.10	1.0	0.010	8	10
223	M1-15	0.0014	0.132	0.0027	0.0070	0.0244	3.70	0.50	1.1	0.010	44	13
224	M1-16	0.0021	1.700	0.0064	0.0800	0.0280	4.00	0.43	1.2	0.008	35	10
225	M1-17	0.0010	0.385	0.0066	0.0025	0.0140	3.62	0.10	1.4	0.006	10	12
226	M1-18	0.0010	0.360	0.0029	0.0035	0.0943	3.08	1.28	1.1	0.008	11	10
227	M1-19	0.0010	0.230	0.0027	0.0012	0.0194	3.68	0.10	1.0	0.008	13	10
228	M1-20	0.0012	0.245	0.0052	0.0100	0.0611	5.85	0.61	1.1	0.006	67	27
229	M1-21	0.0010	0.120	0.0015	0.0015	0.0169	2.84	0.10	1.0	0.010	12	9
230	M1-22	0.0010	0.100	0.0048	0.0015	0.0178	2.57	0.19	1.0	0.012	18	11
231	M1-23	0.0010	0.060	0.0014	0.0014	0.0190	3.32	0.10	1.1	0.010	14	10
232	M1-24	0.0010	0.060	0.0009	0.0015	0.0067	1.45	0.10	1.2	0.010	8	12
233	M1-25	0.0010	0.081	0.0022	0.0050	0.0192	3.45	0.10	1.2	0.010	37	12
234	M1-26	0.0010	0.245	0.0010	0.0100	0.0371	3.88	0.41	1.1	0.008	73	16
235	M1-27	0.0010	0.104	0.0005	0.0080	0.0332	3.64	0.27	1.0	0.008	58	12
236	M1-28	0.0015	3.700	0.0621	0.0150	0.0321	5.50	0.38	1.2	0.006	63	17
237	M1-29	0.0010	0.340	0.0058	0.0110	0.0389	4.85	0.32	1.0	0.008	93	16
238	M1-30	0.0010	0.590	0.0059	0.0150	0.0628	4.91	1.75	1.1	0.006	84	17
239	M1-31	0.0010	0.120	0.0021	0.0080	0.0400	4.06	0.47	1.1	0.008	69	16
240	M1-32	0.0010	0.165	0.0034	0.0085	0.0410	4.99	0.37	1.0	0.008	66	19
241	M1-33	0.0010	0.240	0.0025	0.0110	0.0413	4.65	0.59	1.1	0.008	69	22
242	M1-34	0.0010	0.140	0.0020	0.0050	0.0204	2.18	0.41	1.0	0.010	17	18
243	M1-35	0.0010	0.140	0.0005	0.0030	0.0131	2.23	0.17	1.0	0.010	6	9
244	M1-36	0.0010	0.150	0.0005	0.0011	0.0089	2.62	0.10	1.0	0.012	5	8
245	M1-37	0.0010	0.116	0.0005	0.0009	0.0100	2.78	0.10	1.1	0.008	5	9

卷末資料3 鉍石化学分析結果一覽表(8/8)

Serial number	Sample numbers	Au ppm	Ag ppm	Cu %	Pb %	Zn %	TFe %	Cd ppm	As ppm	Hg ppm	Ni ppm	Co ppm
246	M1-38	0.0010	0.060	0.0005	0.0005	0.0093	2.73	0.10	1.8	0.008	7	20
247	M1-39	0.0010	0.530	0.0045	0.0125	0.0346	4.83	0.28	1.2	0.008	22	16
248	M1-40	0.0010	0.410	0.0081	0.0075	0.0545	5.28	1.25	1.2	0.010	45	19
249	M1-41	0.0011	0.245	0.0030	0.0040	0.0395	4.33	0.54	1.1	0.008	21	14
250	M1-42	0.0015	0.285	0.0016	0.0016	0.0108	3.29	0.33	1.1	0.008	5	12
251	M1-43	0.0016	0.160	0.0064	0.0013	0.0592	8.78	0.23	1.0	0.006	48	28
252	M1-44	0.0025	0.165	0.0040	0.0017	0.0470	7.83	0.13	1.1	0.006	53	26
253	M1-45	0.0010	0.235	0.0005	0.0007	0.0110	4.92	0.10	1.1	0.006	5	8
254	M1-46	0.0010	0.340	0.0021	0.0026	0.0189	5.98	0.11	3.2	0.006	11	14
255	M1-47	0.0022	0.540	0.0171	0.0050	0.0109	6.25	0.44	1.1	0.006	5	17
256	M1-48	0.0014	0.870	0.0036	0.0080	0.0213	6.05	0.30	1.2	0.006	5	13
257	M1-49	0.0010	0.365	0.0016	0.0500	0.0340	3.10	1.40	1.2	0.006	5	13
258	M1-50	0.0019	0.267	0.0010	0.0150	0.0125	3.22	0.20	1.2	0.008	5	11
259	M1-51	0.0012	0.251	0.0062	0.0087	0.0504	8.20	0.10	1.1	0.008	43	29
260	M1-52	0.0010	0.380	0.0019	0.0100	0.0114	3.65	0.12	1.1	0.006	5	12
261	M1-53	0.0078	11.500	0.1300	0.0180	0.6300	10.95	15.00	1.3	0.006	23	11
262	M1-54	0.0017	2.000	0.0107	0.0070	0.0616	2.94	1.80	6.2	0.006	14	7
263	M1-55	0.0010	4.300	0.0076	0.0250	0.0837	5.39	2.00	2.2	0.008	24	13
264	M1-56	0.0012	5.690	0.0154	0.0800	0.3000	3.28	4.00	1.5	0.008	24	9
265	M1-57	0.0010	0.285	0.0047	0.0100	0.0727	8.57	0.75	1.8	0.006	30	14
266	M1-58	0.0010	0.260	0.0034	0.0030	0.0085	2.21	0.11	1.2	0.006	5	14
267	M1-59	0.0010	0.120	0.0041	0.0060	0.0365	5.65	0.19	3.2	0.010	42	22
268	M1-60	0.0010	0.057	0.0009	0.0065	0.0393	6.15	0.29	2.1	0.010	48	20
269	M1-61	0.0010	0.130	0.0032	0.0100	0.0394	6.30	0.21	2.8	0.010	57	25
270	M1-62	0.0010	0.380	0.0045	0.0070	0.0379	6.64	0.31	1.5	0.012	39	25
271	M1-63	0.0010	0.385	0.0024	0.0087	0.0241	5.12	0.17	1.4	0.012	22	17
272	M1-64	0.0019	2.600	0.0505	0.0300	0.1700	10.25	2.40	1.5	0.012	29	22
273	M1-65	0.0010	0.560	0.0171	0.0081	0.0313	5.29	0.52	1.1	0.010	16	19
274	M1-67	0.0010	0.340	0.0053	0.0076	0.0291	4.94	0.31	1.2	0.008	24	18
275	M1-68	0.0014	0.560	0.0044	0.0100	0.0298	4.50	0.58	2.6	0.006	26	17
276	M1-69	0.0012	0.365	0.0161	0.0100	0.0540	4.52	1.80	1.8	0.006	24	18
277	M1-70	0.0026	0.510	0.0284	0.0105	0.0467	8.14	0.82	2.4	0.010	36	21
278	M1-71	0.0018	0.800	0.0272	0.0018	0.0531	16.95	0.41	1.2	0.010	60	40

卷末資料 4 岩石微量成分分析結果一覽表

卷末資料4 岩石微量成分分析結果一覽表(1/3)

SAMPLE	AREA	Au	Ag	Cu	Pb	Zn	Ni	Co	Cr	Al	As	Ba	Be	Bi	Ca	Cd	Ce	Cs	Fe
		ppb	ppm	ppm	ppm	ppm	ppm	ppm	ppm	%	ppm	ppm	ppm	ppm	%	ppm	ppm	ppm	%
A081601	Itok	1	0.56	2.8	1	14	6.4	1.8	313	1.34	3.2	61	0.15	0.01	0.23	0.02	2.68	0.3	1.13
A081602	Itok	<1	0.42	20.4	2.5	12	10.4	4.1	144	1.34	7.2	75.5	0.25	0.09	0.07	0.02	3.5	0.6	0.91
A082401	Itok	1	0.32	5.2	2	10	9	3.1	15	0.58	15	34	0.2	0.06	>25.0	0.62	11.75	0.2	0.57
A082402	Itok	1	0.48	85.7	4.5	58	18.8	16.6	55	6.63	10.4	115.5	0.4	0.15	3	0.02	9.69	0.4	4.09
A082403	Itok	<1	0.38	194.9	2.5	62	38	32.7	61	9.33	17.4	108.5	0.25	0.01	6.5	0.06	3.05	0.25	4.99
A082404	Itok	<1	0.24	24.2	1.5	34	8.6	4.6	153	1.21	3	71	0.25	0.03	2.3	0.04	7.73	0.25	1.52
A082405	Itok	<1	0.2	37.4	2	14	11	5.4	184	1.18	4	138	0.05	0.11	0.1	0.02	4.88	0.4	0.94
A082501	Kalatonke Mine	1	0.36	10.8	1.5	64	2.4	1.8	78	7.33	3.8	44	0.8	0.04	0.68	0.06	24.8	0.15	2.64
A082502	Kalatonke Mine	<1	0.32	41.8	8	72	5	10.2	37	8.61	14	151	0.85	0.07	0.95	0.08	26.1	0.2	4.73
A082503	Kalatonke Mine	<1	0.32	26.8	9	32	3.8	3	77	6.83	7.4	77	0.65	0.08	0.52	0.24	17.1	0.2	1.85
A082504	Kalatonke Mine	<1	0.3	16.4	2.5	104	6.2	5.4	34	8.59	6.6	299.5	0.9	0.01	1.15	0.1	24.1	0.4	4.15
A082505	Kalatonke Mine	<1	0.32	13.6	3	108	2.8	2.9	62	8.32	5	269	0.75	0.02	1	0.08	29.1	0.25	3.76
A082506	Kalatonke Mine	<1	0.28	7	3.5	98	2.6	4.1	87	7.89	6.8	276.5	1.1	0.01	0.53	0.02	25.8	0.25	4.19
A082507	Kalatonke Mine	<1	0.26	22.4	5	72	18	20.6	58	7.91	18.4	424.5	0.6	0.05	1.2	0.06	17.85	0.5	1.66
A082508	Kalatonke Mine	<1	0.26	14.8	7.5	48	8.2	2	53	7.69	6	86	0.45	0.11	0.33	0.08	32.3	0.15	0.92
A082509	Kalatonke Mine	<1	0.38	28	5.5	78	18	16.5	53	9.8	14	371	0.9	0.05	2.2	0.06	37	1.75	4.24
A082510	Kalatonke Mine	<1	0.28	81.8	2	68	31.4	25.6	62	10.85	11	75.5	0.55	0.01	7.7	0.08	18.8	0.25	6.09
A082511	Kalatonke Mine	<1	0.2	11.2	6	28	4.4	1.6	101	4.81	3.4	81.5	0.4	0.08	0.4	0.08	44.2	0.2	1.26
A082512	Kalatonke Mine	<1	0.34	27.4	4	62	16	9.3	49	9.39	13.4	494.5	1	0.08	0.44	0.04	18.15	2.75	2.93
A082513	Kalatonke Mine	<1	0.32	30.6	7	70	16	9.6	38	9	25.2	374.5	0.95	0.11	0.69	0.08	22.4	0.7	4.05
A082514	Kalatonke Mine	<1	11.85	84.8	12.5	80	19	17.9	38	11.4	27.8	401.5	0.65	0.79	3.3	0.4	18.9	0.2	2.36
A082702	Laosanko	1	1.94	110.3	3.5	76	22.6	27.6	54	6.49	9.2	386.5	0.35	0.32	3.2	0.06	19.55	0.4	6.05
A082703	Laosanko	11	1.32	27.4	8	52	22.8	29.6	48	6	24.6	646.8	0.9	0.12	6.6	0.1	15.4	1.3	7.5
A082704	Laosanko	<1	1.14	21.4	4.5	12	3	4.4	18	7.95	5	486	1.65	0.04	0.68	0.04	19.85	0.9	2.01
A082705	Laosanko	8	0.8	35	4.5	60	11.8	39.5	7	9.1	10.8	718.4	0.4	0.04	4.9	0.1	20.8	0.95	6.77
A082707	Laosanko	9	0.64	30	8	38	12.8	34.5	10	6.71	18.6	330	0.25	0.02	6.4	0.1	23.9	0.75	7.71
A082708	Laosanko	1	0.58	32	3	64	20.8	34.5	23	7.91	6	59.5	0.55	0.03	5.8	0.12	21.9	0.05	6.49
A082709	Laosanko	25	0.52	265	2.5	40	9.4	31.5	9	12.95	6.4	624.6	0.5	0.02	5	0.06	14.85	1.05	5.91
A082710	Laosanko	<1	0.36	20.6	2.5	14	8.2	8	8	3.46	0.8	199.5	0.3	0.04	24	0.02	11.1	0.7	2.3
A082711	Laosanko	<1	1.32	44.6	3.5	14	2.2	1.1	49	6.82	1.6	443	2.35	0.19	0.73	0.08	77.7	0.2	1.43
A082712	Laosanko	<1	1.2	13.6	5	14	2.6	0.6	81	6.25	1.4	181	4.55	0.34	0.58	0.08	42.5	0.6	0.9
A082713	Laosanko	1	0.56	75.6	2.5	80	13.6	29.5	31	6.62	5.6	877.8	0.7	0.03	3.4	0.04	20.8	0.25	7.24
A082714	Laosanko	1	0.5	233	9.5	70	25.8	21.2	43	7.78	11.4	612.1	1.1	0.03	1.85	0.04	32.9	0.6	5.49
A082715	Laosanko	<1	0.36	58.6	9.5	84	132.5	34.7	334	6.42	5.8	380	0.4	0.03	5.8	0.08	12.6	0.4	6.89
A082716	Laosanko	1	0.36	40.4	7	22	5.2	4.2	30	8.37	4.4	700.4	0.6	0.01	1.6	0.06	15.5	0.9	2.21
A082717	Laosanko	<1	0.54	48.4	11.5	80	79	19.9	152	7.11	56.8	879.8	1.15	0.06	4.8	0.06	23.6	3.15	6.12
A082718	Laosanko	6	0.36	19.4	2	54	290	59.7	482	4.75	1.4	224	0.35	0.02	5.7	0.06	8.61	9.95	6.69
Y082704	Laosanko	<1	0.4	86.2	4.5	72	23.6	28.8	52	6.72	13.6	644.9	0.6	0.03	3.6	0.08	34.5	3.5	6.15
Y082705	Laosanko	6	0.86	15.2	11	74	5.8	1.4	47	7.03	79.2	155	1.6	0.14	0.25	0.16	84.9	1.5	1.67
Y082801	Laosanko	3	0.42	88.1	6.5	56	17.4	22	23	14.45	10.8	695.2	0.95	0.06	4	0.06	20.4	0.5	5.28
Y082802	Laosanko	22	0.52	1245	3	74	68.2	32.7	79	3.6	17.8	47	0.25	0.1	2.9	0.08	10.7	0.1	5.14
Y082804	Laosanko	2	0.34	16.2	1.5	50	23.8	11.5	32	2.97	8.8	30.5	0.3	0.03	3.4	<0.02	12.35	0.05	3.83

卷末資料4 岩石微量成分分析結果一覽表(2/3)

SAMPLE	AREA	Ga	Ge	Hf	In	K	La	Li	Mg	Mn	Mo	Na	Nb	P	Rb	Re	S	Sb	Se
		ppm	ppm	ppm	ppm	%	ppm	ppm	%	ppm	ppm	%	ppm	ppm	ppm	ppm	%	ppm	ppm
A081601	Itok	2.45	<0.05	0.3	0.005	0.31	0.5	6	0.25	190	4.9	0.24	0.8	240	7.8	<0.002	<0.01	0.1	<1
A081602	Itok	2.35	<0.05	0.1	0.02	0.51	1.5	4.8	0.08	195	0.95	0.08	0.6	80	16.2	<0.002	0.01	3.25	<1
A082401	Itok	1.2	<0.05	0.3	0.01	0.21	9	2.8	0.88	400	0.8	0.05	0.6	220	3.9	<0.002	0.07	0.95	<1
A082402	Itok	10.45	0.1	3	0.05	0.85	4	7.8	1.44	890	0.6	2.09	6	390	15.8	<0.002	<0.01	0.45	<1
A082403	Itok	10.55	0.15	1.2	0.03	0.71	1.5	9.4	3.31	980	0.6	2.14	6.1	900	10.4	<0.002	<0.01	0.15	<1
A082404	Itok	2.95	0.05	0.3	0.02	0.33	4.5	2.8	0.53	875	0.75	0.06	1.2	130	8.3	<0.002	<0.01	1	<1
A082405	Itok	2.35	0.05	0.1	0.01	0.38	1.5	8.2	0.09	1310	4.15	0.1	0.4	110	7.8	<0.002	<0.01	3.8	<1
A082501	Kalatonke Mine	16.65	0.05	4.3	0.06	0.09	8	9.6	0.36	680	1.1	4.05	5.9	310	2.2	<0.002	<0.01	0.4	<1
A082502	Kalatonke Mine	18.35	0.15	3.1	0.07	0.62	10.5	10.6	1.22	830	2.75	4.3	6.1	1270	6.2	<0.002	<0.01	0.3	<1
A082503	Kalatonke Mine	9.4	0.05	3.1	0.035	0.3	8.5	13.4	0.5	395	1.05	3.33	3.8	380	7.9	<0.002	<0.01	0.3	<1
A082504	Kalatonke Mine	17.3	0.1	2.6	0.09	0.33	10.5	12.8	0.93	1365	0.7	4.06	4.8	1120	4.6	<0.002	0.01	0.25	<1
A082505	Kalatonke Mine	17.85	0.15	2.8	0.085	1.25	12.5	8	0.64	1065	2.05	3.98	5.4	1240	17.7	<0.002	<0.01	0.35	<1
A082506	Kalatonke Mine	20.1	0.15	3	0.07	1.19	10.5	4	0.24	965	2.65	4.5	5	940	16.3	<0.002	<0.01	0.55	<1
A082507	Kalatonke Mine	10.25	0.1	2.1	0.035	1.95	8	12.8	0.41	370	1.45	3.48	4.8	580	27	<0.002	0.01	0.2	<1
A082508	Kalatonke Mine	10.15	0.05	2.8	0.03	0.25	16	3	0.08	145	2.25	5.07	5.3	320	4.3	<0.002	<0.01	0.7	<1
A082509	Kalatonke Mine	16.1	0.2	2.4	0.045	1.84	17.5	29.4	1.36	630	0.95	2.54	9	1110	43.3	<0.002	0.11	0.85	<1
A082510	Kalatonke Mine	17.2	0.2	1.1	0.055	0.4	7.5	13	2.68	1065	1.5	1.75	5.3	800	7	<0.002	<0.01	0.35	<1
A082511	Kalatonke Mine	7.7	0.1	2.2	0.025	0.16	29	9.6	0.35	355	1	2.72	3.2	230	3.7	<0.002	<0.01	0.45	<1
A082512	Kalatonke Mine	16.7	0.15	2.4	0.045	1.6	7	26.8	0.83	305	1.5	3.05	7.5	610	36.1	<0.002	0.01	0.3	<1
A082513	Kalatonke Mine	16.6	0.15	2.7	0.05	1.24	8	23.8	1.02	390	2	3.06	7.4	840	25.2	<0.002	0.04	0.9	<1
A082514	Kalatonke Mine	15	0.25	1.7	0.045	0.35	9	13.6	0.71	1145	1.75	4.72	5.3	850	4.7	<0.002	0.05	0.55	<1
A082702	Laosanko	15.95	0.35	1.5	0.075	1.33	7.5	21	2.48	995	0.35	2.94	5.9	1110	14.2	<0.002	0.03	0.9	<1
A082703	Laosanko	15.9	0.3	1	0.075	1.28	8	15	2.54	1625	1.1	1.72	2.4	1800	40.8	<0.002	0.06	1.25	<1
A082704	Laosanko	17.35	0.2	1.2	0.04	4.49	9.5	5.2	0.19	260	2.95	3.51	4.1	430	121	<0.002	0.01	0.45	<1
A082705	Laosanko	17.1	0.4	0.5	0.055	1.67	10	15.8	2.67	1255	0.5	1.46	2.2	2050	39.5	<0.002	0.04	0.8	<1
A082707	Laosanko	18.05	0.35	0.5	0.06	1.04	11.5	17.2	2.66	1195	0.95	1.24	1.9	2710	31.3	<0.002	0.05	1.35	<1
A082708	Laosanko	18.1	0.3	1.3	0.07	0.12	9.5	17.2	2.22	1060	0.5	1.77	4.2	1740	1.3	<0.002	0.04	0.2	<1
A082709	Laosanko	16.55	0.3	0.5	0.055	1.34	7	13.2	2.54	940	0.7	1.7	2.9	1380	29.4	<0.002	0.04	0.3	<1
A082710	Laosanko	6.3	0.05	0.6	0.025	0.7	6.5	9.2	0.71	370	0.45	0.94	1.5	760	16.5	<0.002	0.18	0.2	<1
A082711	Laosanko	19.7	0.15	8.5	0.105	2.19	38	1.6	0.12	410	1.6	3.72	34.8	100	45.1	<0.002	0.01	0.15	<1
A082712	Laosanko	19.8	0.2	5.5	0.07	2.43	21.5	1.2	0.06	205	3.1	3.04	33.1	40	71.4	<0.002	<0.01	0.1	<1
A082713	Laosanko	16.6	0.35	1.9	0.075	2.17	8.5	12.6	2.58	1250	0.45	3.16	8.3	1380	29.7	<0.002	0.03	0.15	<1
A082714	Laosanko	19.2	0.3	1.8	0.04	2.89	16	10.4	1.61	930	1.35	3.06	6.4	2420	84.5	<0.002	0.01	0.45	<1
A082715	Laosanko	13.25	0.35	0.9	0.055	0.87	6	23.4	4.81	1425	0.4	1.65	2.5	900	15.7	<0.002	0.05	1.55	<1
A082716	Laosanko	14.45	0.15	0.5	0.025	4.66	8	4.8	0.34	365	1.5	3.19	2.7	770	105.5	<0.002	0.01	1.25	<1
A082717	Laosanko	17.6	0.25	1.1	0.025	4.95	12	30.6	2.61	1075	0.75	0.68	8.3	2380	80.7	<0.002	0.04	5.2	<1
A082718	Laosanko	9.4	0.15	0.8	0.04	1.63	4	11.8	7.78	1105	0.3	1.54	3.6	860	67.2	<0.002	0.05	0.3	<1
Y082704	Laosanko	14.6	0.35	1.3	0.055	1.02	16.5	28.4	2.73	1270	0.45	3.04	5.1	1160	24.7	<0.002	0.04	7.8	<1
Y082705	Laosanko	19.4	0.3	6.6	0.065	2.5	45	3.8	0.16	360	1.4	3.37	21.5	60	63.1	<0.002	<0.01	1.85	<1
Y082801	Laosanko	16.95	0.25	1.3	0.055	2.44	10	6.4	2.21	1185	0.7	2.54	5.5	1660	33	<0.002	0.03	0.8	<1
Y082802	Laosanko	9.35	0.05	0.1	0.035	0.2	4.5	6.8	2.47	850	0.7	0.3	0.1	1410	3.9	<0.002	0.01	0.15	<1
Y082804	Laosanko	10	0.05	0.1	0.115	0.22	6	4.2	1.51	755	0.4	0.29	<0.1	1400	4.5	<0.002	<0.01	0.1	<1

卷末資料4 岩石微量成分分析結果一覽表(3/3)

SAMPLE	AREA	Sn	Sr	Ta	Te	Th	Ti	Ti	Ti	U	V	W	Y	Zr	Hg
		ppm	ppm	ppm	ppm	ppm	%	ppm	ppm	ppm	ppm	ppm	ppm	ppm	ppb
A081601	Itek	<0.2	28.6	0.05	0.2	0.2	0.05	0.02	0.4	19	0.4	1.8	4	10	
A081602	Itek	<0.2	26.6	<0.05	0.15	0.2	0.02	0.08	0.1	9	0.5	2	1.5	60	
A082401	Itek	<0.2	1215.0	<0.05	0.2	0.6	0.03	<0.02	1	26	0.4	18.2	4.5	30	
A082402	Itek	0.2	660.0	0.9	0.35	7.8	0.24	0.06	0.4	132	1.7	7.1	39	10	
A082403	Itek	<0.2	333.0	1.55	0.2	2.2	0.18	<0.02	0.2	152	1.4	8	8.5	<10	
A082404	Itek	0.2	31.8	0.05	<0.05	0.2	0.05	<0.02	0.1	16	0.2	3	5.5	10	
A082405	Itek	<0.2	26.4	<0.05	0.1	<0.2	0.03	0.02	0.7	18	0.9	2	2	20	
A082501	Kalatonke Mine	0.6	96.4	0.6	0.15	2.4	0.22	<0.02	0.8	4	1	32.2	114.5	<10	
A082502	Kalatonke Mine	1	138	0.85	0.15	2.8	0.5	0.02	1.9	107	1.1	23.8	79.5	<10	
A082503	Kalatonke Mine	0.6	220	0.4	0.05	2	0.21	<0.02	1.4	40	0.6	17.5	93.5	<10	
A082504	Kalatonke Mine	0.8	432	0.6	0.05	2	0.47	<0.02	1.3	37	0.6	31.7	60.5	10	
A082505	Kalatonke Mine	1	173	0.65	0.05	1.6	0.52	0.04	1.1	18	0.5	35.4	58	10	
A082506	Kalatonke Mine	1	110.5	0.55	0.05	1.6	0.4	0.02	3.5	19	0.6	33	76.5	<10	
A082507	Kalatonke Mine	0.4	280	0.5	0.1	1.8	0.34	0.1	2.1	89	0.8	10.6	59.5	<10	
A082508	Kalatonke Mine	0.4	140.5	0.5	0.05	3.2	0.14	<0.02	3.3	17	0.7	13.1	75.5	<10	
A082509	Kalatonke Mine	0.6	458	1.2	0.1	5	0.43	0.14	1.1	142	1.1	17.6	64.5	10	
A082510	Kalatonke Mine	0.8	575	1	0.05	0.8	0.87	<0.02	0.1	241	0.6	20.4	23.5	<10	
A082511	Kalatonke Mine	0.2	116.5	0.3	<0.05	2	0.11	<0.02	1.9	20	0.6	12.7	60.5	10	
A082512	Kalatonke Mine	0.6	394	0.8	0.15	3.6	0.39	0.12	1.9	108	0.9	11.9	67	<10	
A082513	Kalatonke Mine	0.6	492	0.8	0.05	3	0.42	0.08	3.7	124	0.9	14.1	76.5	10	
A082514	Kalatonke Mine	0.6	492	0.4	0.05	4	0.36	0.02	1.1	90	1.3	7.5	62	<10	
A082702	Laosanko	0.6	335	0.45	<0.05	3	0.42	0.08	0.4	227	0.6	18.5	40	<10	
A082703	Laosanko	0.6	585	0.25	0.05	1.8	0.37	0.1	0.5	339	1.6	15.7	22.5	<10	
A082704	Laosanko	0.4	120.5	0.4	<0.05	6	0.07	0.18	0.8	38	0.7	5.2	33	<10	
A082705	Laosanko	0.2	518	0.25	<0.05	1.8	0.32	0.12	0.3	353	0.5	13.1	9.5	<10	
A082707	Laosanko	0.4	859	0.2	0.05	0.8	0.38	0.08	0.3	421	0.5	15.9	8	<10	
A082708	Laosanko	0.6	284	0.3	<0.05	1	0.49	<0.02	0.4	285	0.2	16.8	39	<10	
A082709	Laosanko	0.4	467	0.25	<0.05	0.2	0.34	0.1	0.1	263	0.1	11.6	8	<10	
A082710	Laosanko	0.8	337	0.05	0.05	0.4	0.18	<0.02	0.1	69	0.3	7	16	<10	
A082711	Laosanko	2.2	176.5	2.35	<0.05	8.6	0.1	0.12	2.9	9	0.5	44.5	266	<10	
A082712	Laosanko	2.4	61.6	2.7	<0.05	12.8	0.07	0.2	3.1	5	0.3	36.3	111	<10	
A082713	Laosanko	0.6	942	0.85	<0.05	7.6	0.56	0.08	0.6	308	0.5	17.8	56.5	<10	
A082714	Laosanko	0.6	380	0.6	<0.05	4.4	0.41	0.06	1.1	199	0.7	16.8	58	<10	
A082715	Laosanko	0.2	327	0.25	0.05	1.2	0.4	0.06	0.4	263	0.5	14.8	24	<10	
A082716	Laosanko	0.4	253	0.3	<0.05	3	0.09	0.14	0.7	46	0.8	6.6	12.5	<10	
A082717	Laosanko	0.6	906	0.6	<0.05	3	0.37	0.14	1	202	2.1	9.1	46.5	<10	
A082718	Laosanko	0.2	530	0.25	0.05	0.6	0.43	0.34	0.1	217	<0.1	10	25	<10	
Y082704	Laosanko	0.4	399	0.4	<0.05	3	0.4	0.16	1.3	244	<0.1	17.1	46.5	<10	
Y082705	Laosanko	2.2	43.4	1.65	<0.05	9.8	0.06	0.2	3.1	8	1.3	20	221	<10	
Y082801	Laosanko	0.6	716	0.5	0.05	5	0.35	0.1	0.7	172	0.9	11.5	41.5	<10	
Y082802	Laosanko	0.2	250	<0.05	0.05	0.2	0.37	<0.02	0.8	134	0.2	14	2.5	<10	
Y082804	Laosanko	0.2	309	<0.05	0.05	0.2	0.34	<0.02	0.6	134	0.1	13.8	0.5	<10	

卷末資料 5 粉末 X 線回折結果一覽表

卷末資料5 X線回折結果一覽表

Sample no.	Mineral	Quartz	Plagioclase	K-feldspar	Amphibole	Clinopyroxene	Muscovite(Sericite)	Biotite	Phlogopite	Calcite	Epidote	Chlorite	Garnet	Fluorite	Galena	Cerussite	Sphene	Magnetite	Hematite	Locality		Rock description
																				District	Locality	
1	A071902	◎			◎					◎	·	△	△							Altay	Hongling	grn-gry. fng. band-ep-sk.
2	A072601	◎	◎					○												Maiz	B-7	wht. mdg. qp?
3	A073103		◎		◎		○	◎				△	·					·		Maiz	B-7	blk. csg. ho-dol.
4	A080502	◎		·										◎	△	△				Maiz	B-7	cp-gal-fl-ba-qt-cal-v
5	A080602	◎	◎	○			○	◎		△										Maiz	B-7	d-gry. fng. m-ss.
6	A080802	·		○	△	◎		△					·							Maiz	88-15	grn. mdg. bio-epi-gar-m-sk. (Keketal depst)
7	A080807	◎	◎	◎				·										·		Maiz	88-15	l-gry. csg. qp.
8	A081402											◎						◎		Kalatonke	Laosanko	Cu-mag-pyr-py-ore.
9	A082510		◎		△	△	△				△	◎					△			Kalatonke	Minig Area	l-grn. vcs. qt-dio-por.
10	A082801	◎	◎		○			◎									△	·		Kalatonke	Fuyun NE	d-gry. csg-mdg. pl-qt-ho-sil?-amphibolite?
11	Y080602	◎	·	◎			○													Maiz	B-7	why. fng.-mdg. mus. rhy.
12	Y080603	◎	△	◎			○	◎		△										Maiz	B-7	d-gry. fng. mus. bio. ss.
13	Y080605		◎		◎															Maiz	B-7	d-grm. mus. bio. sch.
14	Y080607	○					·			◎										Maiz	B-7	gry. mdg.-csg. mus. ss.-ls.
15	Y080702	◎	◎		◎		△					·								Maiz	88-15	why. qp.
16	Y080704	◎	△	◎			△	◎												Maiz	88-15	blk.-gry. fng. mus. bio. gar. m-ss.
17	Y080805	○																·	◎	Maiz	88-15	blk. spec. mag.-v.
18	Y090301	◎	◎																	Altay	Hongling	wht. csg.py. sil-m-ss.
19	Y090601	◎		◎																Altay	Hongling	l-gry. csg. qt. mus. rhy.
20	Y090602	△						△		◎										Altay	Hongling	gry-ls
21	Y090603	◎	·	◎				△										·		Altay	Hongling	l-gry. fng. py. bio. qt. ss.
22	Y090604	◎		△			○		◎											Altay	Hongling	gry. fng. bio. py. mag. sch-m-ss.

Quantity: ◎: Many ○: Moderate △: Few ·: Very few

卷末資料 6 流体包有物均質化温度測定結果一覽表

卷末資料6 流体包有物均質化温度測定結果一覽表

sample No.	District/Bore hole	Host Minerals	Filling temperatures (Th(°C))										number of inclusions	Range °C	Avg. °C		
			Th(°C)	109	112	118	119	109	112	118	119	109				119	
A082701	Kalatonke Laosanko	Garnet	Th(°C)	109	112	118	119							4	109 — 119	115	
A1-87	MJCA A-1 47.60m	quartz	Th(°C)	114	131	134	176	179	188	195	202	203	206	15	114 — 244	189	
A1-58	MJCA A-1 262.50m	quartz	Th(°C)	153	160	163	168	171	172	179	190	191	192	21	153 — 252	194	
A1-72	MJCA A-1 380.50m	quartz	Th(°C)	195	195	200	201	203	204	206	215	230	241				
M1-51	MJCA M-1 280.93m	quartz	Th(°C)	252	285	365	372	378	380	387	390	398	427	11	285 — 429	385	
A072001	Altay Hongling	quartz	Th(°C)	429	151	184	242	251	255	259	260	262	275	12	151 — 358	254	
A073102	Maiz B-7	quartz	Th(°C)	278	358	流体包有物確認出来ず											
A080502	Maiz B-7	Fluorite quartz	Th(°C)	3 μm以下の流体包有物少数有り, 測定不可能													
A081502	Kalatonke Acsai	quartz	Th(°C)	流体包有物確認出来ず													
A090701	Altay Ulasko	quartz	Th(°C)	3 μm以下の流体包有物少数有り, 測定不可能													
			Th(°C)	流体包有物確認出来ず													

卷末資料 7 放射年代測定 (Rb-Sr法) 結果一覽表

卷末資料7 放射年代測定(Rb-Sr)結果一覽表

Sample no.	Locality		Rock description	Analyzed material	Analysis data					Age(Ma)	87Sr/86Sr initial ratio
	District	Locality			Rb ppm	Sr ppm	87Rb/86Sr	87Sr/86Sr	87Sr/86Sr		
1	A082510	Kalatonke	Kalatonke Mine	Porphyrific augite-dolerite		9.950	544	0.0529	0.70561±0.00037	278	0.70486
						29.300	637	0.1331	0.70523±0.00024		
						2.870	435	0.0191	0.70456±0.00020		

卷末資料 8 IP探査測定値一覧表

A-SP(m) 100 x-start 50
 N1-z(m) -100
 N2-z(m) -150
 N3-z(m) -200
 N4-z(m) -250

IP data of line H-1

Tx(A)	Tx(B)	x(m)	z(m)	Vp(mV)	Current(A)	M(%)	ρ (ohm-m)	N	Elevation(m)	Z-Depth(m)
30	29	2850	-100	1103	2.1	5.9	990	1	1363	1263
30	29	2800	-150	98	2.1	3.8	353	2	1367	1217
30	29	2750	-200	114	2.1	6.6	1020	3	1368	1168
30	29	2700	-250	48	2.1	10.2	870	4	1371	1121
29	28	2750	-100	219	2.0	5.4	211	1	1368	1268
29	28	2700	-150	183	2.0	9.8	707	2	1371	1221
29	28	2650	-200	72	2.0	12.9	697	3	1376	1176
29	28	2600	-250	63	2.0	14.2	1215	4	1388	1138
28	27	2650	-100	929	2.7	8.9	661	1	1376	1276
28	27	2600	-150	284	2.7	14.1	809	2	1388	1238
28	27	2550	-200	217	2.7	14.8	1547	3	1392	1192
28	27	2500	-250	13	2.7	11.2	182	4	1393	1143
27	26	2550	-100	966	3.5	12.3	520	1	1392	1292
27	26	2500	-150	633	3.5	14.8	1364	2	1393	1243
27	26	2450	-200	28	3.5	10.9	153	3	1394	1194
27	26	2400	-250	18	3.5	10.8	196	4	1394	1144
26	25	2450	-100	2621	2.5	9.6	1976	1	1394	1294
26	25	2400	-150	78	2.5	8.0	235	2	1394	1244
26	25	2350	-200	46	2.5	7.2	344	3	1394	1194
26	25	2300	-250	36	2.5	7.2	536	4	1393	1143
25	24	2350	-100	79	2.6	5.5	58	1	1394	1294
25	24	2300	-150	38	2.6	6.7	110	2	1393	1243
25	24	2250	-200	24	2.6	4.9	177	3	1393	1193
25	24	2200	-250	25	2.6	7.3	355	4	1401	1151
24	23	2250	-100	192	2.3	4.3	157	1	1393	1293
24	23	2200	-150	77	2.3	4.6	251	2	1401	1251
24	23	2150	-200	62	2.3	6.2	510	3	1409	1209
24	23	2100	-250	34	2.3	14.6	551	4	1404	1154
23	22	2150	-100	125	1.2	4.2	197	1	1409	1309
23	22	2100	-150	50	1.2	5.9	311	2	1404	1254
23	22	2050	-200	20	1.2	14.1	319	3	1393	1193
23	22	2000	-250	5	1.2	28.9	154	4	1386	1136
22	21	2050	-100	146	1.4	4.6	196	1	1393	1293
22	21	2000	-150	51	1.4	14.7	274	2	1386	1236
22	21	1950	-200	11	1.4	26.4	144	3	1394	1194
22	21	1900	-250	6	1.4	23.8	164	4	1408	1158
21	20	1950	-100	1065	3.0	15.2	669	1	1394	1294
21	20	1900	-150	120	3.0	31.6	302	2	1408	1258
21	20	1850	-200	52	3.0	31.9	329	3	1399	1199
21	20	1800	-250	38	3.0	23.1	477	4	1381	1131
20	19	1850	-100	359	2.5	34.8	271	1	1399	1299
20	19	1800	-150	105	2.5	38.1	316	2	1381	1231
20	19	1750	-200	66	2.5	28.3	496	3	1395	1195
20	19	1700	-250	56	2.5	29.5	847	4	1424	1174
19	18	1750	-100	290	1.8	43.1	303.6	1	1395	1295
19	18	1700	-150	117	1.8	36.7	489.8	2	1424	1274
19	18	1650	-200	79	1.8	36.9	832.4	3	1456	1256
19	18	1600	-250	33	1.8	37.0	701.1	4	1453	1203
18	17	1650	-100	849	1.8	19.5	889.2	1	1456	1356
18	17	1600	-150	328	1.8	23.0	1374.0	2	1453	1303
18	17	1550	-200	102	1.8	24.2	1068.0	3	1446	1246
18	17	1500	-250	84	1.8	25.0	1758.0	4	1445	1195
17	16	1550	-100	989	1.6	19.2	1165.0	1	1446	1346
17	16	1500	-150	211	1.6	22.0	992.5	2	1445	1295
17	16	1450	-200	156	1.6	22.1	1837.0	3	1427	1227
17	16	1400	-250	90	1.6	26.6	2126.0	4	1398	1148
16	15	1450	-100	407	0.8	16.6	1022.0	1	1427	1327
16	15	1400	-150	212	0.8	16.1	2133.0	2	1398	1248
16	15	1350	-200	113	0.8	18.8	2840.0	3	1381	1181
16	15	1300	-250	35	0.8	21.7	1770.0	4	1358	1108
15	14	1350	-100	935	0.6	13.7	2938.0	1	1381	1281
15	14	1300	-150	359	0.6	18.0	4505.0	2	1358	1208
15	14	1250	-200	93	0.6	22.0	2933.0	3	1332	1132
15	14	1200	-250	42	0.6	25.1	2627.0	4	1332	1082
14	13	1250	-100	1779	0.9	9.7	3899.0	1	1332	1232
14	13	1200	-150	310	0.9	14.7	2721.0	2	1332	1182
14	13	1150	-200	126	0.9	17.8	2768.0	3	1337	1137
14	13	1100	-250	27	0.9	23.2	1166.0	4	1332	1082
13	12	1150	-100	1017	0.7	14.6	2905.0	1	1337	1237
13	12	1100	-150	341	0.7	17.6	3892.0	2	1332	1182
13	12	1050	-200	59	0.7	23.4	1675.0	3	1314	1114
13	12	1000	-250	14	0.7	19.7	804.3	4	1287	1037

12	11	1050	-100	1381	0.7	11.9	3944.0	1	1314	1214
12	11	1000	-150	132	0.7	22.9	1505.0	2	1287	1137
12	11	950	-200	23	0.7	19.5	647.9	3	1262	1062
12	11	900	-250	22	0.7	23.2	1240.0	4	1241	991
11	10	950	-100	530	0.8	20.6	1248.0	1	1262	1162
11	10	900	-150	49	0.8	23.1	459.2	2	1241	1091
11	10	850	-200	43	0.8	21.8	1004.0	3	1220	1020
11	10	800	-250	21	0.8	21.1	997.4	4	1200	950
10	9	850	-100	149	0.9	27.2	312.3	1	1220	1120
10	9	800	-150	100	0.9	29.4	841.3	2	1200	1050
10	9	750	-200	46	0.9	27.0	973.0	3	1183	983
10	9	700	-250	22	0.9	25.4	916.8	4	1186	936
9	8	750	-100	1952	1.4	14.4	2629.0	1	1183	1083
9	8	700	-150	727	1.4	15.0	3913.0	2	1186	1036
9	8	650	-200	306	1.4	15.5	4118.0	3	1205	1005
9	8	600	-250	214	1.4	19.2	5757.0	4	1228	978
8	7	650	-100	3531	2.7	6.8	2465.0	1	1205	1105
8	7	600	-150	911	2.7	7.2	2545.0	2	1228	1078
8	7	550	-200	603	2.7	11.2	4212.0	3	1253	1053
8	7	500	-250	74	2.7	7.0	1027.0	4	1259	1009
7	6	550	-100	1921	1.4	8.2	2586.0	1	1253	1153
7	6	500	-150	886	1.4	12.2	4774.0	2	1259	1109
7	6	450	-200	113	1.4	8.0	1516.0	3	1238	1038
7	6	400	-250	90	1.4	12.4	2429.0	4	1205	955
6	5	450	-100	1304	0.7	11.6	3511.0	1	1238	1138
6	5	400	-150	77	0.7	7.8	830.7	2	1205	1055
6	5	350	-200	67	0.7	12.1	1792.0	3	1183	983
6	5	300	-250	21	0.7	20.5	1147.0	4	1188	938
5	4	350	-100	105	0.5	8.0	395.8	1	1183	1083
5	4	300	-150	67	0.5	12.6	1010.0	2	1188	1038
5	4	250	-200	20	0.5	21.1	749.4	3	1204	1004
4	3	250	-100	324	1.0	12.0	611.3	1	1204	1104
4	3	200	-150	72	1.0	21.3	544.0	2	1199	1049
3	2	150	-100	714	2.8	16.9	480.4	1	1187	1087

A-SP(m) 100 x-start 50
 N1-z(m) -100
 N2-z(m) -150
 N3-z(m) -200
 N4-z(m) -250

IP data of line H-2

Tx(A)	Tx(B)	x(m)	z(m)	Vp(mV)	Current(A)	M(%)	ρ (ohm-m)	N	Elevation(m)	Z-Depth(m)
30	29	2850	-100	986	2.0	4.9	930	1	1369	1269
30	29	2800	-150	218	2.0	5.6	823	2	1368	1218
30	29	2750	-200	100	2.0	8.1	943	3	1372	1172
30	29	2700	-250	50	2.0	14.1	951	4	1388	1138
29	28	2750	-100	876	1.8	7.7	917	1	1372	1272
29	28	2700	-150	236	1.8	9.7	990	2	1388	1238
29	28	2650	-200	100	1.8	16.1	1051	3	1393	1193
29	28	2600	-250	66	1.8	11.4	1387	4	1401	1151
28	27	2650	-100	738	2.0	9.6	696	1	1393	1293
28	27	2600	-150	204	2.0	16.3	770	2	1401	1251
28	27	2550	-200	121	2.0	12.4	1137	3	1415	1215
28	27	2500	-250	10	2.0	9.1	183	4	1406	1156
27	26	2550	-100	965	3.5	12.9	520	1	1415	1315
27	26	2500	-150	430	3.5	11.9	927	2	1406	1256
27	26	2450	-200	27	3.5	8.7	144	3	1399	1199
27	26	2400	-250	29	3.5	10.0	314	4	1403	1153
26	25	2450	-100	1407	2.9	14.7	914	1	1399	1299
26	25	2400	-150	56	2.9	12.3	145	2	1403	1253
26	25	2350	-200	53	2.9	13.4	347	3	1408	1208
26	25	2300	-250	36	2.9	15.1	463	4	1412	1162
25	24	2350	-100	74	2.9	10.3	48	1	1408	1308
25	24	2300	-150	58	2.9	12.6	150	2	1412	1262
25	24	2250	-200	36	2.9	15.0	233	3	1419	1219
25	24	2200	-250	35	2.9	17.8	457	4	1421	1171
24	23	2250	-100	537	4.5	1.9	225	1	1419	1319
24	23	2200	-150	199	4.5	4.4	334	2	1421	1271
24	23	2150	-200	145	4.5	7.7	607	3	1428	1228
24	23	2100	-250	61	4.5	12.4	513	4	1439	1189
23	22	2150	-100	532	4.5	5.6	223	1	1428	1328
23	22	2100	-150	211	4.5	8.0	353	2	1439	1289
23	22	2050	-200	63	4.5	15.7	262	3	1452	1252
23	22	2000	-250	19	4.5	30.1	161	4	1476	1226
22	21	2050	-100	745	2.6	6.9	540	1	1452	1352
22	21	2000	-150	212	2.6	12.3	615	2	1476	1326
22	21	1950	-200	44	2.6	30.4	322	3	1496	1296
22	21	1900	-250	16	2.6	28.7	235	4	1489	1239
21	20	1950	-100	768	2.9	11.9	500	1	1496	1396
21	20	1900	-150	110	2.9	32.5	286	2	1489	1339
21	20	1850	-200	33	2.9	33.4	212	3	1490	1290
21	20	1800	-250	30	2.9	24.2	387	4	1504	1254
20	19	1850	-100	393	2.0	32.1	370	1	1490	1390
20	19	1800	-150	74	2.0	38.9	280	2	1504	1354
20	19	1750	-200	55	2.0	28.5	518	3	1522	1322
20	19	1700	-250	53	2.0	28.9	996	4	1539	1289
19	18	1750	-100	220	3.0	46.2	138.0	1	1522	1422
19	18	1700	-150	101	3.0	36.1	253.6	2	1539	1389
19	18	1650	-200	74	3.0	34.7	462.2	3	1524	1324
19	18	1600	-250	47	3.0	34.2	591.9	4	1495	1245
18	17	1650	-100	1361	2.7	15.4	950.3	1	1524	1424
18	17	1600	-150	405	2.7	25.0	1130.0	2	1495	1345
18	17	1550	-200	197	2.7	26.1	1372.0	3	1458	1258
18	17	1500	-250	42	2.7	38.5	592.0	4	1416	1166
17	16	1550	-100	552	1.3	24.6	799.9	1	1458	1358
17	16	1500	-150	191	1.3	22.3	1107.0	2	1416	1266
17	16	1450	-200	36	1.3	32.4	517.0	3	1386	1186
17	16	1400	-250	16	1.3	28.0	476.6	4	1386	1136
16	15	1450	-100	518	1.1	21.1	886.9	1	1386	1286
16	15	1400	-150	80	1.1	30.3	548.6	2	1386	1236
16	15	1350	-200	43	1.1	26.1	739.9	3	1392	1192
16	15	1300	-250	9	1.1	27.4	324.2	4	1393	1143
15	14	1350	-100	801	1.5	28.4	1007.0	1	1392	1292
15	14	1300	-150	211	1.5	25.9	1061.0	2	1393	1243
15	14	1250	-200	47	1.5	26.0	593.5	3	1393	1193
15	14	1200	-250	32	1.5	28.9	803.4	4	1389	1139
14	13	1250	-100	1805	1.7	23.4	2001.0	1	1393	1293
14	13	1200	-150	141	1.7	22.4	623.9	2	1389	1239
14	13	1150	-200	60	1.7	23.4	668.4	3	1382	1182
14	13	1100	-250	18	1.7	22.2	398.2	4	1375	1125
13	12	1150	-100	345	0.9	24.1	723.2	1	1382	1282
13	12	1100	-150	123	0.9	27.4	1028.0	2	1375	1225
13	12	1050	-200	28	0.9	30.2	580.1	3	1364	1164
13	12	1000	-250	16	0.9	29.4	675.2	4	1348	1098

12	11	1050	-100	779	0.7	23.5	2097.0	1	1364	1264
12	11	1000	-150	98	0.7	25.7	1052.0	2	1348	1198
12	11	950	-200	43	0.7	23.9	1166.0	3	1325	1125
12	11	900	-250	22	0.7	19.0	1173.0	4	1303	1053
11	10	950	-100	310	0.8	34.2	729.3	1	1325	1225
11	10	900	-150	94	0.8	33.2	881.3	2	1303	1153
11	10	850	-200	39	0.8	28.0	921.4	3	1280	1080
11	10	800	-250	17	0.8	25.4	794.9	4	1257	1007
10	9	850	-100	1361	0.9	19.2	2851.0	1	1280	1180
10	9	800	-150	359	0.9	17.7	3005.0	2	1257	1107
10	9	750	-200	126	0.9	16.2	2649.0	3	1234	1034
10	9	700	-250	89	0.9	19.5	3747.0	4	1216	966
9	8	750	-100	2348	1.0	8.3	4426.0	1	1234	1134
9	8	700	-150	539	1.0	7.5	4064.0	2	1216	1066
9	8	650	-200	319	1.0	10.4	6006.0	3	1216	1016
9	8	600	-250	36	1.0	10.2	1347.0	4	1219	969
8	7	650	-100	2045	1.0	9.9	3856.0	1	1216	1116
8	7	600	-150	769	1.0	13.3	5796.0	2	1219	1069
8	7	550	-200	68	1.0	13.1	1280.0	3	1216	1016
8	7	500	-250	62	1.0	14.2	2321.0	4	1209	959
7	6	550	-100	2917	1.2	8.6	4581.0	1	1216	1116
7	6	500	-150	144	1.2	9.3	906.3	2	1209	1059
7	6	450	-200	105	1.2	11.5	1650.0	3	1201	1001
7	6	400	-250	59	1.2	18.4	1864.0	4	1178	928
6	5	450	-100	247	1.0	8.7	464.7	1	1201	1101
6	5	400	-150	117	1.0	10.4	885.3	2	1178	1028
6	5	350	-200	60	1.0	18.6	1140.0	3	1158	958
6	5	300	-250	24	1.0	27.5	892.4	4	1142	892
5	4	350	-100	350	0.9	11.7	734.0	1	1158	1058
5	4	300	-150	142	0.9	20.8	1188.0	2	1142	992
5	4	250	-200	47	0.9	31.2	990.6	3	1138	938
4	3	250	-100	398	1.9	11.1	394.5	1	1138	1038
4	3	200	-150	85	1.9	28.3	335.9	2	1141	991
3	2	150	-100	895	3.5	22.8	481.8	1	1141	1041

A-SP(m) 100 x-start 50
 N1-z(m) -100
 N2-z(m) -150
 N3-z(m) -200
 N4-z(m) -250

IP data of line H-3

Tx(A)	Tx(B)	x(m)	z(m)	Vp(mV)	Current(A)	M(%)	ρ (ohm-m)	N	Elevation(m)	Z-Depth(m)
30	29	2850	-100	1135	2.0	7.7	1070	1	1351	1251
30	29	2800	-150	173	2.0	5.6	654	2	1341	1191
30	29	2750	-200	116	2.0	9.9	1094	3	1335	1135
30	29	2700	-250	81	2.0	11.5	1523	4	1330	1080
29	28	2750	-100	1288	3.6	4.4	674	1	1335	1235
29	28	2700	-150	589	3.6	8.2	1234	2	1330	1180
29	28	2650	-200	348	3.6	9.6	1821	3	1334	1134
29	28	2600	-250	80	3.6	14.6	840	4	1328	1078
28	27	2650	-100	4155	4.0	11.0	1958	1	1334	1234
28	27	2600	-150	1649	4.0	14.1	3109	2	1328	1178
28	27	2550	-200	304	4.0	19.9	1430	3	1315	1115
28	27	2500	-250	49	4.0	14.7	461	4	1299	1049
27	26	2550	-100	2964	3.4	14.2	1643	1	1315	1215
27	26	2500	-150	357	3.4	22.6	792	2	1299	1149
27	26	2450	-200	42	3.4	15.4	234	3	1309	1109
27	26	2400	-250	23	3.4	14.3	259	4	1332	1082
26	25	2450	-100	1098	1.4	29.6	1478	1	1309	1209
26	25	2400	-150	72	1.4	22.0	387	2	1332	1182
26	25	2350	-200	26	1.4	20.1	345	3	1353	1153
26	25	2300	-250	19	1.4	21.6	523	4	1354	1104
25	24	2350	-100	193	0.9	16.5	405	1	1353	1253
25	24	2300	-150	46	0.9	15.7	389	2	1354	1204
25	24	2250	-200	24	0.9	18.8	493	3	1348	1148
25	24	2200	-250	13	0.9	19.1	531	4	1326	1076
24	23	2250	-100	228	1.5	3.9	286	1	1348	1248
24	23	2200	-150	73	1.5	8.7	365	2	1326	1176
24	23	2150	-200	31	1.5	10.7	387	3	1321	1121
24	23	2100	-250	12	1.5	20.8	297	4	1327	1077
23	22	2150	-100	521	1.8	8.7	546	1	1321	1221
23	22	2100	-150	146	1.8	10.8	611	2	1327	1177
23	22	2050	-200	43	1.8	20.5	450	3	1317	1117
23	22	2000	-250	9	1.8	32.8	192	4	1313	1063
22	21	2050	-100	342	1.3	8.8	496	1	1317	1217
22	21	2000	-150	67	1.3	19.4	390	2	1313	1163
22	21	1950	-200	11	1.3	35.2	155	3	1333	1133
22	21	1900	-250	7	1.3	22.9	194	4	1356	1106
21	20	1950	-100	1077	2.6	17.8	781	1	1333	1233
21	20	1900	-150	91	2.6	41.2	263	2	1356	1206
21	20	1850	-200	38	2.6	26.4	274	3	1394	1194
21	20	1800	-250	23	2.6	25.1	328	4	1407	1157
20	19	1850	-100	263	2.9	43.5	171	1	1394	1294
20	19	1800	-150	56	2.9	32.6	146	2	1407	1257
20	19	1750	-200	30	2.9	27.9	198	3	1418	1218
20	19	1700	-250	48	2.9	27.3	622	4	1436	1186
19	18	1750	-100	448	3.4	44.5	248.5	1	1418	1318
19	18	1700	-150	143	3.4	40.7	317.6	2	1436	1286
19	18	1650	-200	164	3.4	39.1	908.4	3	1458	1258
19	18	1600	-250	83	3.4	41.9	925.0	4	1475	1225
18	17	1650	-100	1148	3.0	11.7	721.1	1	1458	1358
18	17	1600	-150	707	3.0	19.9	1776.0	2	1475	1325
18	17	1550	-200	276	3.0	26.5	1735.0	3	1483	1283
18	17	1500	-250	122	3.0	32.3	1527.0	4	1487	1237
17	16	1550	-100	1117	1.5	16.5	1404.0	1	1483	1383
17	16	1500	-150	288	1.5	25.2	1448.0	2	1487	1337
17	16	1450	-200	112	1.5	29.8	1412.0	3	1481	1281
17	16	1400	-250	15	1.5	26.3	376.7	4	1483	1233
16	15	1450	-100	342	1.3	23.7	496.0	1	1481	1381
16	15	1400	-150	102	1.3	28.3	591.1	2	1483	1333
16	15	1350	-200	12	1.3	31.8	171.9	3	1487	1287
16	15	1300	-250	3	1.3	27.2	84.2	4	1475	1225
15	14	1350	-100	760	1.6	26.3	895.4	1	1487	1387
15	14	1300	-150	54	1.6	22.5	253.4	2	1475	1325
15	14	1250	-200	12	1.6	23.8	146.3	3	1449	1249
15	14	1200	-250	16	1.6	27.5	379.0	4	1412	1162
14	13	1250	-100	94	1.2	20.0	147.6	1	1449	1349
14	13	1200	-150	18	1.2	21.4	113.9	2	1412	1262
14	13	1150	-200	22	1.2	26.0	340.7	3	1399	1199
14	13	1100	-250	11	1.2	23.0	345.5	4	1413	1163
13	12	1150	-100	155	0.9	22.0	324.6	1	1399	1299
13	12	1100	-150	79	0.9	28.9	660.2	2	1413	1263
13	12	1050	-200	25	0.9	20.9	514.5	3	1399	1199
13	12	1000	-250	4	0.9	17.1	161.3	4	1380	1130

12	11	1050	-100	1038	1.0	23.0	1957.0	1	1399	1299
12	11	1000	-150	176	1.0	16.2	1324.0	2	1380	1230
12	11	950	-200	17	1.0	13.6	326.6	3	1370	1170
12	11	900	-250	13	1.0	11.1	497.0	4	1355	1105
11	10	950	-100	571	1.7	17.2	632.7	1	1370	1270
11	10	900	-150	25	1.7	13.2	111.3	2	1355	1205
11	10	850	-200	11	1.7	8.5	121.4	3	1315	1115
11	10	800	-250	12	1.7	6.0	258.1	4	1287	1037
10	9	850	-100	253	1.0	21.0	477.6	1	1315	1215
10	9	800	-150	73	1.0	19.2	550.3	2	1287	1137
10	9	750	-200	67	1.0	19.5	1270.0	3	1278	1078
10	9	700	-250	75	1.0	22.4	2843.0	4	1292	1042
9	8	750	-100	1357	1.3	7.8	1968.0	1	1278	1178
9	8	700	-150	661	1.3	8.6	3832.0	2	1292	1142
9	8	650	-200	604	1.3	10.6	8763.0	3	1313	1113
9	8	600	-250	125	1.3	11.4	3614.0	4	1343	1093
8	7	650	-100	1626	2.4	6.4	1277.0	1	1313	1213
8	7	600	-150	1041	2.4	9.1	3269.0	2	1343	1193
8	7	550	-200	168	2.4	11.3	1323.0	3	1360	1160
8	7	500	-250	83	2.4	15.0	1311.0	4	1334	1084
7	6	550	-100	1480	1.5	8.2	1860.0	1	1360	1260
7	6	500	-150	157	1.5	10.0	788.3	2	1334	1184
7	6	450	-200	70	1.5	14.2	874.9	3	1295	1095
7	6	400	-250	27	1.5	18.6	680.2	4	1256	1006
6	5	450	-100	292	0.8	13.5	688.7	1	1295	1195
6	5	400	-150	96	0.8	18.5	905.0	2	1256	1106
6	5	350	-200	33	0.8	22.7	787.2	3	1233	1033
6	5	300	-250	10	0.8	31.2	487.5	4	1213	963
5	4	350	-100	387	0.9	17.6	811.6	1	1233	1133
5	4	300	-150	96	0.9	23.1	807.5	2	1213	1063
5	4	250	-200	25	0.9	33.6	532.9	3	1201	1001
4	3	250	-100	499	1.5	19.0	626.4	1	1201	1101
4	3	200	-150	74	1.5	32.1	372.0	2	1189	1039
3	2	150	-100	303	1.6	32.3	357.4	1	1192	1092

A-SP(m) 100 x-start 50
 N1-z(m) -100
 N2-z(m) -150
 N3-z(m) -200
 N4-z(m) -250

IP data of line H-4

Tx(A)	Tx(B)	x(m)	z(m)	Vp(mV)	Current(A)	M(%)	ρ (ohm-m)	N	Elevation(m)	Z-Depth(m)
27	28	2850	-100	2422	3.3	11.3	1383	1	1277	1177
26	27	2750	-100	1300	3.5	9.6	701	1	1302	1202
26	27	2800	-150	1184	3.5	5.0	2551	2	1288	1138
25	26	2650	-100	1031	1.9	8.3	1023	1	1306	1206
25	26	2700	-150	250	1.9	5.9	992	2	1315	1165
25	26	2750	-200	368	1.9	11.1	3647	3	1302	1102
24	25	2550	-100	1486	1.6	17.5	1750	1	1278	1178
24	25	2600	-150	261	1.6	15.7	1229	2	1291	1141
24	25	2650	-200	85	1.6	11.1	999	3	1306	1106
24	25	2700	-250	145	1.6	14.8	3409	4	1315	1065
23	24	2450	-100	4335	3.0	28.2	2724	1	1254	1154
23	24	2500	-150	619	3.0	25.4	1557	2	1271	1121
23	24	2550	-200	158	3.0	23.3	993	3	1278	1078
23	24	2600	-250	68	3.0	18.5	849	4	1291	1041
22	23	2350	-100	466	4.4	21.7	200	1	1238	1138
22	23	2400	-150	210	4.4	25.5	359	2	1240	1090
22	23	2450	-200	64	4.4	17.4	273	3	1254	1054
22	23	2500	-250	22	4.4	15.3	189	4	1271	1021
21	22	2250	-100	134	2.9	18.1	87	1	1253	1153
21	22	2300	-150	37	2.9	22.4	97	2	1239	1089
21	22	2350	-200	27	2.9	26.2	174	3	1238	1038
21	22	2400	-250	10	2.9	18.8	135	4	1240	990
20	21	2150	-100	974	3.1	11.9	593	1	1292	1192
20	21	2200	-150	94	3.1	22.3	228	2	1275	1125
20	21	2250	-200	41	3.1	23.6	248	3	1253	1053
20	21	2300	-250	36	3.1	27.1	437	4	1239	989
19	20	2050	-100	656	3.3	9.1	375	1	1304	1204
19	20	2100	-150	280	3.3	14.9	639	2	1296	1146
19	20	2150	-200	48	3.3	21.8	274	3	1292	1092
19	20	2200	-250	24	3.3	22.9	269	4	1275	1025
18	19	1950	-100	837	2.7	11.3	585	1	1334	1234
18	19	2000	-150	150	2.7	14.2	420	2	1315	1165
18	19	2050	-200	99	2.7	20.3	690	3	1304	1104
18	19	2100	-250	23	2.7	25.3	325	4	1296	1046
17	18	1850	-100	256	2.9	41.2	167	1	1392	1292
17	18	1900	-150	81	2.9	36.3	210	2	1362	1212
17	18	1950	-200	23	2.9	32.7	152	3	1334	1134
17	18	2000	-250	20	2.9	35.6	266	4	1315	1065
16	17	1750	-100	503	2.3	36.7	412.3	1	1433	1333
16	17	1800	-150	56	2.3	41.3	184.2	2	1415	1265
16	17	1850	-200	28	2.3	34.2	229.4	3	1392	1192
16	17	1900	-250	10	2.3	29.5	164.6	4	1362	1112
15	16	1650	-100	1507	2.7	17.9	1052.0	1	1441	1341
15	16	1700	-150	246	2.7	35.9	685.8	2	1438	1288
15	16	1750	-200	57	2.7	31.8	396.7	3	1433	1233
15	16	1800	-250	34	2.7	26.1	468.1	4	1415	1165
14	15	1550	-100	1168	3.0	20.2	733.9	1	1429	1329
14	15	1600	-150	491	3.0	22.9	1233.0	2	1437	1287
14	15	1650	-200	121	3.0	36.7	759.3	3	1441	1241
14	15	1700	-250	37	3.0	31.1	465.8	4	1438	1188
13	14	1450	-100	418	2.0	19.8	394.1	1	1406	1306
13	14	1500	-150	173	2.0	27.7	652.9	2	1421	1271
13	14	1550	-200	107	2.0	29.3	1009.0	3	1429	1229
13	14	1600	-250	35	2.0	39.3	651.2	4	1437	1187
12	13	1350	-100	525	1.7	21.2	581.8	1	1368	1268
12	13	1400	-150	100	1.7	25.5	444.6	2	1388	1238
12	13	1450	-200	53	1.7	30.8	589.2	3	1406	1206
12	13	1500	-250	36	1.7	31.6	800.5	4	1421	1171
11	12	1250	-100	65	1.7	26.0	71.8	1	1340	1240
11	12	1300	-150	19	1.7	25.1	82.7	2	1345	1195
11	12	1350	-200	5	1.7	23.9	60.0	3	1368	1168
11	12	1400	-250	3	1.7	33.6	75.6	4	1388	1138
10	11	1150	-100	1399	3.2	7.4	824.4	1	1356	1256
10	11	1200	-150	48	3.2	23.7	113.5	2	1339	1189
10	11	1250	-200	19	3.2	24.3	110.7	3	1340	1140
10	11	1300	-250	6	3.2	19.1	66.8	4	1345	1095
9	10	1050	-100	453	2.2	8.4	388.1	1	1381	1281
9	10	1100	-150	364	2.2	8.1	1248.0	2	1373	1223
9	10	1150	-200	18	2.2	22.1	157.0	3	1356	1156
9	10	1200	-250	9	2.2	21.0	147.9	4	1339	1089
8	9	950	-100	347	2.5	4.0	261.8	1	1351	1251
8	9	1000	-150	268	2.5	9.0	809.3	2	1372	1222
8	9	1050	-200	429	2.5	11.1	3234.0	3	1381	1181
8	9	1100	-250	26	2.5	23.3	385.0	4	1373	1123

7	8	850	-100	221	3.1	3.6	134.1	1	1310	1210
7	8	900	-150	97	3.1	5.2	234.9	2	1331	1181
7	8	950	-200	90	3.1	9.1	549.2	3	1351	1151
7	8	1000	-250	169	3.1	11.5	2049.0	4	1372	1122
6	7	750	-100	650	2.8	9.1	437.8	1	1329	1229
6	7	800	-150	74	2.8	5.1	200.5	2	1309	1159
6	7	850	-200	49	2.8	7.6	332.5	3	1310	1110
6	7	900	-250	51	2.8	11.3	687.8	4	1331	1081
5	6	650	-100	399	1.1	7.3	683.0	1	1372	1272
5	6	700	-150	59	1.1	8.1	404.0	2	1355	1205
5	6	750	-200	15	1.1	3.4	252.4	3	1329	1129
5	6	800	-250	13	1.1	6.0	444.4	4	1309	1059
4	5	550	-100	1028	1.0	7.8	1938.0	1	1353	1253
4	5	600	-150	306	1.0	8.3	2309.0	2	1378	1228
4	5	650	-200	141	1.0	6.3	2653.0	3	1372	1172
4	5	700	-250	46	1.0	4.3	1727.0	4	1355	1105
3	4	450	-100	744	2.3	13.1	609.8	1	1314	1214
3	4	500	-150	329	2.3	12.6	1079.0	2	1341	1191
3	4	550	-200	157	2.3	10.9	1285.0	3	1353	1153
3	4	600	-250	112	2.3	13.7	1836.0	4	1378	1128
2	3	350	-100	1937	2.8	13.7	1304.0	1	1253	1153
2	3	400	-150	178	2.8	11.9	480.3	2	1288	1138
2	3	450	-200	105	2.8	12.0	709.1	3	1314	1114
2	3	500	-250	58	2.8	10.7	775.3	4	1341	1091
1	2	250	-100	914	2.0	14.5	861.4	1	1217	1117
1	2	300	-150	528	2.0	18.9	1990.0	2	1235	1085
1	2	350	-200	63	2.0	15.8	590.8	3	1253	1053
1	2	400	-250	41	2.0	15.1	780.9	4	1288	1038
0	1	150	-100	561	2.2	27.5	480.3	1	1186	1086
0	1	200	-150	142	2.2	24.5	487.9	2	1201	1051
0	1	250	-200	138	2.2	25.7	1180.0	3	1217	1017
0	1	300	-250	20	2.2	23.7	334.2	4	1235	985

A-SP(m) 100 x-start 50
 N1-z(m) -100
 N2-z(m) -150
 N3-z(m) -200
 N4-z(m) -250

IP data of line H-5

Tx(A)	Tx(B)	x(m)	z(m)	Vp(mV)	Current(A)	M(%)	ρ (ohm-m)	N	Elevation(m)	Z-Depth(m)
0	1	150	-100	366	2.8	17.5	246	1	1185	1085
0	1	200	-150	115	2.8	20.3	309	2	1189	1039
0	1	250	-200	96	2.8	21.0	648	3	1191	991
0	1	300	-250	21	2.8	13.5	276	4	1206	956
1	2	250	-100	793	2.2	16.7	679	1	1191	1091
1	2	300	-150	309	2.2	16.6	1060	2	1206	1056
1	2	350	-200	58	2.2	10.3	495	3	1228	1028
1	2	400	-250	29	2.2	12.6	491	4	1258	1008
2	3	350	-100	1269	2.2	17.2	1088	1	1228	1128
2	3	400	-150	169	2.2	11.6	580	2	1258	1108
2	3	450	-200	80	2.2	13.0	681	3	1294	1094
2	3	500	-250	22	2.2	10.9	372	4	1316	1066
3	4	450	-100	961	2.3	14.0	788	1	1294	1194
3	4	500	-150	380	2.3	12.8	1245	2	1316	1166
3	4	550	-200	81	2.3	10.8	667	3	1332	1132
3	4	600	-250	62	2.3	9.4	1012	4	1351	1101
4	5	550	-100	3252	3.2	9.0	1916	1	1332	1232
4	5	600	-150	455	3.2	7.5	1071	2	1351	1201
4	5	650	-200	278	3.2	7.2	1639	3	1367	1167
4	5	700	-250	89	3.2	8.6	1050	4	1373	1123
5	6	650	-100	724	2.1	5.0	650	1	1367	1267
5	6	700	-150	228	2.1	4.2	820	2	1373	1223
5	6	750	-200	54	2.1	4.4	482	3	1379	1179
5	6	800	-250	70	2.1	1.9	1263	4	1386	1136
6	7	750	-100	384	2.0	7.8	362	1	1379	1279
6	7	800	-150	72	2.0	8.3	271	2	1386	1236
6	7	850	-200	76	2.0	5.2	719	3	1373	1173
6	7	900	-250	44	2.0	8.8	835	4	1353	1103
7	8	850	-100	508	3.5	8.3	273	1	1373	1273
7	8	900	-150	224	3.5	6.5	483	2	1353	1203
7	8	950	-200	94	3.5	9.8	507	3	1333	1133
7	8	1000	-250	82	3.5	7.6	879	4	1310	1060
8	9	950	-100	1212	4.5	8.2	508	1	1333	1233
8	9	1000	-150	307	4.5	11.0	515	2	1310	1160
8	9	1050	-200	197	4.5	7.3	825	3	1295	1095
8	9	1100	-250	105	4.5	13.0	879	4	1274	1024
9	10	1050	-100	723	4.7	12.0	290	1	1295	1195
9	10	1100	-150	253	4.7	8.7	405	2	1274	1124
9	10	1150	-200	106	4.7	12.5	426	3	1260	1060
9	10	1200	-250	6	4.7	21.7	48	4	1255	1005
10	11	1150	-100	1443	3.6	7.0	756	1	1260	1160
10	11	1200	-150	438	3.6	11.0	918	2	1255	1105
10	11	1250	-200	21	3.6	19.8	109	3	1244	1044
10	11	1300	-250	24	3.6	20.2	251	4	1246	996
11	12	1250	-100	1161	3.2	11.7	683.9	1	1244	1144
11	12	1300	-150	30	3.2	21.7	70.0	2	1246	1096
11	12	1350	-200	21	3.2	22.6	126.3	3	1264	1064
11	12	1400	-250	13	3.2	29.0	150.1	4	1263	1013
12	13	1350	-100	120	2.2	19.6	102.5	1	1264	1164
12	13	1400	-150	57	2.2	21.3	196.6	2	1263	1113
12	13	1450	-200	31	2.2	27.5	263.3	3	1263	1063
12	13	1500	-250	20	2.2	34.7	343.7	4	1260	1010
13	14	1450	-100	30597	1.7	5.8	33930.0	1	1263	1163
13	14	1500	-150	383	1.7	18.2	1698.0	2	1260	1110
13	14	1550	-200	158	1.7	31.5	1751.0	3	1260	1060
13	14	1600	-250	21	1.7	37.5	468.8	4	1247	997
14	15	1550	-100	245	1.9	14.5	242.7	1	1260	1160
14	15	1600	-150	77	1.9	29.5	307.1	2	1247	1097
14	15	1650	-200	9	1.9	40.6	86.9	3	1244	1044
14	15	1700	-250	5	1.9	38.5	91.0	4	1270	1020
15	16	1650	-100	884	2.1	29.3	793.3	1	1244	1144
15	16	1700	-150	72	2.1	41.9	257.1	2	1270	1120
15	16	1750	-200	33	2.1	42.0	297.4	3	1298	1098
15	16	1800	-250	14	2.1	33.6	246.9	4	1309	1059
16	17	1750	-100	214	1.7	45.0	237.7	1	1298	1198
16	17	1800	-150	63	1.7	47.0	280.8	2	1309	1159
16	17	1850	-200	20	1.7	38.7	223.7	3	1299	1099
16	17	1900	-250	14	1.7	37.2	312.8	4	1291	1041
17	18	1850	-100	551	2.0	22.5	519.4	1	1299	1199
17	18	1900	-150	95	2.0	25.8	359.7	2	1291	1141
17	18	1950	-200	50	2.0	26.3	472.4	3	1283	1083
17	18	2000	-250	21	2.0	32.1	402.0	4	1282	1032

18	19	1950	-100	680	3.6	11.8	356.2	1	1283	1183
18	19	2000	-150	222	3.6	14.3	465.0	2	1282	1132
18	19	2050	-200	76	3.6	21.3	400.5	3	1287	1087
18	19	2100	-250	24	3.6	28.5	255.5	4	1275	1025
19	20	2050	-100	909	4.3	9.8	398.7	1	1287	1187
19	20	2100	-150	270	4.3	17.6	473.0	2	1275	1125
19	20	2150	-200	72	4.3	25.4	317.4	3	1260	1060
19	20	2200	-250	34	4.3	23.8	297.8	4	1241	991
20	21	2150	-100	586	4.2	12.9	263.0	1	1260	1160
20	21	2200	-150	100	4.2	24.5	179.2	2	1241	1091
20	21	2250	-200	38	4.2	22.7	172.0	3	1215	1015
20	21	2300	-250	32	4.2	23.1	283.7	4	1187	937
21	22	2250	-100	247	2.8	20.6	166.2	1	1215	1115
21	22	2300	-150	53	2.8	22.1	143.9	2	1187	1037
21	22	2350	-200	36	2.8	22.3	241.0	3	1182	982
21	22	2400	-250	28	2.8	21.4	379.6	4	1187	937
22	23	2350	-100	304	2.3	18.6	249.2	1	1182	1082
22	23	2400	-150	130	2.3	21.8	426.8	2	1187	1037
22	23	2450	-200	86	2.3	22.5	708.1	3	1190	990
22	23	2500	-250	48	2.3	22.1	787.7	4	1189	939
23	24	2450	-100	490	2.0	15.7	462.1	1	1190	1090
23	24	2500	-150	231	2.0	17.4	872.6	2	1189	1039
23	24	2550	-200	112	2.0	17.8	1056.0	3	1189	989
23	24	2600	-250	53	2.0	19.4	1004.0	4	1188	938
24	25	2550	-100	778	2.3	9.8	637.5	1	1189	1089
24	25	2600	-150	261	2.3	10.0	857.0	2	1188	1038
24	25	2650	-200	100	2.3	11.7	822.9	3	1186	986
24	25	2700	-250	83	2.3	13.6	1366.0	4	1183	933
25	26	2650	-100	1027	2.4	5.8	806.9	1	1186	1086
25	26	2700	-150	229	2.4	7.1	719.1	2	1183	1033
25	26	2750	-200	156	2.4	10.2	1222.0	3	1194	994
26	27	2750	-100	716	2.0	7.8	674.9	1	1194	1094
26	27	2800	-150	284	2.0	10.8	1069.0	2	1200	1050
27	28	2850	-100	1324	2.0	12.9	1249.0	1	1207	1107

A-SP(m) 100 x-start 50
 N1-z(m) -100
 N2-z(m) -150
 N3-z(m) -200
 N4-z(m) -250

IP data of line H-6

Tx(A)	Tx(B)	x(m)	z(m)	Vp(mV)	Current(A)	M(%)	ρ (ohm-m)	N	Elevation(m)	Z-Depth(m)
0	1	150	-100	287	2.0	11.2	270.2	1	1171	1071
0	1	200	-150	185	2.0	14.5	696.2	2	1189	1039
0	1	250	-200	63	2.0	11.7	592.7	3	1216	1016
0	1	300	-250	38	2.0	13.7	710.1	4	1247	997
1	2	250	-100	1277	2.4	11.0	1003.0	1	1216	1116
1	2	300	-150	320	2.4	9.0	1004.0	2	1247	1097
1	2	350	-200	166	2.4	10.4	1303.0	3	1286	1086
1	2	400	-250	64	2.4	10.3	998.9	4	1324	1074
2	3	350	-100	872	2.2	7.0	746.9	1	1286	1186
2	3	400	-150	337	2.2	8.0	1155.0	2	1324	1174
2	3	450	-200	106	2.2	7.6	910.5	3	1344	1144
2	3	500	-250	45	2.2	7.1	762.6	4	1368	1118
3	4	450	-100	1831	1.5	7.5	2301	1	1344	1244
3	4	500	-150	262	1.5	8.0	1319	2	1368	1218
3	4	550	-200	91	1.5	6.7	1142	3	1399	1199
3	4	600	-250	90	1.5	7.2	2265	4	1418	1168
4	5	550	-100	602	1.3	7.3	873	1	1399	1299
4	5	600	-150	131	1.3	5.6	761	2	1418	1268
4	5	650	-200	95	1.3	4.8	1374	3	1443	1243
4	5	700	-250	47	1.3	6.4	1359	4	1458	1208
5	6	650	-100	719	1.4	7.3	969	1	1443	1343
5	6	700	-150	333	1.4	6.8	1795	2	1458	1308
5	6	750	-200	123	1.4	8.4	1659	3	1457	1257
5	6	800	-250	59	1.4	6.5	1577	4	1444	1194
6	7	750	-100	1233	1.6	7.1	1453	1	1457	1357
6	7	800	-150	269	1.6	9.0	1270	2	1444	1294
6	7	850	-200	102	1.6	7.2	1206	3	1414	1214
6	7	900	-250	89	1.6	9.5	2095	4	1381	1131
7	8	850	-100	867	1.8	6.3	908	1	1414	1314
7	8	900	-150	176	1.8	4.7	738	2	1381	1231
7	8	950	-200	131	1.8	7.0	1374	3	1366	1166
7	8	1000	-250	40	1.8	9.4	837	4	1344	1094
8	9	950	-100	993	2.9	4.3	646	1	1366	1266
8	9	1000	-150	546	2.9	6.6	1420	2	1344	1194
8	9	1050	-200	143	2.9	8.9	931	3	1320	1120
8	9	1100	-250	55	2.9	14.8	711	4	1294	1044
9	10	1050	-100	1606	2.6	7.4	1164	1	1320	1220
9	10	1100	-150	262	2.6	10.0	759	2	1294	1144
9	10	1150	-200	77	2.6	16.1	559	3	1263	1063
9	10	1200	-250	15	2.6	20.2	222	4	1243	993
10	11	1150	-100	401	2.8	8.7	270	1	1263	1163
10	11	1200	-150	98	2.8	14.3	264	2	1243	1093
10	11	1250	-200	18	2.8	19.5	124	3	1240	1040
10	11	1300	-250	16	2.8	12.7	218	4	1236	986
11	12	1250	-100	869	4.2	13.7	390	1	1240	1140
11	12	1300	-150	129	4.2	20.9	231	2	1236	1086
11	12	1350	-200	83	4.2	14.5	371	3	1234	1034
11	12	1400	-250	51	4.2	27.2	455	4	1232	982
12	13	1350	-100	374	4.5	17.5	157	1	1234	1134
12	13	1400	-150	150	4.5	12.5	251	2	1232	1082
12	13	1450	-200	77	4.5	25.4	324	3	1230	1030
12	13	1500	-250	45	4.5	38.5	377	4	1216	966
13	14	1450	-100	488	4.7	6.1	196	1	1230	1130
13	14	1500	-150	191	4.7	21.1	306	2	1216	1066
13	14	1550	-200	89	4.7	36.5	357	3	1197	997
13	14	1600	-250	18	4.7	31.0	143	4	1180	930
14	15	1550	-100	615	4.9	16.8	236.5	1	1197	1097
14	15	1600	-150	194	4.9	34.8	297.9	2	1180	1030
14	15	1650	-200	27	4.9	29.3	103.3	3	1186	986
14	15	1700	-250	15	4.9	29.3	114.5	4	1201	951
15	16	1650	-100	1162	5.5	39.7	398.2	1	1186	1086
15	16	1700	-150	123	5.5	31.9	169.3	2	1201	1051
15	16	1750	-200	59	5.5	30.5	200.7	3	1210	1010
15	16	1800	-250	27	5.5	25.6	182.6	4	1196	946
16	17	1750	-100	415	4.5	48.6	173.7	1	1210	1110
16	17	1800	-150	121	4.5	42.2	203.0	2	1196	1046
16	17	1850	-200	46	4.5	34.6	193.4	3	1185	985
16	17	1900	-250	13	4.5	32.4	108.3	4	1171	921
17	18	1850	-100	706	4.2	31.4	316.8	1	1185	1085
17	18	1900	-150	130	4.2	31.9	233.7	2	1171	1021
17	18	1950	-200	27	4.2	29.5	119.4	3	1156	956
17	18	2000	-250	33	4.2	43.7	293.8	4	1154	904

18	19	1950	-100	409	4.6	17.2	167.7	1	1156	1056
18	19	2000	-150	49	4.6	16.4	80.4	2	1154	1004
18	19	2050	-200	51	4.6	31.7	209.1	3	1161	961
18	19	2100	-250	15	4.6	31.2	123.0	4	1172	922
19	20	2050	-100	219	3.5	12.4	117.7	1	1161	1061
19	20	2100	-150	169	3.5	29.0	364.7	2	1172	1022
19	20	2150	-200	41	3.5	29.5	219.4	3	1189	989
19	20	2200	-250	24	3.5	28.7	253.7	4	1202	952
20	21	2150	-100	607	3.9	26.7	293.1	1	1189	1089
20	21	2200	-150	85	3.9	28.9	163.4	2	1202	1052
20	21	2250	-200	39	3.9	29.1	190.6	3	1194	994
20	21	2300	-250	25	3.9	22.9	237.4	4	1191	941
21	22	2250	-100	331	3.0	23.4	208.0	1	1194	1094
21	22	2300	-150	112	3.0	25.8	280.5	2	1191	1041
21	22	2350	-200	51	3.0	20.8	319.4	3	1194	994
21	22	2400	-250	71	3.0	17.2	886.4	4	1208	958
22	23	2350	-100	499	2.4	19.4	392.2	1	1194	1094
22	23	2400	-150	162	2.4	18.9	507.9	2	1208	1058
22	23	2450	-200	185	2.4	17.0	1454.0	3	1229	1029
22	23	2500	-250	63	2.4	17.5	993.1	4	1247	997
23	24	2450	-100	560	1.5	16.5	703.3	1	1229	1129
23	24	2500	-150	350	1.5	14.5	1757.0	2	1247	1097
23	24	2550	-200	80	1.5	14.6	1007.0	3	1245	1045
23	24	2600	-250	42	1.5	17.0	1058.0	4	1244	994
24	25	2550	-100	671	1.4	6.3	904.1	1	1245	1145
24	25	2600	-150	102	1.4	7.4	547.5	2	1244	1094
24	25	2650	-200	42	1.4	11.2	560.0	3	1244	1044
24	25	2700	-250	25	1.4	11.9	665.7	4	1248	998
25	26	2650	-100	821	2.3	6.2	672.5	1	1244	1144
25	26	2700	-150	173	2.3	7.1	566.5	2	1248	1098
25	26	2750	-200	85	2.3	7.4	693.5	3	1250	1050
26	27	2750	-100	858	1.9	6.3	851.5	1	1250	1150
26	27	2800	-150	268	1.9	6.5	1063.0	2	1252	1102
27	28	2850	-100	701	2.0	7.6	660.8	1	1258	1158

A-SP(m) 100 x-start 50
 N1-z(m) -100
 N2-z(m) -150
 N3-z(m) -200
 N4-z(m) -250

IP data of line H-7

Tx(A)	Tx(B)	x(m)	z(m)	Vp(mV)	Current(A)	M(%)	ρ (ohm-m)	N	Elevation(m)	Z-Depth(m)
0	1	150	-100	416	2.5	12.2	313.8	1	1115	1015
0	1	200	-150	148	2.5	14.7	447.8	2	1131	981
0	1	250	-200	61	2.5	14.9	457.3	3	1154	954
0	1	300	-250	26	2.5	11.9	391.8	4	1186	936
1	2	250	-100	509	2.8	11.4	342.4	1	1154	1054
1	2	300	-150	126	2.8	11.2	339.1	2	1186	1036
1	2	350	-200	45	2.8	9.3	300.2	3	1227	1027
1	2	400	-250	44	2.8	9.8	598.5	4	1259	1009
2	3	350	-100	1788	2.4	17.2	1405.0	1	1227	1127
2	3	400	-150	429	2.4	15.3	1347.0	2	1259	1109
2	3	450	-200	315	2.4	15.2	2470.0	3	1305	1105
2	3	500	-250	93	2.4	16.0	1458.0	4	1306	1056
3	4	450	-100	2622	2.2	8.5	2246.0	1	1305	1205
3	4	500	-150	1254	2.2	8.7	4299.0	2	1306	1156
3	4	550	-200	282	2.2	9.1	2413.0	3	1294	1094
3	4	600	-250	266	2.2	10.4	4557.0	4	1280	1030
4	5	550	-100	3141	1.8	7.7	3290.0	1	1294	1194
4	5	600	-150	431	1.8	8.3	1807.0	2	1280	1130
4	5	650	-200	313	1.8	9.6	3273.0	3	1267	1067
4	5	700	-250	120	1.8	10.2	2517.0	4	1257	1007
5	6	650	-100	815	1.6	7.5	960.2	1	1267	1167
5	6	700	-150	365	1.6	8.0	1721.0	2	1257	1107
5	6	750	-200	117	1.6	8.8	1375.0	3	1242	1042
5	6	800	-250	58	1.6	8.8	1376.0	4	1196	946
6	7	750	-100	1928	1.4	7.9	2597.0	1	1242	1142
6	7	800	-150	378	1.4	9.2	2036.0	2	1196	1046
6	7	850	-200	154	1.4	9.3	2078.0	3	1190	990
6	7	900	-250	29	1.4	7.6	787.5	4	1190	940
7	8	850	-100	893	2.4	7.3	701.5	1	1190	1090
7	8	900	-150	266	2.4	7.8	835.4	2	1190	1040
7	8	950	-200	45	2.4	6.6	356.7	3	1186	986
7	8	1000	-250	42	2.4	8.8	653.8	4	1180	930
8	9	950	-100	1530	1.9	5.7	1518.0	1	1186	1086
8	9	1000	-150	140	1.9	3.4	556.7	2	1180	1030
8	9	1050	-200	123	1.9	6.1	1217.0	3	1180	980
8	9	1100	-250	77	1.9	16.9	1532.0	4	1181	931
9	10	1050	-100	225	1.3	4.2	326.6	1	1180	1080
9	10	1100	-150	154	1.3	7.3	890.5	2	1181	1031
9	10	1150	-200	88	1.3	17.7	1270.0	3	1172	972
9	10	1200	-250	32	1.3	25.0	916.3	4	1173	923
10	11	1150	-100	1066	2.3	9.3	873.6	1	1172	1072
10	11	1200	-150	469	2.3	20.1	1538.0	2	1173	1023
10	11	1250	-200	154	2.3	27.2	1263.0	3	1163	963
10	11	1300	-250	31	2.3	22.6	507.9	4	1158	908
11	12	1250	-100	641	3.6	12.5	335.5	1	1163	1063
11	12	1300	-150	165	3.6	19.5	344.9	2	1158	1008
11	12	1350	-200	29	3.6	18.0	150.3	3	1166	966
11	12	1400	-250	16	3.6	22.7	166.6	4	1151	901
12	13	1350	-100	749	2.8	13.5	504.0	1	1166	1066
12	13	1400	-150	52	2.8	11.5	140.3	2	1151	1001
12	13	1450	-200	29	2.8	18.1	194.5	3	1136	936
12	13	1500	-250	8	2.8	22.9	112.5	4	1133	883
13	14	1450	-100	236	3.1	12.7	143.4	1	1136	1036
13	14	1500	-150	88	3.1	19.7	214.4	2	1133	983
13	14	1550	-200	20	3.1	26.3	121.0	3	1127	927
13	14	1600	-250	10	3.1	36.9	120.2	4	1135	885
14	15	1550	-100	224	4.1	16.0	102.8	1	1127	1027
14	15	1600	-150	36	4.1	27.4	67.1	2	1135	985
14	15	1650	-200	16	4.1	37.6	72.4	3	1143	943
14	15	1700	-250	5	4.1	27.0	45.8	4	1150	900
15	16	1650	-100	213	2.4	41.1	168	1	1143	1043
15	16	1700	-150	65	2.4	48.9	205	2	1150	1000
15	16	1750	-200	15	2.4	36.4	118	3	1156	956
15	16	1800	-250	4	2.4	26.2	62	4	1168	918
16	17	1750	-100	325	2.2	49.0	278	1	1156	1056
16	17	1800	-150	39	2.2	44.5	133	2	1168	1018
16	17	1850	-200	9	2.2	33.4	73	3	1179	979
16	17	1900	-250	14	2.2	40.0	234	4	1193	943
17	18	1850	-100	74	1.6	43.7	88	1	1179	1079
17	18	1900	-150	9	1.6	33.3	43	2	1193	1043
17	18	1950	-200	10	1.6	36.8	115	3	1207	1007
17	18	2000	-250	2	1.6	31.1	37	4	1214	964

18	19	1950	-100	97	1.1	20.3	166	1	1207	1107
18	19	2000	-150	37	1.1	31.9	254	2	1214	1064
18	19	2050	-200	5	1.1	22.1	92	3	1214	1014
18	19	2100	-250	3	1.1	21.4	110	4	1209	959
19	20	2050	-100	244	1.7	23.7	270	1	1214	1114
19	20	2100	-150	21	1.7	19.8	92	2	1209	1059
19	20	2150	-200	24	1.7	24.0	271	3	1202	1002
19	20	2200	-250	14	1.7	27.8	309	4	1206	956
20	21	2150	-100	176	2.0	16.7	166	1	1202	1102
20	21	2200	-150	50	2.0	15.0	187	2	1206	1056
20	21	2250	-200	44	2.0	24.5	418	3	1226	1026
20	21	2300	-250	19	2.0	19.9	358	4	1243	993
21	22	2250	-100	511	2.1	16.3	458	1	1226	1126
21	22	2300	-150	381	2.1	28.5	1366	2	1243	1093
21	22	2350	-200	141	2.1	27.3	1269	3	1261	1061
21	22	2400	-250	89	2.1	28.9	1596	4	1260	1010
22	23	2350	-100	2274	2.2	13.9	1949	1	1261	1161
22	23	2400	-150	424	2.2	13.8	1455	2	1260	1110
22	23	2450	-200	166	2.2	19.4	1425	3	1260	1060
22	23	2500	-250	37	2.2	16.3	633	4	1262	1012
23	24	2450	-100	891	1.8	10.2	933	1	1260	1160
23	24	2500	-150	241	1.8	17.1	1007	2	1262	1112
23	24	2550	-200	45	1.8	14.4	469	3	1263	1063
23	24	2600	-250	49	1.8	13.7	1031	4	1264	1014
24	25	2550	-100	1779	2.6	20.2	1290	1	1263	1163
24	25	2600	-150	258	2.6	19.0	747	2	1264	1114
24	25	2650	-200	223	2.6	19.6	1614	3	1270	1070
24	25	2700	-250	108	2.6	20.8	1570	4	1270	1020
25	26	2650	-100	626	1.5	5.6	786	1	1270	1170
25	26	2700	-150	367	1.5	8.8	1843	2	1270	1120
25	26	2750	-200	150	1.5	11.4	1884	3	1271	1071
26	27	2750	-100	1058	1.2	7.2	1662.0	1	1271	1171
26	27	2800	-150	323	1.2	10.4	2027.0	2	1281	1131
27	28	2850	-100	604	1.4	9.2	813.9	1	1300	1200

A-SP(m) 100 x-start 50
 N1-z(m) -100
 N2-z(m) -150
 N3-z(m) -200
 N4-z(m) -250

IP data of line H-8

Tx(A)	Tx(B)	x(m)	z(m)	Vp(mV)	Current(A)	M(%)	ρ (ohm-m)	N	Elevation(m)	Z-Depth(m)
0	1	150	-100	1064	2.9	12.2	691	1	1092	992
0	1	200	-150	586	2.9	27.7	1523	2	1096	946
0	1	250	-200	279	2.9	24.1	1815	3	1108	908
0	1	300	-250	80	2.9	21.7	1039	4	1100	850
1	2	250	-100	1728	2.6	22.1	1253.0	1	1108	1008
1	2	300	-150	576	2.6	20.1	1672.0	2	1100	950
1	2	350	-200	127	2.6	16.5	920	3	1101	901
1	2	400	-250	101	2.6	14.8	1471	4	1109	859
2	3	350	-100	2416	2.2	29.6	2070	1	1101	1001
2	3	400	-150	374	2.2	22.3	1283	2	1109	959
2	3	450	-200	250	2.2	19.9	2142	3	1110	910
2	3	500	-200	70	2.2	19.7	1207.0	4	1109	909
3	4	450	-100	1374	2.4	30.2	1079	1	1110	1010
3	4	500	-150	1378	2.4	16.7	4330	2	1109	959
3	4	550	-200	342	2.4	18.4	2685	3	1109	909
3	4	600	-250	169	2.4	16.6	2650	4	1108	858
4	5	550	-100	4752	2.4	13.9	3732	1	1109	1009
4	5	600	-150	656	2.4	17.2	2061	2	1108	958
4	5	650	-200	278	2.4	15.2	2180	3	1110	910
4	5	700	-250	208	2.4	14.8	3265	4	1112	862
5	6	650	-100	1715	1.6	15.4	2021	1	1110	1010
5	6	700	-150	388	1.6	14.9	1826	2	1112	962
5	6	750	-200	228	1.6	13.7	2681	3	1112	912
5	6	800	-250	126	1.6	11.8	2965	4	1115	865
6	7	750	-100	1404	1.7	11.5	1557	1	1112	1012
6	7	800	-150	637	1.7	10.9	2827	2	1115	965
6	7	850	-200	322	1.7	8.9	3575	3	1125	925
6	7	900	-250	91	1.7	7.8	2012	4	1140	890
7	8	850	-100	1761	3.2	8.0	1038	1	1125	1025
7	8	900	-150	637	3.2	5.9	1502	2	1140	990
7	8	950	-200	159	3.2	4.5	935	3	1157	957
7	8	1000	-250	140	3.2	5.3	1655	4	1171	921
8	9	950	-100	1338	2.6	6.0	970	1	1157	1057
8	9	1000	-150	262	2.6	4.0	760	2	1171	1021
8	9	1050	-200	208	2.6	4.5	1508	3	1181	981
8	9	1100	-250	144	2.6	11.1	2092	4	1182	932
9	10	1050	-100	1064	2.1	5.4	955	1	1181	1081
9	10	1100	-150	566	2.1	5.5	2031	2	1182	1032
9	10	1150	-200	319	2.1	12.3	2861	3	1166	966
9	10	1200	-250	195	2.1	25.4	3499	4	1146	896
10	11	1150	-100	2515	2.5	4.8	1896	1	1166	1066
10	11	1200	-150	925	2.5	12.0	2789	2	1146	996
10	11	1250	-200	491	2.5	25.7	3705	3	1147	947
10	11	1300	-250	116	2.5	32.7	1756	4	1164	914
11	12	1250	-100	1588	3.9	10.8	768	1	1147	1047
11	12	1300	-150	677	3.9	25.1	1308	2	1164	1014
11	12	1350	-200	144	3.9	32.6	698	3	1181	981
11	12	1400	-250	20	3.9	26.2	197	4	1184	934
12	13	1350	-100	2930	3.4	23.1	1624	1	1181	1081
12	13	1400	-150	480	3.4	30.7	1065	2	1184	1034
12	13	1450	-200	53	3.4	24.4	296	3	1156	956
12	13	1500	-250	11	3.4	30.8	119	4	1148	898
13	14	1450	-100	1461	1.8	31.8	1530.0	1	1156	1056
13	14	1500	-150	105	1.8	25.5	440.6	2	1148	998
13	14	1550	-200	16	1.8	32.4	169.0	3	1153	953
13	14	1600	-250	5	1.8	28.6	105.2	4	1170	920
14	15	1550	-100	259	1.3	19.6	375.5	1	1153	1053
14	15	1600	-150	25	1.3	31.1	144.5	2	1170	1020
14	15	1650	-200	7	1.3	32.6	101.4	3	1191	991
14	15	1700	-250	2	1.3	38.6	51.0	4	1209	959
15	16	1650	-100	304	1.9	40.0	301.3	1	1191	1091
15	16	1700	-150	47	1.9	46.0	184.9	2	1209	1059
15	16	1750	-200	6	1.9	52.4	59.2	3	1226	1026
15	16	1800	-250	4	1.9	42.0	88.2	4	1240	990
16	17	1750	-100	561	3.2	36.6	330.6	1	1226	1126
16	17	1800	-150	52	3.2	50.0	122.8	2	1240	1090
16	17	1850	-200	25	3.2	42.0	144.9	3	1248	1048
16	17	1900	-250	7	3.2	36.7	84.2	4	1255	1005
17	18	1850	-100	252	3.1	42.4	153.3	1	1248	1148
17	18	1900	-150	61	3.1	39.9	148.5	2	1255	1105
17	18	1950	-200	13	3.1	37.2	78.3	3	1247	1047
17	18	2000	-250	6	3.1	23.6	77.8	4	1248	998

18	19	1950	-100	430	3.4	32.7	238.6	1	1247	1147
18	19	2000	-150	51	3.4	31.4	113.4	2	1248	1098
18	19	2050	-200	22	3.4	18.0	119.8	3	1258	1058
18	19	2100	-250	17	3.4	21.0	192.6	4	1277	1027
19	20	2050	-100	309	3.6	29.3	161.6	1	1258	1158
19	20	2100	-150	80	3.6	19.1	167.7	2	1277	1127
19	20	2150	-200	46	3.6	21.3	242.0	3	1283	1083
19	20	2200	-250	45	3.6	28.6	471.7	4	1278	1028
20	21	2150	-100	2033	2.8	23.1	1369.0	1	1283	1183
20	21	2200	-150	825	2.8	24.0	2222.0	2	1278	1128
20	21	2250	-200	670	2.8	30.9	4509.0	3	1281	1081
20	21	2300	-250	149	2.8	31.6	2003.0	4	1277	1027
21	22	2250	-100	1992	2.6	14.6	1444.0	1	1281	1181
21	22	2300	-150	1111	2.6	23.1	3222.0	2	1277	1127
21	22	2350	-200	261	2.6	24.2	1889.0	3	1266	1066
21	22	2400	-250	80	2.6	21.3	1164.0	4	1242	992
22	23	2350	-100	1988	1.8	20.4	2082.0	1	1266	1166
22	23	2400	-150	195	1.8	20.4	815.3	2	1242	1092
22	23	2450	-200	73	1.8	13.6	761.9	3	1221	1021
22	23	2500	-250	32	1.8	13.5	663.1	4	1215	965
23	24	2450	-100	611	1.7	21.9	677.9	1	1221	1121
23	24	2500	-150	186	1.7	16.8	822.9	2	1215	1065
23	24	2550	-200	71	1.7	17.2	791.7	3	1234	1034
23	24	2600	-250	46	1.7	16.9	1026.0	4	1240	990
24	25	2550	-100	919	1.2	12.3	1444.0	1	1234	1134
24	25	2600	-150	253	1.2	11.2	1591.0	2	1240	1090
24	25	2650	-200	116	1.2	14.9	1820.0	3	1222	1022
24	25	2700	-250	37	1.2	15.7	1170.0	4	1224	974
25	26	2650	-100	753	1.0	4.6	1420.0	1	1222	1122
25	26	2700	-150	188	1.0	10.2	1414.0	2	1224	1074
25	26	2750	-200	47	1.0	10.0	889.5	3	1242	1042
26	27	2750	-100	1025	1.3	11.3	1486.0	1	1242	1142
26	27	2800	-150	137	1.3	10.3	796.0	2	1260	1110
27	28	2850	-100	753	1.5	7.3	946.9	1	1267	1167

A-SP(m) 100 x-start 50
 N1-z(m) -100
 N2-z(m) -150
 N3-z(m) -200
 N4-z(m) -250

IP data of line H-9

Tx(A)	Tx(B)	x(m)	z(m)	Vp(mV)	Current(A)	M(%)	ρ (ohm-m)	N	Elevation(m)	Z-Depth(m)
0	1	150	-100	1365	3.0	14.8	858.2	1	1160	1060
0	1	200	-150	520	3.0	23.8	1306.0	2	1175	1025
0	1	250	-200	200	3.0	24.5	1257.0	3	1194	994
0	1	300	-250	130	3.0	16.9	1632.0	4	1225	975
1	2	250	-100	3002	2.7	20.3	2096.0	1	1194	1094
1	2	300	-150	726	2.7	22.8	2026.0	2	1225	1075
1	2	350	-200	366	2.7	15.2	2555.0	3	1249	1049
1	2	400	-250	177	2.7	13.8	2465.0	4	1259	1009
2	3	350	-100	2034	1.5	25.6	2556.0	1	1249	1149
2	3	400	-150	716	1.5	19.6	3599.0	2	1259	1109
2	3	450	-200	295	1.5	17.8	3704.0	3	1264	1064
2	3	500	-250	114	1.5	17.1	2876.0	4	1264	1014
3	4	450	-100	1346	0.8	21.8	3172.0	1	1264	1164
3	4	500	-150	329	0.8	18.3	3098.0	2	1264	1114
3	4	550	-200	120	0.8	17.5	2823.0	3	1255	1055
3	4	600	-250	88	0.8	16.0	4132.0	4	1268	1018
4	5	550	-100	784	0.9	16.8	1643.0	1	1255	1155
4	5	600	-150	190	0.9	17.0	1588.0	2	1268	1118
4	5	650	-200	112	0.9	15.4	2346.0	3	1284	1084
4	5	700	-250	82	0.9	14.9	3426.0	4	1292	1042
5	6	650	-100	1731	1.9	5.8	1718.0	1	1284	1184
5	6	700	-150	730	1.9	5.4	2895.0	2	1292	1142
5	6	750	-200	436	1.9	4.9	4327.0	3	1280	1080
5	6	800	-250	169	1.9	4.9	3351.0	4	1254	1004
6	7	750	-100	2625	2.0	5.4	2474.0	1	1280	1180
6	7	800	-150	1062	2.0	4.9	4006.0	2	1254	1104
6	7	850	-200	345	2.0	4.7	3255.0	3	1248	1048
6	7	900	-250	84	2.0	5.5	1585.0	4	1270	1020
7	8	850	-100	2016	1.8	7.5	2111.0	1	1248	1148
7	8	900	-150	387	1.8	7.5	1621.0	2	1270	1120
7	8	950	-200	81	1.8	8.5	851.1	3	1289	1089
7	8	1000	-250	86	1.8	7.2	1806.0	4	1290	1040
8	9	950	-100	1056	1.8	5.0	1106.0	1	1289	1189
8	9	1000	-150	164	1.8	6.4	685.2	2	1290	1140
8	9	1050	-200	147	1.8	5.7	1541.0	3	1299	1099
8	9	1100	-250	91	1.8	7.1	1909.0	4	1304	1054
9	10	1050	-100	1121	2.0	6.5	1057.0	1	1299	1199
9	10	1100	-150	643	2.0	6.8	2423.0	2	1304	1154
9	10	1150	-200	342	2.0	10.2	3220.0	3	1285	1085
9	10	1200	-250	306	2.0	16.6	5772.0	4	1265	1015
10	11	1150	-100	1973	2.4	5.6	1550.0	1	1285	1185
10	11	1200	-150	584	2.4	10.0	1836.0	2	1265	1115
10	11	1250	-200	417	2.4	16.3	3271.0	3	1245	1045
10	11	1300	-250	137	2.4	26.8	2155.0	4	1224	974
11	12	1250	-100	873	3.2	13.4	514.0	1	1245	1145
11	12	1300	-150	387	3.2	18.2	910.8	2	1224	1074
11	12	1350	-200	112	3.2	28.3	662.6	3	1204	1004
11	12	1400	-250	24	3.2	28.9	279.9	4	1213	963
12	13	1350	-100	4623	3.5	21.6	2490.0	1	1204	1104
12	13	1400	-150	577	3.5	28.3	1243.0	2	1213	1063
12	13	1450	-200	106	3.5	29.5	573.1	3	1216	1016
12	13	1500	-250	15	3.5	24.8	159.1	4	1186	936
13	14	1450	-100	1579	2.2	35.1	1353.0	1	1216	1116
13	14	1500	-150	175	2.2	33.1	599.3	2	1186	1036
13	14	1550	-200	22	2.2	30.1	190.0	3	1175	975
13	14	1600	-250	5	2.2	29.2	79.1	4	1184	934
14	15	1550	-100	607	1.4	30.3	816.9	1	1175	1075
14	15	1600	-150	39	1.4	24.9	207.7	2	1184	1034
14	15	1650	-200	7	1.4	24.5	96.1	3	1199	999
14	15	1700	-250	9	1.4	36.9	248.5	4	1216	966
15	16	1650	-100	86	1.2	12.0	135.0	1	1199	1099
15	16	1700	-150	11	1.2	13.2	70.8	2	1216	1066
15	16	1750	-200	10	1.2	27.4	152.4	3	1228	1028
15	16	1800	-250	6	1.2	32.2	202.7	4	1233	983
16	17	1750	-100	85	2.2	14.6	73	1	1228	1128
16	17	1800	-150	31	2.2	27.5	105	2	1233	1083
16	17	1850	-200	16	2.2	28.7	139	3	1234	1034
16	17	1900	-250	4	2.2	21.8	67	4	1231	981
17	18	1850	-100	209	4.1	26.5	96	1	1234	1134
17	18	1900	-150	63	4.1	31.5	117	2	1231	1081
17	18	1950	-200	12	4.1	21.4	55	3	1230	1030
17	18	2000	-250	10	4.1	20.1	88	4	1217	967

18	19	1950	-100	246	3.8	31.6	122	1	1230	1130
18	19	2000	-150	29	3.8	25.2	57	2	1217	1067
18	19	2050	-200	18	3.8	23.6	91	3	1211	1011
18	19	2100	-250	24	3.8	29.8	235	4	1241	991
19	20	2050	-100	499	2.9	25.4	325	1	1211	1111
19	20	2100	-150	197	2.9	20.3	513	2	1241	1091
19	20	2150	-200	210	2.9	25.8	1365	3	1266	1066
19	20	2200	-250	75	2.9	26.3	977	4	1272	1022
20	21	2150	-100	1323	1.9	9.2	1313	1	1266	1166
20	21	2200	-150	865	1.9	19.5	3431	2	1272	1122
20	21	2250	-200	226	1.9	22.3	2244	3	1267	1067
20	21	2300	-250	101	1.9	24.8	2006	4	1272	1022
21	22	2250	-100	1892	2.0	14.2	1783	1	1267	1167
21	22	2300	-150	249	2.0	15.5	940	2	1272	1122
21	22	2350	-200	87	2.0	16.1	818	3	1283	1083
21	22	2400	-250	40	2.0	12.9	752	4	1293	1043
22	23	2350	-100	859	1.8	18.1	900	1	1283	1183
22	23	2400	-150	184	1.8	17.4	773	2	1293	1143
22	23	2450	-200	73	1.8	13.5	766	3	1300	1100
22	23	2500	-250	28	1.8	12.9	585	4	1313	1063
23	24	2450	-100	855	1.7	14.5	948	1	1300	1200
23	24	2500	-150	236	1.7	12.1	1045	2	1313	1163
23	24	2550	-200	74	1.7	12.1	819	3	1333	1133
23	24	2600	-250	64	1.7	14.1	1421	4	1329	1079
24	25	2550	-100	1884	2.2	6.4	1614	1	1333	1233
24	25	2600	-150	231	2.2	4.6	792	2	1329	1179
24	25	2650	-200	148	2.2	6.7	1272	3	1327	1127
24	25	2700	-250	202	2.2	9.2	3458	4	1336	1086
25	26	2650	-100	408	1.1	4.2	698	1	1327	1227
25	26	2700	-150	148	1.1	5.4	1016	2	1336	1186
25	26	2750	-200	156	1.1	8.3	2668	3	1338	1138
26	27	2750	-100	341	0.8	5.1	804	1	1338	1238
26	27	2800	-150	170	0.8	7.9	1600	2	1305	1155
27	28	2850	-100	1041	1.4	8.0	1402.0	1	1273	1173

A-SP(m) 100 x-start 50
 N1-z(m) -100
 N2-z(m) -150
 N3-z(m) -200
 N4-z(m) -250

IP data of line H-10

Tx(A)	Tx(B)	x(m)	z(m)	Vp(mV)	Current(A)	M(%)	ρ (ohm-m)	N	Elevation(m)	Z-Depth(m)
0	1	150	-100	1008	2.2	12.3	863	1	1201	1101
0	1	200	-150	588	2.2	22.2	2015	2	1223	1073
0	1	250	-200	166	2.2	18.3	1427	3	1243	1043
0	1	300	-250	61	2.2	18.2	1054	4	1279	1029
1	2	250	-100	1613	1.9	17.7	1600	1	1243	1143
1	2	300	-150	374	1.9	14.1	1484	2	1279	1129
1	2	350	-200	128	1.9	13.9	1268	3	1310	1110
1	2	400	-250	95	1.9	13.8	1888	4	1350	1100
2	3	350	-100	1346	1.8	11.8	1409.0	1	1310	1210
2	3	400	-150	333	1.8	11.6	1396.0	2	1350	1200
2	3	450	-200	244	1.8	11.5	2556.0	3	1402	1202
2	3	500	-250	128	1.8	11.6	2683.0	4	1422	1172
3	4	450	-100	2062	1.6	7.7	2430.0	1	1402	1302
3	4	500	-150	893	1.6	9.2	4207.0	2	1422	1272
3	4	550	-200	391	1.6	10.4	4611.0	3	1444	1244
3	4	600	-250	269	1.6	11.7	6349.0	4	1457	1207
4	5	550	-100	2812	2.0	3.8	2650.0	1	1444	1344
4	5	600	-150	686	2.0	3.5	2586.0	2	1457	1307
4	5	650	-200	399	2.0	4.3	3765.0	3	1454	1254
4	5	700	-250	215	2.0	3.1	4045.0	4	1437	1187
5	6	650	-100	1229	2.0	3.9	1159.0	1	1454	1354
5	6	700	-150	495	2.0	4.9	1866.0	2	1437	1287
5	6	750	-200	221	2.0	3.4	2081.0	3	1425	1225
5	6	800	-250	124	2.0	3.1	2331.0	4	1409	1159
6	7	750	-100	796	1.0	5.8	1501.0	1	1425	1325
6	7	800	-150	244	1.0	4.0	1840.0	2	1409	1259
6	7	850	-200	110	1.0	3.8	2068.0	3	1393	1193
6	7	900	-250	52	1.0	3.4	1959.0	4	1383	1133
7	8	850	-100	958	0.9	5.0	2007.0	1	1393	1293
7	8	900	-150	255	0.9	4.4	2135.0	2	1383	1233
7	8	950	-200	99	0.9	4.2	2071.0	3	1373	1173
7	8	1000	-250	55	0.9	5.4	2292.0	4	1360	1110
8	9	950	-100	1294	1.9	5.1	1283.0	1	1373	1273
8	9	1000	-150	303	1.9	4.7	1204.0	2	1360	1210
8	9	1050	-200	159	1.9	6.2	1580.0	3	1342	1142
8	9	1100	-250	94	1.9	5.8	1860.0	4	1331	1081
9	10	1050	-100	644	2.1	5.1	578.5	1	1342	1242
9	10	1100	-150	239	2.1	6.1	856.3	2	1331	1181
9	10	1150	-200	121	2.1	5.3	1089.0	3	1317	1117
9	10	1200	-250	67	2.1	6.8	1199.0	4	1300	1050
10	11	1150	-100	945	2.6	7.2	685.2	1	1317	1217
10	11	1200	-150	279	2.6	6.2	809.1	2	1300	1150
10	11	1250	-200	137	2.6	7.6	996.7	3	1290	1090
10	11	1300	-250	400	2.6	13.8	5793.0	4	1271	1021
11	12	1250	-100	571	3.4	5.9	316.5	1	1290	1190
11	12	1300	-150	243	3.4	7.2	538.1	2	1271	1121
11	12	1350	-200	672	3.4	13.9	3723.0	3	1258	1058
11	12	1400	-250	370	3.4	31.8	4107.0	4	1246	996
12	13	1350	-100	713	5.0	4.9	268.6	1	1258	1158
12	13	1400	-150	1561	5.0	12.1	2354.0	2	1246	1096
12	13	1450	-200	760	5.0	31.0	2866.0	3	1234	1034
12	13	1500	-250	34	5.0	36.7	257.8	4	1228	978
13	14	1450	-100	6142	5.0	10.5	2316.0	1	1234	1134
13	14	1500	-150	2214	5.0	30.6	3340.0	2	1228	1078
13	14	1550	-200	82	5.0	37.4	307.6	3	1251	1051
13	14	1600	-250	18	5.0	31.8	138.1	4	1257	1007
14	15	1550	-100	4649	5.6	29.9	1565.0	1	1251	1151
14	15	1600	-150	131	5.6	39.6	176.0	2	1257	1107
14	15	1650	-200	22	5.6	34.4	75.4	3	1260	1060
14	15	1700	-250	11	5.6	31.0	74.4	4	1254	1004
15	16	1650	-100	332	1.4	37.6	447.4	1	1260	1160
15	16	1700	-150	33	1.4	35.4	178.0	2	1254	1104
15	16	1750	-200	11	1.4	30.7	147.6	3	1247	1047
15	16	1800	-250	5	1.4	30.9	132.1	4	1250	1000
16	17	1750	-100	316	1.2	21.6	495.9	1	1247	1147
16	17	1800	-150	34	1.2	23.6	213.4	2	1250	1100
16	17	1850	-200	12	1.2	24.5	183.5	3	1277	1077
16	17	1900	-250	6	1.2	21.0	189.4	4	1298	1048
17	18	1850	-100	226	3.2	19.6	133.4	1	1277	1177
17	18	1900	-150	58	3.2	20.6	135.5	2	1298	1148
17	18	1950	-200	25	3.2	16.7	147.2	3	1315	1115
17	18	2000	-250	40	3.2	18.7	473.7	4	1331	1081
18	19	1950	-100	2006	2.7	23.4	1401	1	1315	1215
18	19	2000	-150	398	2.7	16.1	1113	2	1331	1181
18	19	2050	-200	573	2.7	19.5	3997	3	1317	1117
18	19	2100	-250	85	2.7	21.7	1185	4	1323	1073

19	20	2050	-100	393	0.8	11.4	925	1	1317	1217
19	20	2100	-150	339	0.8	16.4	3194	2	1323	1173
19	20	2150	-200	39	0.8	18.4	918	3	1311	1111
19	20	2200	-250	26	0.8	24.9	1240	4	1291	1041
20	21	2150	-100	586	0.9	12.3	1226	1	1311	1211
20	21	2200	-150	40	0.9	15.1	332	2	1291	1141
20	21	2250	-200	19	0.9	21.8	404	3	1267	1067
20	21	2300	-250	7	0.9	19.8	288	4	1266	1016
21	22	2250	-100	1147	2.2	24.5	983	1	1267	1167
21	22	2300	-150	202	2.2	22.9	694	2	1266	1116
21	22	2350	-200	56	2.2	17.9	480	3	1295	1095
21	22	2400	-250	37	2.2	15.4	642	4	1313	1063
22	23	2350	-100	1068	1.3	18.7	1550	1	1295	1195
22	23	2400	-150	178	1.3	16.2	1030	2	1313	1163
22	23	2450	-200	103	1.3	14.1	1488	3	1332	1132
22	23	2500	-250	61	1.3	12.9	1777	4	1346	1096
23	24	2450	-100	307	0.8	10.4	724	1	1332	1232
23	24	2500	-150	83	0.8	7.1	781	2	1346	1196
23	24	2550	-200	35	0.8	5.9	816	3	1358	1158
23	24	2600	-250	21	0.8	8.0	979	4	1365	1115
24	25	2550	-100	419	0.8	6.6	988	1	1358	1258
24	25	2600	-150	105	0.8	5.8	990	2	1365	1215
24	25	2650	-200	48	0.8	7.3	1129	3	1375	1175
24	25	2700	-250	66	0.8	10.1	3130	4	1391	1141
25	26	2650	-100	351	1.0	4.6	663	1	1375	1275
25	26	2700	-150	84	1.0	5.9	630	2	1391	1241
25	26	2750	-200	97	1.0	8.7	1821	3	1405	1205
26	27	2750	-100	301	1.1	5.5	515	1	1405	1305
26	27	2800	-150	246	1.1	8.9	1685	2	1388	1238
27	28	2850	-100	1062	1.2	8.2	1669.0	1	1362	1262

A-SP(m) 100 x-start 50
 N1-z(m) -100
 N2-z(m) -150
 N3-z(m) -200
 N4-z(m) -250

IP data of line K-1

Tx(A)	Tx(B)	x(m)	z(m)	Vp(mV)	Current(A)	M(%)	ρ (ohm-m)	N	Elevation(m)	Z-Depth(m)
20	19	1850	-100	734	1.9	10.5	728	1	1197	1097
20	19	1800	-150	50	1.9	10.1	199	2	1214	1064
20	19	1750	-200	18	1.9	9.5	176	3	1232	1032
20	19	1700	-250	10	1.9	10.4	205	4	1254	1004
19	18	1750	-100	519	2.3	12.4	426	1	1232	1132
19	18	1700	-150	121	2.3	11.4	397	2	1254	1104
19	18	1650	-200	58	2.3	12.9	471	3	1277	1077
19	18	1600	-250	74	2.3	15.3	1220	4	1293	1043
18	17	1650	-100	296	1.5	8.2	372	1	1277	1177
18	17	1600	-150	77	1.5	9.8	387	2	1293	1143
18	17	1550	-200	75	1.5	12.2	944	3	1275	1075
18	17	1500	-250	63	1.5	11.5	1578	4	1260	1010
17	16	1550	-100	119	1.6	6.9	140	1	1275	1175
17	16	1500	-150	82	1.6	9.4	385	2	1260	1110
17	16	1450	-200	59	1.6	7.2	694	3	1264	1064
17	16	1400	-250	35	1.6	7.8	834	4	1278	1028
16	15	1450	-100	780	6.6	7.9	223	1	1264	1164
16	15	1400	-150	454	6.6	7.1	519	2	1278	1128
16	15	1350	-200	250	6.6	7.3	714	3	1296	1096
16	15	1300	-250	150	6.6	9.4	858	4	1307	1057
15	14	1350	-100	1255	5.6	7.8	422	1	1296	1196
15	14	1300	-150	519	5.6	7.7	698	2	1307	1157
15	14	1250	-200	252	5.6	10.0	847	3	1298	1098
15	14	1200	-250	129	5.6	10.8	872	4	1289	1039
14	13	1250	-100	2001	3.4	10.4	1110	1	1298	1198
14	13	1200	-150	636	3.4	11.9	1411	2	1289	1139
14	13	1150	-200	274	3.4	12.4	1521	3	1290	1090
14	13	1100	-250	68	3.4	13.4	759	4	1301	1051
13	12	1150	-100	1593	2.0	9.6	1502	1	1290	1190
13	12	1100	-150	516	2.0	10.4	1944	2	1301	1151
13	12	1050	-200	109	2.0	11.5	1030	3	1306	1106
13	12	1000	-250	71	2.0	14.1	1332	4	1305	1055
12	11	1050	-100	1792	2.0	8.6	1689	1	1306	1206
12	11	1000	-150	262	2.0	9.8	988	2	1305	1155
12	11	950	-200	147	2.0	12.9	1386	3	1302	1102
12	11	900	-250	114	2.0	13.6	2149	4	1304	1054
11	10	950	-100	1267	2.8	9.7	853	1	1302	1202
11	10	900	-150	552	2.8	13.1	1486	2	1304	1154
11	10	850	-200	366	2.8	13.3	2462	3	1317	1117
11	10	800	-250	421	2.8	13.6	5674	4	1334	1084
10	9	850	-100	730	1.8	10.5	765	1	1317	1217
10	9	800	-150	346	1.8	11.1	1449	2	1334	1184
10	9	750	-200	337	1.8	11.1	3530	3	1351	1151
10	9	700	-250	164	1.8	12.9	3436	4	1353	1103
9	8	750	-100	856	1.8	9.7	896.6	1	1351	1251
9	8	700	-150	451	1.8	8.5	1890.0	2	1353	1203
9	8	650	-200	159	1.8	9.8	1662.0	3	1346	1146
9	8	600	-250	71	1.8	8.3	1482.0	4	1333	1083
8	7	650	-100	1778	2.4	13.0	1397.0	1	1346	1246
8	7	600	-150	470	2.4	12.7	1477.0	2	1333	1183
8	7	550	-200	181	2.4	12.1	1423.0	3	1320	1120
8	7	500	-250	84	2.4	12.9	1318.0	4	1319	1069
7	6	550	-100	528	1.0	12.1	995.5	1	1320	1220
7	6	500	-150	153	1.0	11.2	1154.0	2	1319	1169
7	6	450	-200	63	1.0	12.3	1182.0	3	1321	1121
7	6	400	-250	42	1.0	12.5	1585.0	4	1307	1057
6	5	450	-100	815	1.1	9.3	1397.0	1	1321	1221
6	5	400	-150	245	1.1	10.7	1679.0	2	1307	1157
6	5	350	-200	150	1.1	10.3	2572.0	3	1322	1122
6	5	300	-250	89	1.1	11.3	3052.0	4	1340	1090
5	4	350	-100	951	1.4	10.6	1281.0	1	1322	1222
5	4	300	-150	378	1.4	10.0	2035.0	2	1340	1190
5	4	250	-200	193	1.4	11.2	2602.0	3	1357	1157
4	3	250	-100	873	1.2	7.8	1372.0	1	1357	1257
4	3	200	-150	300	1.2	9.0	1887.0	2	1370	1220
3	2	150	-100	357	0.5	8.9	1346.0	1	1356	1256

A-SP(m) 100 x-start 50
 N1-z(m) -100
 N2-z(m) -150
 N3-z(m) -200
 N4-z(m) -250

IP data of line K-2

Tx(A)	Tx(B)	x(m)	z(m)	Vp(mV)	Current(A)	M(%)	ρ (ohm-m)	N	Elevation(m)	Z-Depth(m)
20	19	1850	-100	201	1.0	8.9	380	1	1211	1111
20	19	1800	-150	90	1.0	8.8	675	2	1230	1080
20	19	1750	-200	69	1.0	9.6	1296	3	1242	1042
20	19	1700	-250	37	1.0	9.2	1389	4	1244	994
19	18	1750	-100	342	1.6	8.6	404	1	1242	1142
19	18	1700	-150	128	1.6	9.7	605	2	1244	1094
19	18	1650	-200	57	1.6	10.0	668	3	1247	1047
19	18	1600	-250	21	1.6	10.0	484	4	1262	1012
18	17	1650	-100	300	3.5	10.4	162	1	1247	1147
18	17	1600	-150	74	3.5	10.9	159	2	1262	1112
18	17	1550	-200	26	3.5	11.6	141	3	1265	1065
18	17	1500	-250	32	3.5	15.1	340	4	1258	1008
17	16	1550	-100	343	4.5	10.0	144	1	1265	1165
17	16	1500	-150	72	4.5	9.8	121	2	1258	1108
17	16	1450	-200	82	4.5	13.4	344	3	1246	1046
17	16	1400	-250	50	4.5	17.3	423	4	1236	986
16	15	1450	-100	277	4.5	7.7	116	1	1246	1146
16	15	1400	-150	257	4.5	12.1	430	2	1236	1086
16	15	1350	-200	153	4.5	15.6	640	3	1231	1031
16	15	1300	-250	89	4.5	16.4	743	4	1236	986
15	14	1350	-100	728	4.0	10.6	343	1	1231	1131
15	14	1300	-150	268	4.0	13.4	505	2	1236	1086
15	14	1250	-200	156	4.0	15.0	733	3	1241	1041
15	14	1200	-250	81	4.0	16.0	767	4	1248	998
14	13	1250	-100	524	4.0	8.9	247	1	1241	1141
14	13	1200	-150	183	4.0	12.2	345	2	1248	1098
14	13	1150	-200	85	4.0	13.5	399	3	1255	1055
14	13	1100	-250	63	4.0	14.9	593	4	1262	1012
13	12	1150	-100	952	2.9	13.8	619	1	1255	1155
13	12	1100	-150	306	2.9	16.1	795	2	1262	1112
13	12	1050	-200	203	2.9	17.3	1318	3	1270	1070
13	12	1000	-250	121	2.9	15.9	1567	4	1297	1047
12	11	1050	-100	830	2.5	15.3	626	1	1270	1170
12	11	1000	-150	391	2.5	17.3	1178	2	1297	1147
12	11	950	-200	208	2.5	15.9	1571	3	1317	1117
12	11	900	-250	138	2.5	14.3	2085	4	1326	1076
11	10	950	-100	1537	3.0	15.6	966	1	1317	1217
11	10	900	-150	682	3.0	13.5	1714	2	1326	1176
11	10	850	-200	313	3.0	12.4	1967	3	1325	1125
11	10	800	-250	205	3.0	13.3	2572	4	1323	1073
10	9	850	-100	1439	3.0	10.8	904	1	1325	1225
10	9	800	-150	493	3.0	10.1	1238	2	1323	1173
10	9	750	-200	258	3.0	11.3	1619	3	1317	1117
10	9	700	-250	136	3.0	10.9	1705	4	1306	1056
9	8	750	-100	2071	3.0	9.8	1301.0	1	1317	1217
9	8	700	-150	798	3.0	11.7	2007.0	2	1306	1156
9	8	650	-200	335	3.0	11.5	2103.0	3	1296	1096
9	8	600	-250	154	3.0	12.5	1934.0	4	1285	1035
8	7	650	-100	2334	2.6	12.6	1692.0	1	1296	1196
8	7	600	-150	756	2.6	12.5	2191.0	2	1285	1135
8	7	550	-200	318	2.6	13.8	2308.0	3	1277	1077
8	7	500	-250	134	2.6	14.0	1936.0	4	1271	1021
7	6	550	-100	1052	1.3	9.3	1526.0	1	1277	1177
7	6	500	-150	360	1.3	10.9	2088.0	2	1271	1121
7	6	450	-200	138	1.3	11.7	1997.0	3	1282	1082
7	6	400	-250	85	1.3	11.8	2468.0	4	1295	1045
6	5	450	-100	1803	1.5	11.6	2266.0	1	1282	1182
6	5	400	-150	504	1.5	12.8	2533.0	2	1295	1145
6	5	350	-200	243	1.5	13.0	3057.0	3	1310	1110
6	5	300	-250	68	1.5	11.9	1697.0	4	1329	1079
5	4	350	-100	4082	3.7	11.2	2080.0	1	1310	1210
5	4	300	-150	1327	3.7	12.1	2706.0	2	1329	1179
5	4	250	-200	308	3.7	10.8	1571.0	3	1351	1151
4	3	250	-100	4546	3.7	14.1	2316.0	1	1351	1251
4	3	200	-150	621	3.7	11.8	1266.0	2	1371	1221
3	2	150	-100	219	0.5	11.0	824.2	1	1389	1289

A-SP(m) 100 x-start 50.0
 N1-z(m) -100
 N2-z(m) -150
 N3-z(m) -200
 N4-z(m) -250

IP data of line K-5

Tx(A)	Tx(B)	x(m)	z(m)	Vp(mV)	Current(A)	M(%)	ρ (ohm-m)	N	Elevation(m)	Z-Depth(m)
20	19	1850	-100	916.8	0.9	20.9	1920	1	1274	1174
20	19	1800	-150	19.3	0.9	21.4	162	2	1268	1118
20	19	1750	-200	2.1	0.9	-14.5	44	3	1270	1070
20	19	1700	-250	0.4	0.9	-6.5	17	4	1261	1011
19	18	1750	-100	151.9	0.9	23.4	318	1	1270	1170
19	18	1700	-150	17.2	0.9	35.7	144	2	1261	1111
19	18	1650	-200	2.4	0.9	15.9	50	3	1236	1036
19	18	1600	-250	1.5	0.9	20.4	61	4	1210	960
18	17	1650	-100	33.6	1.2	31.3	53	1	1236	1136
18	17	1600	-150	3.4	1.2	13.4	21	2	1210	1060
18	17	1550	-200	1.2	1.2	15.7	19	3	1193	993
18	17	1500	-250	0.6	1.2	66.5	20	4	1192	942
16	15	1550	-100	546.5	1.3	14.0	793	1	1193	1093
16	15	1500	-150	100.2	1.3	18.2	581	2	1192	1042
16	15	1450	-200	75.4	1.3	20.9	1093	3	1189	989
16	15	1400	-250	88.7	1.3	18.0	2571	4	1167	917
16	15	1450	-100	546.4	1.3	14.0	792	1	1189	1089
16	15	1400	-150	100.1	1.3	18.0	581	2	1167	1017
16	15	1350	-200	75.3	1.3	21.0	1092	3	1142	942
16	15	1300	-250	88.5	1.3	17.9	2566	4	1133	883
15	14	1350	-100	95.3	1.3	7.5	138	1	1142	1042
15	14	1300	-150	24.3	1.3	9.4	141	2	1133	983
15	14	1250	-200	25.7	1.3	5.4	372	3	1135	935
15	14	1200	-250	28.1	1.3	5.3	816	4	1137	887
14	13	1250	-100	211.8	2.2	11.0	181	1	1135	1035
14	13	1200	-150	128.6	2.2	11.9	441	2	1137	987
14	13	1150	-200	119.8	2.2	12.7	1027	3	1151	951
14	13	1100	-250	50.4	2.2	13.1	864	4	1168	918
13	12	1150	-100	344.5	3.4	7.8	191	1	1151	1051
13	12	1100	-150	238.6	3.4	9.9	529	2	1168	1018
13	12	1050	-200	81.3	3.4	9.8	451	3	1180	980
13	12	1000	-250	35.8	3.4	6.0	397	4	1178	928
12	11	1050	-100	6797.2	3.2	23.6	4004	1	1180	1080
12	11	1000	-150	814.6	3.2	22.1	1919	2	1178	1028
12	11	950	-200	289.7	3.2	26.8	1707	3	1173	973
12	11	900	-250	192.7	3.2	32.9	2270	4	1191	941
11	10	950	-100	1743.0	1.6	18.1	2054	1	1173	1073
11	10	900	-150	479.1	1.6	20.8	2258	2	1191	1041
11	10	850	-200	280.8	1.6	28.6	3308	3	1212	1012
11	10	800	-250	111.3	1.6	33.0	2624	4	1226	976
10	9	850	-100	964.0	1.2	16.1	1514	1	1212	1112
10	9	800	-150	494.7	1.2	25.3	3108	2	1226	1076
10	9	750	-200	175.1	1.2	30.7	2750	3	1241	1041
9	8	750	-100	1360.0	1.5	18.2	1709.0	1	1241	1141
9	8	700	-150	325.3	1.5	26.9	1636.0	2	1255	1105
8	7	650	-100	406.2	0.4	26.8	1914.0	1	1273	1173

A-SP(m) 100 x-start 50.0
 N1-z(m) -100
 N2-z(m) -150
 N3-z(m) -200
 N4-z(m) -250

IP data of line K-4

Tx(A)	Tx(B)	x(m)	z(m)	Vp(mV)	Current(A)	M(%)	ρ (ohm-m)	N	Elevation(m)	Z-Depth(m)
20	19	1850	-100	916.8	0.6	9.3	2880	1	1220	1120
20	19	1800	-150	351.9	0.6	12.9	4422	2	1209	1059
20	19	1750	-200	65.4	0.6	13.5	2053	3	1202	1002
20	19	1700	-250	25.1	0.6	18.2	1574	4	1201	951
19	18	1750	-100	998.5	0.6	9.9	3137	1	1202	1102
19	18	1700	-150	100.8	0.6	10.7	1266	2	1201	1051
19	18	1650	-200	34.0	0.6	16.4	1069	3	1199	999
19	18	1600	-250	11.7	0.6	16.8	737	4	1196	946
18	17	1650	-100	440.2	1.0	11.4	830	1	1199	1099
18	17	1600	-150	105.8	1.0	15.4	798	2	1196	1046
18	17	1550	-200	34.2	1.0	14.5	645	3	1185	985
18	17	1500	-250	43.2	1.0	15.1	1627	4	1162	912
17	16	1550	-100	653.2	1.2	13.5	1026	1	1185	1085
17	16	1500	-150	107.3	1.2	15.1	674	2	1162	1012
17	16	1450	-200	147.5	1.2	15.4	2316	3	1146	946
17	16	1400	-250	75.3	1.2	16.3	2365	4	1157	907
16	15	1450	-100	280.8	1.3	12.9	407	1	1146	1046
16	15	1400	-150	287.0	1.3	12.4	1665	2	1157	1007
16	15	1350	-200	129.8	1.3	13.9	1883	3	1181	981
16	15	1300	-250	80.9	1.3	14.1	2345	4	1200	950
15	14	1350	-100	1024.7	1.7	9.0	1136	1	1181	1081
15	14	1300	-150	321.6	1.7	10.2	1427	2	1200	1050
15	14	1250	-200	163.8	1.7	10.8	1816	3	1201	1001
15	14	1200	-250	58.1	1.7	12.4	1288	4	1187	937
14	13	1250	-100	695.6	1.8	11.8	729	1	1201	1101
14	13	1200	-150	233.2	1.8	13.2	977	2	1187	1037
14	13	1150	-200	67.3	1.8	15.0	704	3	1173	973
14	13	1100	-250	26.5	1.8	14.3	555	4	1159	909
13	12	1150	-100	1651.2	1.0	10.0	3112	1	1173	1073
13	12	1100	-150	302.9	1.0	12.1	2283	2	1159	1009
13	12	1050	-200	92.6	1.0	10.6	1745	3	1151	951
13	12	1000	-250	17.1	1.0	9.7	644	4	1157	907
12	11	1050	-100	1277.0	0.9	13.2	2676	1	1151	1051
12	11	1000	-150	294.1	0.9	12.3	2464	2	1157	1007
12	11	950	-200	44.1	0.9	12.2	923	3	1176	976
12	11	900	-250	39.3	0.9	10.8	1645	4	1193	943
11	10	950	-100	2474.1	1.2	9.5	3886	1	1176	1076
11	10	900	-150	235.1	1.2	9.9	1477	2	1193	1043
11	10	850	-200	138.9	1.2	9.5	2181	3	1207	1007
11	10	800	-250	71.0	1.2	14.5	2232	4	1222	972
10	9	850	-100	637.3	1.0	10.7	1201	1	1207	1107
10	9	800	-150	174.0	1.0	10.8	1313	2	1222	1072
10	9	750	-200	78.9	1.0	16.4	1486	3	1236	1036
9	8	750	-100	331.9	1.2	9.9	521.3	1	1236	1136
9	8	700	-150	125.0	1.2	14.7	785.1	2	1244	1094
8	7	650	-100	62.4	0.4	11.0	294.1	1	1253	1153

A-SP(m) 100 x-start 50.0
 N1-z(m) -100
 N2-z(m) -150
 N3-z(m) -200
 N4-z(m) -250

IP data of line K-5

Tx(A)	Tx(B)	x(m)	z(m)	Vp(mV)	Current(A)	M(%)	ρ (ohm-m)	N	Elevation(m)	Z-Depth(m)
20	19	1850	-100	916.8	0.9	20.9	1920	1	1274	1174
20	19	1800	-150	19.3	0.9	21.4	162	2	1268	1118
20	19	1750	-200	2.1	0.9	-14.5	44	3	1270	1070
20	19	1700	-250	0.4	0.9	-6.5	17	4	1261	1011
19	18	1750	-100	151.9	0.9	23.4	318	1	1270	1170
19	18	1700	-150	17.2	0.9	35.7	144	2	1261	1111
19	18	1650	-200	2.4	0.9	15.9	50	3	1236	1036
19	18	1600	-250	1.5	0.9	20.4	61	4	1210	960
18	17	1650	-100	33.6	1.2	31.3	53	1	1236	1136
18	17	1600	-150	3.4	1.2	13.4	21	2	1210	1060
18	17	1550	-200	1.2	1.2	15.7	19	3	1193	993
18	17	1500	-250	0.6	1.2	66.5	20	4	1192	942
16	15	1550	-100	546.5	1.3	14.0	793	1	1193	1093
16	15	1500	-150	100.2	1.3	18.2	581	2	1192	1042
16	15	1450	-200	75.4	1.3	20.9	1093	3	1189	989
16	15	1400	-250	88.7	1.3	18.0	2571	4	1167	917
16	15	1450	-100	546.4	1.3	14.0	792	1	1189	1089
16	15	1400	-150	100.1	1.3	18.0	581	2	1167	1017
16	15	1350	-200	75.3	1.3	21.0	1092	3	1142	942
16	15	1300	-250	88.5	1.3	17.9	2566	4	1133	883
15	14	1350	-100	95.3	1.3	7.5	138	1	1142	1042
15	14	1300	-150	24.3	1.3	9.4	141	2	1133	983
15	14	1250	-200	25.7	1.3	5.4	372	3	1135	935
15	14	1200	-250	28.1	1.3	5.3	816	4	1137	887
14	13	1250	-100	211.8	2.2	11.0	181	1	1135	1035
14	13	1200	-150	128.6	2.2	11.9	441	2	1137	987
14	13	1150	-200	119.8	2.2	12.7	1027	3	1151	951
14	13	1100	-250	50.4	2.2	13.1	864	4	1168	918
13	12	1150	-100	344.5	3.4	7.8	191	1	1151	1051
13	12	1100	-150	238.6	3.4	9.9	529	2	1168	1018
13	12	1050	-200	81.3	3.4	9.8	451	3	1180	980
13	12	1000	-250	35.8	3.4	6.0	397	4	1178	928
12	11	1050	-100	6797.2	3.2	23.6	4004	1	1180	1080
12	11	1000	-150	814.6	3.2	22.1	1919	2	1178	1028
12	11	950	-200	289.7	3.2	26.8	1707	3	1173	973
12	11	900	-250	192.7	3.2	32.9	2270	4	1191	941
11	10	950	-100	1743.0	1.6	18.1	2054	1	1173	1073
11	10	900	-150	479.1	1.6	20.8	2258	2	1191	1041
11	10	850	-200	280.8	1.6	28.6	3308	3	1212	1012
11	10	800	-250	111.3	1.6	33.0	2624	4	1226	976
10	9	850	-100	964.0	1.2	16.1	1514	1	1212	1112
10	9	800	-150	494.7	1.2	25.3	3108	2	1226	1076
10	9	750	-200	175.1	1.2	30.7	2750	3	1241	1041
9	8	750	-100	1360.0	1.5	18.2	1709.0	1	1241	1141
9	8	700	-150	325.3	1.5	26.9	1636.0	2	1255	1105
8	7	650	-100	406.2	0.4	26.8	1914.0	1	1273	1173

A-SP(m) 100 x-start 50
 N1-z(m) -100
 N2-z(m) -150
 N3-z(m) -200
 N4-z(m) -250

IP data of line K-6

Tx(A)	Tx(B)	x(m)	z(m)	Vp(mV)	Current(A)	M(%)	ρ (ohm-m)	N	Elevation(m)	Z-Depth(m)
20	19	1850	-100	273	4.0	16.4	129	1	1269	1169
20	19	1800	-150	53	4.0	29.5	100	2	1272	1122
20	19	1750	-200	11	4.0	29.5	51	3	1278	1078
20	19	1700	-250	8	4.0	32.3	79	4	1279	1029
19	18	1750	-100	361	2.3	16.4	296	1	1278	1178
19	18	1700	-150	62	2.3	11.7	204	2	1279	1129
19	18	1650	-200	40	2.3	14.1	328	3	1277	1077
19	18	1600	-250	42	2.3	20.5	693	4	1272	1022
18	17	1650	-100	779	0.6	16.1	2448	1	1277	1177
18	17	1600	-150	215	0.6	8.7	2696	2	1272	1122
18	17	1550	-200	134	0.6	19.2	4199	3	1266	1066
18	17	1500	-250	78	0.6	21.9	4930	4	1262	1012
17	16	1550	-100	685	0.6	9.7	2153	1	1266	1166
17	16	1500	-150	348	0.6	18.3	4377	2	1262	1112
17	16	1450	-200	167	0.6	21.4	5234	3	1259	1059
17	16	1400	-250	30	0.6	17.9	1888	4	1252	1002
16	15	1450	-100	960	1.1	18.6	1644	1	1259	1159
16	15	1400	-150	290	1.1	15.4	1985	2	1252	1102
16	15	1350	-200	40	1.1	11.9	682	3	1237	1037
16	15	1300	-250	16	1.1	9.5	553	4	1219	969
15	14	1350	-100	866	1.0	23.8	1632	1	1237	1137
15	14	1300	-150	88	1.0	17.0	664	2	1219	1069
15	14	1250	-200	32	1.0	17.2	595	3	1198	998
15	14	1200	-250	25	1.0	18.5	940	4	1175	925
14	13	1250	-100	544	1.0	15.9	1026	1	1198	1098
14	13	1200	-150	76	1.0	12.7	572	2	1175	1025
14	13	1150	-200	31	1.0	10.0	583	3	1150	950
14	13	1100	-250	48	1.0	23.1	1805	4	1120	870
13	12	1150	-100	443	1.0	18.4	834	1	1150	1050
13	12	1100	-150	224	1.0	19.7	1691	2	1120	970
13	12	1050	-200	81	1.0	13.4	1521	3	1110	910
13	12	1000	-250	29	1.0	10.8	1105	4	1119	869
12	11	1050	-100	405	1.4	3.4	545	1	1110	1010
12	11	1000	-150	164	1.4	14.2	881	2	1119	969
12	11	950	-200	53	1.4	16.9	716	3	1136	936
12	11	900	-250	70	1.4	25.6	1879	4	1155	905
11	10	950	-100	1059	1.5	13.7	1331	1	1136	1036
11	10	900	-150	195	1.5	16.7	980	2	1155	1005
11	10	850	-200	148	1.5	23.7	1863	3	1175	975
11	10	800	-250	50	1.5	26.5	1249	4	1188	938
10	9	850	-100	1465	1.4	17.1	1973	1	1175	1075
10	9	800	-150	864	1.4	28.7	4652	2	1188	1038
10	9	750	-200	166	1.4	30.7	2234	3	1208	1008
9	8	750	-100	2520	1.2	28.9	3959.0	1	1208	1108
9	8	700	-150	380	1.2	33.0	2388.0	2	1228	1078
8	7	650	-100	910	1.6	23.1	1072.0	1	1231	1131

A-SP(m) 100 x-start 50
 N1-z(m) -100
 N2-z(m) -150
 N3-z(m) -200
 N4-z(m) -250

IP data of line T-1

Tx(A)	Tx(B)	x(m)	z(m)	Vp(mV)	Current(A)	M(%)	ρ (ohm-m)	N	Elevation(m)	Z-Depth(m)
0	1	150	-100	2223	6.0	37.5	699	1	1037	937
0	1	200	-150	191	6.0	56.4	240	2	1044	894
0	1	250	-200	72	6.0	60.5	226	3	1050	850
0	1	300	-250	27	6.0	52.4	169	4	1056	806
1	2	250	-100	149	1.0	54.9	282	1	1050	950
1	2	300	-150	39	1.0	61.0	293	2	1056	906
1	2	350	-200	12	1.0	50.3	227	3	1062	862
1	2	400	-250	5	1.0	50.6	193	4	1075	825
2	3	350	-100	112	0.9	39.1	236	1	1062	962
2	3	400	-150	22	0.9	38.6	181	2	1075	925
2	3	450	-200	6	0.9	36.9	128	3	1092	892
2	3	500	-250	4	0.9	40.0	172	4	1116	866
3	4	450	-100	400	1.3	30.3	580	1	1092	992
3	4	500	-150	74	1.3	32.9	430	2	1116	966
3	4	550	-200	41	1.3	38.5	591	3	1142	942
3	4	600	-250	31	1.3	27.3	887	4	1168	918
4	5	550	-100	158	1.3	42.7	230	1	1142	1042
4	5	600	-150	65	1.3	47.2	375	2	1168	1018
4	5	650	-200	43	1.3	35.6	624	3	1174	974
4	5	700	-250	16	1.3	34.8	457	4	1177	927
5	6	650	-100	692	0.9	40.1	1450	1	1174	1074
5	6	700	-150	281	0.9	29.3	2350	2	1177	1027
5	6	750	-200	77	0.9	26.5	1619	3	1175	975
5	6	800	-250	25	0.9	23.9	1028	4	1178	928
6	7	750	-100	355	0.5	26.1	1339	1	1175	1075
6	7	800	-150	58	0.5	20.2	880	2	1178	1028
6	7	850	-200	15	0.5	17.1	566	3	1177	977
6	7	900	-250	6	0.5	21.0	428	4	1180	930
7	8	850	-100	254	0.5	17.8	957	1	1177	1077
7	8	900	-150	43	0.5	14.9	646	2	1180	1030
7	8	950	-200	13	0.5	19.9	478	3	1180	980
7	8	1000	-250	12	0.5	22.6	925	4	1177	927
8	9	950	-100	249	0.7	5.6	672	1	1180	1080
8	9	1000	-150	47	0.7	8.1	506	2	1177	1027
8	9	1050	-200	35	0.7	11.0	956	3	1186	986
8	9	1100	-250	35	0.7	9.3	1879	4	1198	948
9	10	1050	-100	94	0.6	10.1	295	1	1186	1086
9	10	1100	-150	37	0.6	12.9	460	2	1198	1048
9	10	1150	-200	29	0.6	11.5	919	3	1212	1012
9	10	1200	-250	13	0.6	10.1	827	4	1222	972
10	11	1150	-100	172	0.6	10.2	540	1	1212	1112
10	11	1200	-150	74	0.6	9.9	926	2	1222	1072
10	11	1250	-200	25	0.6	9.2	771	3	1234	1034
10	11	1300	-250	19	0.6	5.8	1193	4	1247	997
11	12	1250	-100	922	0.9	10.2	1930.0	1	1234	1134
11	12	1300	-150	150	0.9	11.3	1254.0	2	1247	1097
11	12	1350	-200	93	0.9	8.4	1942.0	3	1248	1048
11	12	1400	-250	47	0.9	14.7	1953.0	4	1251	1001
12	13	1350	-100	405	0.5	9.3	152.6	1	1248	1148
12	13	1400	-150	170	0.5	8.3	255.8	2	1251	1101
12	13	1450	-200	75	0.5	14.4	283.6	3	1260	1060
12	13	1500	-250	83	0.5	17.0	623.3	4	1262	1012
13	14	1450	-100	850	0.5	8.2	3205.0	1	1260	1160
13	14	1500	-150	254	0.5	13.7	3825.0	2	1262	1112
13	14	1550	-200	204	0.5	15.8	7686.0	3	1258	1058
13	14	1600	-250	94	0.5	29.3	7085.0	4	1253	1003
14	15	1550	-100	1106	0.6	12.8	3476.0	1	1258	1158
14	15	1600	-150	521	0.6	14.8	6552.0	2	1253	1103
14	15	1650	-200	191	0.6	28.1	6012.0	3	1259	1059
14	15	1700	-250	32	0.6	21.0	1998.0	4	1261	1011
15	16	1650	-100	1579	0.6	14.9	4961.0	1	1259	1159
15	16	1700	-150	431	0.6	28.0	5417.0	2	1261	1111
15	16	1750	-200	64	0.6	21.5	2023.0	3	1262	1062
16	17	1750	-100	746	0.8	31.2	1758.0	1	1262	1162
16	17	1800	-150	87	0.8	27.8	816.9	2	1262	1112
17	18	1850	-100	398	0.7	27.7	1071.0	1	1260	1160

A-SP(m) 100 x-start 50
 N1-z(m) -100
 N2-z(m) -150
 N3-z(m) -200
 N4-z(m) -250

IP data of line T-2

Tx(A)	Tx(B)	x(m)	z(m)	Vp(mV)	Current(A)	M(%)	ρ (ohm-m)	N	Elevation(m)	Z-Depth(m)
0	1	150	-100	629	0.6	67.3	1976	1	1002	902
0	1	200	-150	19	0.6	78.4	234	2	1016	866
0	1	250	-200	4	0.6	52.8	136	3	1039	839
0	1	300	-250	2	0.6	53.5	141	4	1061	811
1	2	250	-100	302	0.7	59.4	812	1	1039	939
1	2	300	-150	35	0.7	58.2	374	2	1061	911
1	2	350	-200	14	0.7	56.6	386	3	1077	877
1	2	400	-250	6	0.7	45.8	326	4	1084	834
2	3	350	-100	112	0.7	57.6	303	1	1077	977
2	3	400	-150	36	0.7	51.7	387	2	1084	934
2	3	450	-200	9	0.7	39.6	254	3	1088	888
2	3	500	-250	2	0.7	32.1	132	4	1092	842
3	4	450	-100	709	0.9	27.1	1485	1	1088	988
3	4	500	-150	74	0.9	29.3	618	2	1092	942
3	4	550	-200	13	0.9	28.3	271	3	1099	899
3	4	600	-250	13	0.9	37.8	531	4	1114	864
4	5	550	-100	272	0.9	29.0	570	1	1099	999
4	5	600	-150	37	0.9	28.9	306	2	1114	964
4	5	650	-200	34	0.9	38.5	708	3	1150	950
4	5	700	-250	14	0.9	23.3	595	4	1173	923
5	6	650	-100	73	0.9	43.5	152	1	1150	1050
5	6	700	-150	50	0.9	52.1	421	2	1173	1023
5	6	750	-200	18	0.9	38.0	384	3	1167	967
5	6	800	-250	14	0.9	39.6	566	4	1153	903
6	7	750	-100	1046	1.2	39.6	1644	1	1167	1067
6	7	800	-150	295	1.2	25.6	1855	2	1153	1003
6	7	850	-200	186	1.2	26.8	2917	3	1140	940
6	7	900	-250	52	1.2	29.8	1644	4	1108	858
7	8	850	-100	956	1.2	12.6	1501	1	1140	1040
7	8	900	-150	312	1.2	13.7	1959	2	1108	958
7	8	950	-200	72	1.2	17.5	1137	3	1100	900
7	8	1000	-250	26	1.2	19.3	825	4	1102	852
8	9	950	-100	820	1.2	15.5	1287	1	1100	1000
8	9	1000	-150	150	1.2	20.8	945	2	1102	952
8	9	1050	-200	48	1.2	22.0	747	3	1096	896
8	9	1100	-250	42	1.2	21.3	1320	4	1072	822
9	10	1050	-100	249	0.9	9.6	522	1	1096	996
9	10	1100	-150	44	0.9	9.0	366	2	1072	922
9	10	1150	-200	33	0.9	8.6	686	3	1081	881
9	10	1200	-250	13	0.9	8.1	527	4	1095	845
10	11	1150	-100	165	1.0	12.0	311	1	1081	981
10	11	1200	-150	96	1.0	12.2	721	2	1095	945
10	11	1250	-200	34	1.0	11.5	642	3	1095	895
10	11	1300	-250	51	1.0	12.7	1934	4	1098	848
11	12	1250	-100	336	1.0	10.9	633.1	1	1095	995
11	12	1300	-150	78	1.0	11.2	591.4	2	1098	948
11	12	1350	-200	61	1.0	12.8	1156.0	3	1104	904
11	12	1400	-250	18	1.0	14.4	686.0	4	1103	853
12	13	1350	-100	655	0.6	12.6	2058.0	1	1104	1004
12	13	1400	-150	254	0.6	15.0	3197.0	2	1103	953
12	13	1450	-200	61	0.6	16.8	1917.0	3	1098	898
12	13	1500	-250	130	0.6	17.1	8180.0	4	1098	848
13	14	1450	-100	720	0.6	7.7	2263.0	1	1098	998
13	14	1500	-150	147	0.6	9.8	1849.0	2	1098	948
13	14	1550	-200	288	0.6	10.3	9058.0	3	1123	923
13	14	1600	-250	56	0.6	16.1	3516.0	4	1149	899
14	15	1550	-100	403	1.7	8.3	446.8	1	1123	1023
14	15	1600	-150	698	1.7	8.3	3097.0	2	1149	999
14	15	1650	-200	116	1.7	15.0	1283.0	3	1153	953
14	15	1700	-250	26	1.7	17.6	582.6	4	1138	888
15	16	1650	-100	11074	2.2	11.3	9488.0	1	1153	1053
15	16	1700	-150	1083	2.2	17.9	3711.0	2	1138	988
15	16	1750	-200	181	2.2	20.0	1551.0	3	1134	934
16	17	1750	-100	413	0.5	15.6	1558.0	1	1134	1034
16	17	1800	-150	49	0.5	18.8	742.7	2	1132	982
17	18	1850	-100	286	0.4	19.3	1349.0	1	1141	1041

A-SP(m) 100 x-start 50
 N1-z(m) -100
 N2-z(m) -150
 N3-z(m) -200
 N4-z(m) -250

IP data of line T-3

Tx(A)	Tx(B)	x(m)	z(m)	Vp(mV)	Current(A)	M(%)	ρ (ohm-m)	N	Elevation(m)	Z-Depth(m)
0	1	150	-100	667	1.6	41.6	786	1	990	890
0	1	200	-150	27	1.6	47.7	126	2	1014	864
0	1	250	-200	2	1.6	57.2	21	3	1036	836
0	1	300	-250	3	1.6	39.2	61	4	1042	792
1	2	250	-100	557	1.5	60.8	700	1	1036	936
1	2	300	-150	18	1.5	68.8	90	2	1042	892
1	2	350	-200	24	1.5	50.4	302	3	1018	818
1	2	400	-250	14	1.5	46.8	347	4	1007	757
2	3	350	-100	47	1.0	83.0	88	1	1018	918
2	3	400	-150	50	1.0	59.5	374	2	1007	857
2	3	450	-200	23	1.0	53.7	441	3	996	796
2	3	500	-250	8	1.0	60.5	316	4	988	738
3	4	450	-100	552	0.8	22.1	1300	1	996	896
3	4	500	-150	131	0.8	28.3	1234	2	988	838
3	4	550	-200	30	0.8	46.6	715	3	978	778
3	4	600	-250	5	0.8	51.3	250	4	980	730
4	5	550	-100	1157	1.0	19.5	2181	1	978	878
4	5	600	-150	177	1.0	39.2	1333	2	980	830
4	5	650	-200	28	1.0	40.8	537	3	983	783
4	5	700	-250	14	1.0	41.9	512	4	978	728
5	6	650	-100	766	1.8	40.4	802	1	983	883
5	6	700	-150	84	1.8	42.8	351	2	978	828
5	6	750	-200	38	1.8	45.6	397	3	977	777
5	6	800	-250	24	1.8	39.0	512	4	987	737
6	7	750	-100	99	1.0	56.4	187	1	977	877
6	7	800	-150	21	1.0	43.6	159	2	987	837
6	7	850	-200	12	1.0	42.6	234	3	997	797
6	7	900	-250	10	1.0	38.9	390	4	1006	756
7	8	850	-100	369	0.5	27.9	1393	1	997	897
7	8	900	-150	144	0.5	33.0	2166	2	1006	856
7	8	950	-200	82	0.5	33.8	3108	3	1010	810
7	8	1000	-250	21	0.5	39.6	1585	4	1009	759
8	9	950	-100	477	0.6	21.6	1498	1	1010	910
8	9	1000	-150	212	0.6	26.9	2665	2	1009	859
8	9	1050	-200	45	0.6	34.7	1420	3	1008	808
8	9	1100	-250	11	0.6	29.5	717	4	1010	760
9	10	1050	-100	2611	2.6	15.9	1893	1	1008	908
9	10	1100	-150	392	2.6	27.2	1136	2	1010	860
9	10	1150	-200	93	2.6	23.4	675	3	1020	820
9	10	1200	-250	98	2.6	28.8	1420	4	1040	790
10	11	1150	-100	677	2.8	16.6	456	1	1020	920
10	11	1200	-150	138	2.8	13.6	372	2	1040	890
10	11	1250	-200	135	2.8	19.0	911	3	1061	861
10	11	1300	-250	84	2.8	19.3	1128	4	1064	814
11	12	1250	-100	415	1.1	11.7	710.8	1	1061	961
11	12	1300	-150	189	1.1	14.6	1298.0	2	1064	914
11	12	1350	-200	89	1.1	13.6	1521.0	3	1057	857
11	12	1400	-250	83	1.1	14.7	2852.0	4	1049	799
12	13	1350	-100	598	1.1	14.8	1024.0	1	1057	957
12	13	1400	-150	183	1.1	15.5	1252.0	2	1049	899
12	13	1450	-200	133	1.1	17.8	2287.0	3	1047	847
12	13	1500	-250	28	1.1	21.9	974.1	4	1052	802
13	14	1450	-100	539	0.8	16.2	1270.0	1	1047	947
13	14	1500	-150	176	0.8	14.6	1663.0	2	1052	902
13	14	1550	-200	30	0.8	17.7	716.1	3	1045	845
13	14	1600	-250	13	0.8	13.5	623.3	4	1040	790
14	15	1550	-100	632	0.5	17.1	2383.0	1	1045	945
14	15	1600	-150	72	0.5	22.8	1083.0	2	1040	890
14	15	1650	-200	30	0.5	18.9	1142.0	3	1057	857
14	15	1700	-250	17	0.5	24.4	1261.0	4	1060	810
15	16	1650	-100	199	0.8	17.4	469.8	1	1057	957
15	16	1700	-150	69	0.8	13.9	650.8	2	1060	910
15	16	1750	-200	35	0.8	19.6	830.2	3	1053	853
16	17	1750	-100	215	0.6	11.7	675.3	1	1053	953
16	17	1800	-150	65	0.6	18.8	814.2	2	1049	899
17	18	1850	-100	261	0.7	15.7	702	1	1054	904

A-SP(m) 100 x-start 50
 N1-z(m) -100
 N2-z(m) -150
 N3-z(m) -200
 N4-z(m) -250

IP data of line T-4

Tx(A)	Tx(B)	x(m)	z(m)	Vp(mV)	Current(A)	M(%)	ρ (ohm-m)	N	Elevation(m)	Z-Depth(m)
0	1	150	-100	2149	1.8	20.4	2251	1	963	863
0	1	200	-150	376	1.8	33.2	1574	2	972	822
0	1	250	-200	29	1.8	52.1	304	3	984	784
0	1	300	-250	6	1.8	20.8	133	4	997	747
1	2	250	-100	1955	3.6	26.5	1024	1	984	884
1	2	300	-150	117	3.6	51.8	245	2	997	847
1	2	350	-200	21	3.6	19.7	108	3	1000	800
1	2	400	-250	16	3.6	35.7	165	4	998	748
2	3	350	-100	97	1.1	42.9	166	1	1000	900
2	3	400	-150	14	1.1	15.2	97	2	998	848
2	3	450	-200	10	1.1	24.4	169	3	1001	801
2	3	500	-250	5	1.1	42.3	172	4	1027	777
3	4	450	-100	15	0.9	18.5	32	1	1001	901
3	4	500	-150	9	0.9	22.9	79	2	1027	877
3	4	550	-200	4	0.9	40.5	77	3	1052	852
3	4	600	-250	0	0.9	-15.2	14	4	1058	808
4	5	550	-100	920	0.8	18.4	2168	1	1052	952
4	5	600	-150	166	0.8	41.5	1567	2	1058	908
4	5	650	-200	7	0.8	25.3	170	3	1091	891
4	5	700	-250	11	0.8	35.9	502	4	1108	858
5	6	650	-100	695	0.8	45.0	1636	1	1091	991
5	6	700	-150	22	0.8	53.7	204	2	1108	958
5	6	750	-200	24	0.8	18.8	576	3	1111	911
5	6	800	-250	20	0.8	39.1	939	4	1099	849
6	7	750	-100	35	0.5	37.8	130	1	1111	1011
6	7	800	-150	21	0.5	39.3	313	2	1099	949
6	7	850	-200	13	0.5	39.5	480	3	1084	884
6	7	900	-250	5	0.5	26.4	406	4	1071	821
7	8	850	-100	628	0.6	35.1	1974	1	1084	984
7	8	900	-150	223	0.6	37.1	2808	2	1071	921
7	8	950	-200	63	0.6	27.7	1995	3	1079	879
7	8	1000	-250	35	0.6	33.5	2182	4	1085	835
8	9	950	-100	432	0.8	39.6	1017	1	1079	979
8	9	1000	-150	72	0.8	29.7	681	2	1085	935
8	9	1050	-200	35	0.8	34.0	823	3	1076	876
8	9	1100	-250	14	0.8	39.5	670	4	1082	832
9	10	1050	-100	266	0.7	26.8	716	1	1076	976
9	10	1100	-150	100	0.7	30.5	1080	2	1082	932
9	10	1150	-200	35	0.7	36.8	934	3	1104	904
9	10	1200	-250	15	0.7	30.1	829	4	1131	881
10	11	1150	-100	656	0.8	23.3	1545	1	1104	1004
10	11	1200	-150	146	0.8	33.0	1377	2	1131	981
10	11	1250	-200	49	0.8	26.0	1147	3	1146	946
10	11	1300	-250	34	0.8	30.8	1592	4	1164	914
11	12	1250	-100	539	0.8	27.2	1271.0	1	1146	1046
11	12	1300	-150	111	0.8	20.2	1044.0	2	1164	1014
11	12	1350	-200	60	0.8	24.0	1417.0	3	1183	983
11	12	1400	-250	50	0.8	23.7	2345.0	4	1195	945
12	13	1350	-100	753	0.8	15.2	1773.0	1	1183	1083
12	13	1400	-150	265	0.8	21.8	2498.0	2	1195	1045
12	13	1450	-200	177	0.8	22.6	4180.0	3	1192	992
12	13	1500	-250	38	0.8	23.0	1781.0	4	1173	923
13	14	1450	-100	787	0.9	19.4	1649.0	1	1192	1092
13	14	1500	-150	341	0.9	21.0	2857.0	2	1173	1023
13	14	1550	-200	61	0.9	21.9	1282.0	3	1144	944
13	14	1600	-250	7	0.9	19.6	276.8	4	1128	878
14	15	1550	-100	1787	1.2	20.0	2808.0	1	1144	1044
14	15	1600	-150	174	1.2	20.5	1094.0	2	1128	978
14	15	1650	-200	16	1.2	15.6	253.7	3	1125	925
14	15	1700	-250	25	1.2	16.7	798.3	4	1158	908
15	16	1650	-100	326	0.7	19.2	877.3	1	1125	1025
15	16	1700	-150	23	0.7	15.5	248.0	2	1158	1008
15	16	1750	-200	31	0.7	18.1	834.7	3	1193	993
16	17	1750	-100	98	0.8	13.6	232.1	1	1193	1093
16	17	1800	-150	106	0.8	16.6	1000.0	2	1199	1049
17	18	1850	-100	1767	1.8	10.6	1850.0	1	1184	1084

A-SP(m) 100 x-start 50
 N1-z(m) -100
 N2-z(m) -150
 N3-z(m) -200
 N4-z(m) -250

IP data of line T-5

Tx(A)	Tx(B)	x(m)	z(m)	Vp(mV)	Current(A)	M(%)	ρ (ohm-m)	N	Elevation(m)	Z-Depth(m)
0	1	150	-100	961	0.6	31.9	3018	1	1021	921
0	1	200	-150	70	0.6	31.6	884	2	1037	887
0	1	250	-200	9	0.6	42.3	288	3	1040	840
0	1	300	-250	2	0.6	21.2	142	4	1041	791
1	2	250	-100	163	0.8	40.4	384	1	1040	940
1	2	300	-150	14	0.8	52.4	131	2	1041	891
1	2	350	-200	3	0.8	35.2	62	3	1040	840
1	2	400	-250	2	0.8	33.4	90	4	1058	808
2	3	350	-100	233	0.8	65.3	550	1	1040	940
2	3	400	-150	18	0.8	41.4	168	2	1058	908
2	3	450	-200	12	0.8	35.6	272	3	1081	881
2	3	500	-250	4	0.8	49.7	177	4	1085	835
3	4	450	-100	51	0.9	53.9	107	1	1081	981
3	4	500	-150	16	0.9	38.9	138	2	1085	935
3	4	550	-200	4	0.9	47.2	78	3	1087	887
3	4	600	-250	1	0.9	41.1	40	4	1107	857
4	5	550	-100	866	0.8	19.3	2039	1	1087	987
4	5	600	-150	84	0.8	39.0	788	2	1107	957
4	5	650	-200	15	0.8	36.2	354	3	1127	927
4	5	700	-250	8	0.8	37.9	398	4	1151	901
5	6	650	-100	419	0.6	41.7	1315	1	1127	1027
5	6	700	-150	54	0.6	38.3	680	2	1151	1001
5	6	750	-200	28	0.6	40.1	890	3	1172	972
5	6	800	-250	17	0.6	39.0	1079	4	1189	939
6	7	750	-100	87	0.5	41.6	327	1	1172	1072
6	7	800	-150	34	0.5	44.5	517	2	1189	1039
6	7	850	-200	18	0.5	44.3	663	3	1203	1003
6	7	900	-250	12	0.5	34.4	895	4	1207	957
7	8	850	-100	327	0.6	39.4	1026	1	1203	1103
7	8	900	-150	101	0.6	39.4	1275	2	1207	1057
7	8	950	-200	57	0.6	29.7	1780	3	1204	1004
7	8	1000	-250	28	0.6	35.5	1783	4	1195	945
8	9	950	-100	481	1.2	31.6	755	1	1204	1104
8	9	1000	-150	196	1.2	23.2	1230	2	1195	1045
8	9	1050	-200	86	1.2	28.4	1346	3	1180	980
8	9	1100	-250	35	1.2	31.9	1104	4	1166	916
9	10	1050	-100	750	1.1	22.6	1286	1	1180	1080
9	10	1100	-150	199	1.1	27.5	1367	2	1166	1016
9	10	1150	-200	71	1.1	30.9	1214	3	1174	974
9	10	1200	-250	72	1.1	26.5	2479	4	1190	940
10	11	1150	-100	1122	1.4	25.1	1511	1	1174	1074
10	11	1200	-150	286	1.4	28.5	1542	2	1190	1040
10	11	1250	-200	207	1.4	25.8	2781	3	1170	970
10	11	1300	-250	103	1.4	29.3	2776	4	1153	903
11	12	1250	-100	844	1.1	20.0	1447.0	1	1170	1070
11	12	1300	-150	345	1.1	15.4	2367.0	2	1153	1003
11	12	1350	-200	137	1.1	18.4	2347.0	3	1144	944
11	12	1400	-250	61	1.1	19.7	2099.0	4	1141	891
12	13	1350	-100	829	1.0	20.5	1562.0	1	1144	1044
12	13	1400	-150	198	1.0	25.2	1496.0	2	1141	991
12	13	1450	-200	72	1.0	26.5	1350.0	3	1143	943
12	13	1500	-250	16	1.0	29.1	609.6	4	1150	900
13	14	1450	-100	896	1.4	16.3	1207.0	1	1143	1043
13	14	1500	-150	199	1.4	22.1	1072.0	2	1150	1000
13	14	1550	-200	39	1.4	25.3	526.3	3	1154	954
13	14	1600	-250	16	1.4	21.7	429.4	4	1156	906
14	15	1550	-100	1312	1.8	18.1	1374.0	1	1154	1054
14	15	1600	-150	204	1.8	20.2	856.2	2	1156	1006
14	15	1650	-200	73	1.8	15.9	764.3	3	1158	958
14	15	1700	-250	50	1.8	13.9	1041.0	4	1161	911
15	16	1650	-100	374	0.8	24.0	881.7	1	1158	1058
15	16	1700	-150	81	0.8	21.1	760.5	2	1161	1011
15	16	1750	-200	44	0.8	19.6	1040.0	3	1169	969
16	17	1750	-100	237	0.8	11.7	557.3	1	1169	1069
16	17	1800	-150	98	0.8	12.1	925.7	2	1176	1026
17	18	1850	-100	382	1.2	10.9	600.0	1	1185	1085

A-SP(m) 100 x-start 50
 N1-z(m) -100
 N2-z(m) -150
 N3-z(m) -200
 N4-z(m) -250

IP data of line T-6

Tx(A)	Tx(B)	x(m)	z(m)	Vp(mV)	Current(A)	M(%)	ρ (ohm-m)	N	Elevation(m)	Z-Depth(m)
0	1	150	-100	1164	2.1	12.9	1045.0	1	940	840
0	1	200	-150	147	2.1	21.4	526.8	2	957	807
0	1	250	-200	25	2.1	31.4	221.3	3	967	767
0	1	300	-250	1	2.1	17.2	26.6	4	978	728
1	2	250	-100	733	1.7	26.5	812.3	1	967	867
1	2	300	-150	85	1.7	36.5	376.2	2	978	828
1	2	350	-200	4	1.7	24.3	42.0	3	986	786
1	2	400	-250	7	1.7	26.6	157.8	4	998	748
2	3	350	-100	236	0.8	44.2	556.4	1	986	886
2	3	400	-150	7	0.8	26.5	62.1	2	998	848
2	3	450	-200	12	0.8	26.0	279.0	3	1016	816
2	3	500	-250	4	0.8	37.5	205.6	4	1020	770
3	4	450	-100	8	0.9	65.5	17.2	1	1016	916
3	4	500	-150	10	0.9	55.6	82.4	2	1020	870
3	4	550	-200	3	0.9	65.7	71.3	3	1023	823
3	4	600	-250	2	0.9	80.4	101.0	4	1037	787
4	5	550	-100	2118	1.8	14.7	2219.0	1	1023	923
4	5	600	-150	307	1.8	29.0	1284.0	2	1037	887
4	5	650	-200	117	1.8	38.8	1220.0	3	1052	852
4	5	700	-250	18	1.8	40.3	385.0	4	1070	820
5	6	650	-100	848	1.2	24.4	1332.0	1	1052	952
5	6	700	-150	217	1.2	36.2	1364.0	2	1070	920
5	6	750	-200	32	1.2	38.8	496.4	3	1097	897
5	6	800	-250	24	1.2	37.8	761.8	4	1117	867
6	7	750	-100	596	0.8	39.8	1404.0	1	1097	997
6	7	800	-150	64	0.8	43.9	603.0	2	1117	967
6	7	850	-200	44	0.8	41.2	1028.0	3	1124	924
6	7	900	-250	19	0.8	40.4	871.9	4	1128	878
7	8	850	-100	117	0.6	54.2	367	1	1124	1024
7	8	900	-150	50	0.6	52.7	634	2	1128	978
7	8	950	-200	15	0.6	54.7	482	3	1141	941
7	8	1000	-250	9	0.6	44.1	577	4	1133	883
8	9	950	-100	1141	0.7	33.3	3072	1	1141	1041
8	9	1000	-150	192	0.7	40.2	2067	2	1133	983
8	9	1050	-200	91	0.7	30.0	2451	3	1117	917
8	9	1100	-250	64	0.7	32.3	3427	4	1121	871
9	10	1050	-100	458	1.2	30.8	720	1	1117	1017
9	10	1100	-150	141	1.2	22.2	886	2	1121	971
9	10	1150	-200	86	1.2	23.8	1346	3	1142	942
9	10	1200	-250	44	1.2	27.6	1374	4	1151	901
10	11	1150	-100	567	0.7	28.1	1527	1	1142	1042
10	11	1200	-150	209	0.7	24.7	2253	2	1151	1001
10	11	1250	-200	85	0.7	27.4	2289	3	1154	954
10	11	1300	-250	60	0.7	29.0	3210	4	1153	903
11	12	1250	-100	514	0.6	23.2	1614	1	1154	1054
11	12	1300	-150	120	0.6	27.2	1510	2	1153	1003
11	12	1350	-200	69	0.6	29.7	2159	3	1152	952
11	12	1400	-250	23	0.6	27.8	1436	4	1170	920
12	13	1350	-100	430	1.0	19.7	811	1	1152	1052
12	13	1400	-150	186	1.0	20.0	1402	2	1170	1020
12	13	1450	-200	53	1.0	16.7	1005	3	1183	983
12	13	1500	-250	29	1.0	20.2	1087	4	1189	939
13	14	1450	-100	1244	1.5	23.7	1563	1	1183	1083
13	14	1500	-150	227	1.5	20.0	1141	2	1189	1039
13	14	1550	-200	104	1.5	24.9	1306	3	1197	997
13	14	1600	-250	65	1.5	23.2	1626	4	1202	952
14	15	1550	-100	814	1.3	19.5	1181	1	1197	1097
14	15	1600	-150	220	1.3	26.1	1279	2	1202	1052
14	15	1650	-200	118	1.3	23.6	1715	3	1207	1007
14	15	1700	-250	108	1.3	21.7	3134	4	1206	956
15	16	1650	-100	703	0.9	16.1	1473	1	1207	1107
15	16	1700	-150	233	0.9	13.3	1955	2	1206	1056
15	16	1750	-200	177	0.9	12.4	3703	3	1209	1009
16	17	1750	-100	1047	1.2	13.0	1645	1	1209	1109
16	17	1800	-150	411	1.2	15.3	2581	2	1215	1065
17	18	1850	-100	2215	1.6	10.2	2609	1	1226	1126

A-SP(m) 100 x-start 50
 N1-z(m) -100
 N2-z(m) -150
 N3-z(m) -200
 N4-z(m) -250

IP data of lineT-7

Tx(A)	Tx(B)	x(m)	z(m)	Vp(mV)	Current(A)	M(%)	ρ (ohm-m)	N	Elevation(m)	Z-Depth(m)
0	1	150	-100	851	0.9	28.4	1782	1	954	854
0	1	200	-150	81	0.9	20.1	679	2	944	794
0	1	250	-200	23	0.9	33.8	478	3	948	748
0	1	300	-250	2	0.9	64.9	77	4	958	708
1	2	250	-100	435	1.0	28.3	820	1	948	848
1	2	300	-150	84	1.0	45.4	630	2	958	808
1	2	350	-200	5	1.0	74.7	95	3	974	774
1	2	400	-250	4	1.0	46.2	167	4	988	738
2	3	350	-100	631	1.3	40.6	915	1	974	874
2	3	400	-150	22	1.3	83.4	130	2	988	838
2	3	450	-200	17	1.3	57.5	246	3	1003	803
2	3	500	-250	16	1.3	45.8	476	4	1020	770
3	4	450	-100	41	1.0	120.6	77	1	1003	903
3	4	500	-150	20	1.0	101.3	154	2	1020	870
3	4	550	-200	13	1.0	86.7	251	3	1028	828
3	4	600	-250	6	1.0	96.0	212	4	1036	786
4	5	550	-100	761	1.0	29.3	1434	1	1028	928
4	5	600	-150	262	1.0	32.0	1978	2	1036	886
4	5	650	-200	92	1.0	50.1	1735	3	1039	839
4	5	700	-250	23	1.0	54.1	856	4	1040	790
5	6	650	-100	807	0.9	10.7	1690	1	1039	939
5	6	700	-150	227	0.9	31.8	1903	2	1040	890
5	6	750	-200	47	0.9	39.6	995	3	1038	838
5	6	800	-250	12	0.9	35.2	489	4	1047	797
6	7	750	-100	864	1.3	32.0	1253	1	1038	938
6	7	800	-150	154	1.3	40.7	891	2	1047	897
6	7	850	-200	34	1.3	35.6	495	3	1065	865
6	7	900	-250	40	1.3	29.0	1165	4	1089	839
7	8	850	-100	617	1.3	51.4	894	1	1065	965
7	8	900	-150	87	1.3	48.9	507	2	1089	939
7	8	950	-200	86	1.3	41.9	1252	3	1118	918
7	8	1000	-250	46	1.3	34.0	1330	4	1141	891
8	9	950	-100	310	1.3	52.3	449	1	1118	1018
8	9	1000	-150	220	1.3	44.9	1274	2	1141	991
8	9	1050	-200	92	1.3	37.6	1340	3	1153	953
8	9	1100	-250	47	1.3	35.6	1367	4	1146	896
9	10	1050	-100	1705	1.1	35.1	2921	1	1153	1053
9	10	1100	-150	360	1.1	24.5	2466	2	1146	996
9	10	1150	-200	162	1.1	22.1	2775	3	1140	940
9	10	1200	-250	111	1.1	34.5	3815	4	1141	891
10	11	1150	-100	351	0.7	24.3	946	1	1140	1040
10	11	1200	-150	127	0.7	21.0	1364	2	1141	991
10	11	1250	-200	69	0.7	32.2	1846	3	1159	959
10	11	1300	-250	32	0.7	37.1	1718	4	1180	930
11	12	1250	-100	891	0.7	12.2	2398	1	1159	1059
11	12	1300	-150	285	0.7	25.0	3070	2	1180	1030
11	12	1350	-200	96	0.7	32.8	2589	3	1160	960
11	12	1400	-250	29	0.7	25.9	1543	4	1146	896
12	13	1350	-100	1070	0.9	18.0	2242	1	1160	1060
12	13	1400	-150	218	0.9	27.2	1824	2	1146	996
12	13	1450	-200	53	0.9	19.4	1120	3	1141	941
12	13	1500	-250	52	0.9	15.4	2188	4	1143	893
13	14	1450	-100	429	1.1	32.5	735	1	1141	1041
13	14	1500	-150	76	1.1	23.7	522	2	1143	993
13	14	1550	-200	61	1.1	19.4	1044	3	1151	951
13	14	1600	-250	33	1.1	24.7	1147	4	1162	912
14	15	1550	-100	674	1.6	24.2	794	1	1151	1051
14	15	1600	-150	338	1.6	22.4	1594	2	1162	1012
14	15	1650	-200	142	1.6	29.2	1668	3	1173	973
14	15	1700	-250	76	1.6	27.2	1787	4	1184	934
15	16	1650	-100	1687	1.6	11.5	1988	1	1173	1073
15	16	1700	-150	423	1.6	21.8	1995	2	1184	1034
15	16	1750	-200	190	1.6	20.4	2235	3	1198	998
16	17	1750	-100	499	0.9	18.8	1044	1	1198	1098
16	17	1800	-150	129	0.9	16.4	1077	2	1209	1059
17	18	1850	-100	553	1.0	15.6	1043	1	1205	1105

A-SP(m) 100 x-start 50
 N1-z(m) -100
 N2-z(m) -150
 N3-z(m) -200
 N4-z(m) -250

IP data of line T-8

Tx(A)	Tx(B)	x(m)	z(m)	Vp(mV)	Current(A)	M(%)	ρ (ohm-m)	N	Elevation(m)	Z-Depth(m)
0	1	150	-100	354	0.6	27.1	1114	1	957	857
0	1	200	-150	103	0.6	22.0	1296	2	971	821
0	1	250	-200	69	0.6	29.5	2182	3	983	783
0	1	300	-250	12	0.6	35.6	774	4	994	744
1	2	250	-100	505	0.7	23.8	1359	1	983	883
1	2	300	-150	220	0.7	31.9	2373	2	994	844
1	2	350	-200	34	0.7	40.5	908	3	997	797
1	2	400	-250	13	0.7	40.9	678	4	998	748
2	3	350	-100	798	1.0	21.0	1505	1	997	897
2	3	400	-150	98	1.0	33.2	736	2	998	848
2	3	450	-200	32	1.0	36.0	599	3	1005	805
2	3	500	-250	11	1.0	40.5	424	4	1020	770
3	4	450	-100	167	0.5	25.1	629	1	1005	905
3	4	500	-150	43	0.5	28.1	650	2	1020	870
3	4	550	-200	13	0.5	36.7	477	3	1023	823
3	4	600	-250	3	0.5	52.2	236	4	1020	770
4	5	550	-100	214	0.6	21.9	674	1	1023	923
4	5	600	-150	50	0.6	35.6	631	2	1020	870
4	5	650	-200	11	0.6	49.4	344	3	1026	826
4	5	700	-250	8	0.6	49.6	482	4	1041	791
5	6	650	-100	657	1.9	19.3	651	1	1026	926
5	6	700	-150	99	1.9	38.4	392	2	1041	891
5	6	750	-200	59	1.9	44.3	581	3	1057	857
5	6	800	-250	11	1.9	25.0	227	4	1074	824
6	7	750	-100	666	1.2	31.5	1047	1	1057	957
6	7	800	-150	285	1.2	38.0	1792	2	1074	924
6	7	850	-200	48	1.2	16.2	751	3	1090	890
6	7	900	-250	34	1.2	26.7	1057	4	1113	863
7	8	850	-100	810	0.9	45.3	1696	1	1090	990
7	8	900	-150	101	0.9	23.1	847	2	1113	963
7	8	950	-200	67	0.9	32.8	1404	3	1137	937
7	8	1000	-250	27	0.9	27.6	1126	4	1160	910
8	9	950	-100	208	0.8	28.8	491	1	1137	1037
8	9	1000	-150	104	0.8	37.9	979	2	1160	1010
8	9	1050	-200	35	0.8	34.0	827	3	1185	985
8	9	1100	-250	42	0.8	33.1	1982	4	1217	967
9	10	1050	-100	1632	0.8	18.0	3846	1	1185	1085
9	10	1100	-150	305	0.8	18.4	2871	2	1217	1067
9	10	1150	-200	285	0.8	17.6	6724	3	1245	1045
9	10	1200	-250	136	0.8	28.7	6396	4	1263	1013
10	11	1150	-100	595	0.8	13.9	1403	1	1245	1145
10	11	1200	-150	432	0.8	10.1	4072	2	1263	1113
10	11	1250	-200	167	0.8	19.5	3937	3	1275	1075
10	11	1300	-250	48	0.8	33.1	2277	4	1249	999
11	12	1250	-100	1432	1.0	17.8	2699.0	1	1275	1175
11	12	1300	-150	330	1.0	30.1	2492.0	2	1249	1099
11	12	1350	-200	78	1.0	43.6	1466.0	3	1219	1019
11	12	1400	-250	52	1.0	31.2	1977.0	4	1197	947
12	13	1350	-100	656	1.0	25.8	1236.0	1	1219	1119
12	13	1400	-150	104	1.0	39.0	783.9	2	1197	1047
12	13	1450	-200	57	1.0	27.0	1072.0	3	1199	999
12	13	1500	-250	48	1.0	21.7	1827.0	4	1187	937
13	14	1450	-100	605	1.0	34.5	1141.0	1	1199	1099
13	14	1500	-150	183	1.0	28.3	1382.0	2	1187	1037
13	14	1550	-200	125	1.0	23.3	2355.0	3	1153	953
13	14	1600	-250	57	1.0	23.4	2148.0	4	1123	873
14	15	1550	-100	891	1.1	29.6	1527.0	1	1153	1053
14	15	1600	-150	338	1.1	25.7	2317.0	2	1123	973
14	15	1650	-200	122	1.1	25.5	2094.0	3	1100	900
14	15	1700	-250	44	1.1	33.9	1496.0	4	1089	839
15	16	1650	-100	2652	1.6	20.4	3125.0	1	1100	1000
15	16	1700	-150	424	1.6	24.0	1996.0	2	1089	939
15	16	1750	-200	130	1.6	32.8	1529.0	3	1102	902
16	17	1750	-100	808	2.0	8.5	761.1	1	1102	1002
16	17	1800	-150	350	2.0	19.7	1319.0	2	1120	970
17	18	1850	-100	752	1.1	20.4	1289.0	1	1138	1038

A-SP(m) 100 x-start 50
 N1-z(m) -100
 N2-z(m) -150
 N3-z(m) -200
 N4-z(m) -250

IP data of line T-9

Tx(A)	Tx(B)	x(m)	z(m)	Vp(mV)	Current(A)	M(%)	ρ (ohm-m)	N	Elevation(m)	Z-Depth(m)
0	1	150	-100	367	0.9	20.9	769	1	1011	911
0	1	200	-150	61	0.9	23.8	513	2	1009	859
0	1	250	-200	90	0.9	25.4	1892	3	1007	807
0	1	300	-250	18	0.9	26.5	736	4	998	748
1	2	250	-100	285	0.8	25.6	671	1	1007	907
1	2	300	-150	253	0.8	31.2	2386	2	998	848
1	2	350	-200	39	0.8	34.7	912	3	988	788
1	2	400	-250	11	0.8	36.2	519	4	981	731
2	3	350	-100	1332	0.7	29.3	3587	1	988	888
2	3	400	-150	113	0.7	35.2	1220	2	981	831
2	3	450	-200	27	0.7	33.4	727	3	990	790
2	3	500	-250	3	0.7	35.3	135	4	1010	760
3	4	450	-100	316	0.8	41.2	744	1	990	890
3	4	500	-150	50	0.8	36.0	472	2	1010	860
3	4	550	-200	3	0.8	44.1	70	3	1023	823
3	4	600	-250	1	0.8	31.5	66	4	1034	784
4	5	550	-100	701	0.8	28.5	1651	1	1023	923
4	5	600	-150	19	0.8	51.1	181	2	1034	884
4	5	650	-200	8	0.8	31.0	182	3	1040	840
4	5	700	-250	8	0.8	47.3	388	4	1041	791
5	6	650	-100	34	0.8	61.0	81	1	1040	940
5	6	700	-150	7	0.8	27.9	68	2	1041	891
5	6	750	-200	6	0.8	40.6	151	3	1038	838
5	6	800	-250	4	0.8	30.4	185	4	1041	791
6	7	750	-100	92	0.9	18.7	193	1	1038	938
6	7	800	-150	37	0.9	34.6	308	2	1041	891
6	7	850	-200	18	0.9	31.7	367	3	1055	855
6	7	900	-250	6	0.9	25.3	255	4	1070	820
7	8	850	-100	545	0.7	23.3	1467	1	1055	955
7	8	900	-150	189	0.7	26.0	2041	2	1070	920
7	8	950	-200	61	0.7	19.8	1636	3	1087	887
7	8	1000	-250	34	0.7	29.0	1836	4	1105	855
8	9	950	-100	306	0.9	21.7	641	1	1087	987
8	9	1000	-150	76	0.9	16.5	641	2	1105	955
8	9	1050	-200	39	0.9	24.8	818	3	1126	926
8	9	1100	-250	21	0.9	21.3	893	4	1151	901
9	10	1050	-100	569	0.8	23.4	1341	1	1126	1026
9	10	1100	-150	172	0.8	34.6	1618	2	1151	1001
9	10	1150	-200	76	0.8	32.5	1797	3	1181	981
9	10	1200	-250	61	0.8	38.5	2867	4	1213	963
10	11	1150	-100	1061	0.6	17.6	3334	1	1181	1081
10	11	1200	-150	265	0.6	14.1	3329	2	1213	1063
10	11	1250	-200	159	0.6	20.0	4981	3	1208	1008
10	11	1300	-250	50	0.6	25.9	3126	4	1188	938
11	12	1250	-100	480	0.6	17.6	1508.0	1	1208	1108
11	12	1300	-150	192	0.6	21.9	2408.0	2	1188	1038
11	12	1350	-200	49	0.6	26.2	1524.0	3	1172	972
11	12	1400	-250	31	0.6	23.8	1965.0	4	1169	919
12	13	1350	-100	847	0.8	26.8	1995.0	1	1172	1072
12	13	1400	-150	120	0.8	35.1	1132.0	2	1169	1019
12	13	1450	-200	60	0.8	33.8	1421.0	3	1159	959
12	13	1500	-250	27	0.8	28.6	1272.0	4	1141	891
13	14	1450	-100	227	0.7	33.2	610.4	1	1159	1059
13	14	1500	-150	78	0.7	32.2	837.9	2	1141	991
13	14	1550	-200	30	0.7	28.5	818.7	3	1124	924
13	14	1600	-250	23	0.7	29.5	1229.0	4	1111	861
14	15	1550	-100	397	0.6	26.8	1248.0	1	1124	1024
14	15	1600	-150	108	0.6	22.4	1363.0	2	1111	961
14	15	1650	-200	66	0.6	24.8	2079.0	3	1101	901
14	15	1700	-250	21	0.6	23.8	1313.0	4	1086	836
15	16	1650	-100	738	1.2	12.8	1160.0	1	1101	1001
15	16	1700	-150	319	1.2	17.0	2004.0	2	1086	936
15	16	1750	-200	87	1.2	16.2	1367.0	3	1068	868
16	17	1750	-100	1188	1.6	25.5	1400.0	1	1068	968
16	17	1800	-150	365	1.6	11.8	1722.0	2	1056	906
17	18	1850	-100	679	1.2	8.1	1066.0	1	1053	953

卷末資料 9 IPインバージョン結果

H-1					H-2					H-3					H-4				
X(m)	elevation(m)	depth(m)	R(ohm-m)	M(%)	X(m)	elevation(m)	depth(m)	R(ohm-m)	M(%)	X(m)	elevation(m)	depth(m)	R(ohm-m)	M(%)	X(m)	elevation(m)	depth(m)	R(ohm-m)	M(%)
2700	1371.3	1284.1	411	15	2700	1388	1301	660	10	2700	1330	1243	660	10	2700	1315	1227.5	38982	14
2800	1367.4	1280.2	342	8	2800	1368	1280.9	1101	8	2800	1341	1253.6	1101	8	2800	1288	1200.4	22043	13
300	1188.5	1061.5	354	30	300	1142	1015.4	631	36	300	1213	1086.4	357	38	300	1235	1108	4351	48
400	1204.7	1077.7	1902	21	400	1178	1050.8	1090	25	400	1256	1129.2	480	26	400	1288	1160.8	4647	39
500	1258.8	1131.8	6294	11	500	1209	1081.6	2778	14	500	1334	1206.6	858	16	500	1341	1213.8	3271	26
600	1227.5	1100.5	6527	7	600	1219	1091.6	5894	8	600	1343	1216.2	4734	9	600	1378	1251	2733	13
700	1186.4	1059.4	6585	12	700	1216	1089.4	8397	8	700	1292	1164.9	4225	6	700	1355	1227.6	158	8
800	1199.7	1072.7	5856	17	800	1257	1130.3	8675	9	800	1287	1160.4	2868	10	800	1309	1181.9	6688	7
900	1241	1114	675	28	900	1303	1175.9	3490	11	900	1355	1227.6	1125	17	900	1331	1204.4	26195	5
1000	1286.6	1159.6	129	25	1000	1348	1220.7	110	20	1000	1380	1252.8	389	17	1000	1372	1244.5	1003	4
1100	1332.4	1205.4	3170	19	1100	1375	1248.2	443	30	1100	1413	1286.3	303	10	1100	1373	1246.4	292	4
1200	1331.7	1204.7	2242	22	1200	1389	1261.9	1004	24	1200	1412	1285.4	930	17	1200	1339	1212	338	7
1300	1357.8	1230.8	3254	22	1300	1393	1266.2	162	30	1300	1475	1348.2	30	32	1300	1345	1218.5	1300	10
1400	1398.1	1271.1	2971	18	1400	1386	1258.7	413	26	1400	1483	1356.4	1161	28	1400	1388	1260.8	3028	18
1500	1445.2	1318.2	1419	23	1500	1416	1289	1415	23	1500	1487	1359.7	2639	34	1500	1421	1293.7	578	40
1600	1453.4	1326.4	657	20	1600	1495	1368.5	1045	24	1600	1475	1347.8	3656	38	1600	1437	1310.4	472	39
1700	1423.8	1296.8	1409	23	1700	1539	1411.7	518	20	1700	1436	1309.2	1961	11	1700	1438	1310.8	1282	30
1800	1381.4	1254.4	219	44	1800	1504	1376.9	208	31	1800	1407	1280.3	289	19	1800	1415	1287.7	1232	26
1900	1407.9	1280.9	411	31	1900	1489	1361.8	264	25	1900	1356	1228.9	63	30	1900	1362	1235	8016	16
2000	1386.3	1259.3	693	13	2000	1476	1348.9	601	20	2000	1313	1186.4	617	13	2000	1315	1188.3	149	16
2100	1404.3	1277.3	444	5	2100	1439	1311.6	438	16	2100	1327	1200.4	230	16	2100	1296	1169.3	301	5
2200	1400.6	1273.6	466	8	2200	1421	1293.6	365	14	2200	1326	1198.8	409	20	2200	1275	1148.2	1264	2
2300	1393	1266	154	10	2300	1412	1285.5	388	14	2300	1354	1227	254	14	2300	1239	1111.7	432	7
2400	1393.6	1266.6	928	29	2400	1403	1276.1	536	30	2400	1332	1205	228	37	2400	1240	1113	544	20
2500	1393.3	1266.3	3148	38	2500	1406	1279.3	1954	33	2500	1299	1172.2	1378	20	2500	1271	1143.9	179	49
2600	1387.9	1260.9	3303	35	2600	1401	1274	1348	21	2600	1328	1200.9	954	21	2600	1291	1163.8	6304	23
2700	1371.3	1244.3	910	15	2700	1388	1261.2	788	9	2700	1330	1203.2	870	11	2700	1315	1187.7	20594	19

H-5					H-6					H-7					H-8				
X(m)	elevation(m)	depth(m)	R(ohm-m)	M(%)	X(m)	elevation(m)	depth(m)	R(ohm-m)	M(%)	X(m)	elevation(m)	depth(m)	R(ohm-m)	M(%)	X(m)	elevation(m)	depth(m)	R(ohm-m)	M(%)
2700	1183	1096.1	899	7	2700	1248	1160.4	1501	4	2700	1270	1182.4	1776	11	2700	1224	1136.3	1088	9
2800	1200	1112.9	867	8	2800	1252	1165.3	669	6	2800	1281	1194.1	1987	11	2800	1260	1172.4	841	13
300	1206	1079.4	209	22	300	1247	1119.5	630	16	300	1186	1058.6	788	23	300	1100	972.99	1514	40
400	1258	1131.1	419	20	400	1324	1196.5	1099	14	400	1259	1131.9	905	22	400	1109	982.11	2809	26
500	1316	1188.9	1506	16	500	1368	1241.2	1572	10	500	1306	1179.4	1514	15	500	1109	982.1	3210	15
600	1351	1223.5	1627	9	600	1418	1291.1	1031	8	600	1280	1153	1830	10	600	1108	981.1	3561	13
700	1373	1246.5	1847	5	700	1458	1331.4	1016	7	700	1257	1130.1	1352	11	700	1112	984.79	4239	20
800	1386	1258.9	1018	4	800	1444	1317.3	1494	9	800	1196	1069.3	1942	11	800	1115	988.46	3908	21
900	1353	1226.3	845	6	900	1381	1254	1269	8	900	1190	1062.8	1552	7	900	1140	1013.1	3291	11
1000	1310	1182.9	620	11	1000	1344	1217.4	1745	11	1000	1180	1053.5	1276	6	1000	1171	1043.9	1728	8
1100	1274	1146.9	653	17	1100	1294	1166.8	1258	15	1100	1181	1053.5	2292	18	1100	1182	1055.2	2476	10
1200	1255	1128	442	17	1200	1243	1115.7	692	19	1200	1173	1046	3149	42	1200	1146	1018.6	3091	21
1300	1246	1119	414	24	1300	1236	1109	433	25	1300	1158	1030.9	1412	54	1300	1164	1036.9	2185	31
1400	1263	1136.3	480	17	1400	1232	1105.3	235	30	1400	1151	1024.5	815	40	1400	1184	1057.1	2841	37
1500	1260	1132.8	513	24	1500	1216	1089.3	238	22	1500	1133	1005.8	178	19	1500	1148	1020.6	1891	44
1600	1247	1120.2	359	25	1600	1180	1053.1	393	28	1600	1135	1007.7	123	15	1600	1170	1043.3	337	33
1700	1270	1142.7	983	36	1700	1201	1074.3	342	36	1700	1150	1022.9	178	25	1700	1209	1082.1	75	31
1800	1309	1181.9	399	50	1800	1196	1069.5	169	37	1800	1168	1041.2	81	39	1800	1240	1113.4	32	26
1900	1291	1164.5	72	52	1900	1171	1044	62	37	1900	1193	1065.9	38	33	1900	1255	1127.5	29	28
2000	1282	1155.5	222	27	2000	1154	1026.6	343	47	2000	1214	1086.7	34	21	2000	1248	1120.8	54	34
2100	1275	1147.9	471	24	2100	1172	1045	127	20	2100	1209	1081.8	427	35	2100	1277	1150.3	332	31
2200	1241	1113.9	226	24	2200	1202	1075.1	481	45	2200	1206	1079.4	788	33	2200	1278	1151.5	1760	21
2300	1187	1060	189	40	2300	1191	1064.3	740	40	2300	1243	1116.1	774	29	2300	1277	1150	2491	17
2400	1187	1059.7	790	38	2400	1208	1081.4	523	26	2400	1260	1133.4	1596	31	2400	1242	1115.2	2212	32
2500	1189	1062.5	2483	28	2500	1247	1120.3	1357	23	2500	1262	1134.6	898	29	2500	1215	1087.8	1250	32
2600	1188	1061	3108	15	2600	1244	1117.1	1242	8	2600	1264	1136.7	1079	22	2600	1240	1112.5	774	18
2700	1183	1056.3	2524	11	2700	1248	1120.6	1245	6	2700	1270	1142.6	1694	18	2700	1224	1096.5	613	13

H-9					H-10				
X(m)	elevation(m)	depth(m)	R(ohm-m)	M(%)	X(m)	elevation(m)	depth(m)	R(ohm-m)	M(%)
200	1175	1157.7	1824	11	200	1223	1206	552	10
300	1225	1207.5	1570	17	300	1279	1262	729	8
400	1259	1242	2260	21	400	1350	1333	1917	9
500	1264	1247.3	1988	21	500	1422	1405	1254	4
600	1268	1251.2	3133	11	600	1457	1440	1160	4
700	1292	1274.7	2311	11	700	1437	1420	7823	5
800	1254	1236.5	1043	8	800	1409	1392	3996	4
900	1270	1252.5	844	3	900	1383	1365	805	6
1000	1290	1272.7	2498	3	1000	1360	1343	529	5
1100	1304	1287	1985	6	1100	1331	1314	622	5
1200	1265	1248.1	757	12	1200	1300	1283	365	2
1300	1224	1207.3	2489	13	1300	1271	1254	1623	7
1400	1213	1195.5	1251	15	1400	1246	1228	1125	17
1500	1186	1168.6	2712	9	1500	1228	1211	304	15
1600	1184	1167.2	1083	20	1600	1257	1240	1296	17
1700	1216	1198.8	283	32	1700	1254	1237	2685	17
1800	1233	1215.7	92	26	1800	1250	1233	923	14
1900	1231	1214	98	16	1900	1298	1281	3974	21
2000	1217	1199.7	1026	6	2000	1331	1314	647	19
2100	1241	1223.6	1498	12	2100	1323	1305	1338	26
2200	1272	1254.7	324	13	2200	1291	1274	11174	23
2300	1272	1254.7	553	10	2300	1266	1249	11446	7
2400	1293	1276.3	3136	4	2400	1313	1296	970	13
2500	1313	1295.5	4721	8	2500	1346	1329	667	15
2600	1329	1312.3	1800	13	2600	1365	1348	608	12
2700	1336	1318.9	2715	12	2700	1391	1374	2601	9
2800	1305	1288.4	1387	6	2800	1388	1371	9070	5
200	1175	1123.5	498	11	200	1223	1171	1618	15
300	1225	1173.3	2301	21	300	1279	1228	1726	16
400	1259	1207.8	4349	30	400	1350	1298	3063	22
500	1264	1213.1	2833	29	500	1422	1371	2910	8
600	1268	1217	1380	13	600	1457	1406	3313	5
700	1292	1240.5	1960	5	700	1437	1385	942	4
800	1254	1202.3	3189	8	800	1409	1357	1064	5
900	1270	1218.3	2444	8	900	1383	1331	5778	7
1000	1290	1238.5	1434	5	1000	1360	1308	1697	4
1100	1304	1252.8	1618	5	1100	1331	1280	659	6
1200	1265	1213.9	574	6	1200	1300	1249	1033	15
1300	1224	1173.1	802	13	1300	1271	1220	99	12
1400	1213	1161.3	2905	31	1400	1246	1194	350	6
1500	1186	1134.4	2073	38	1500	1228	1177	4424	25
1600	1184	1133	1066	22	1600	1257	1206	6832	50
1700	1216	1164.6	201	10	1700	1254	1203	3369	58
1800	1233	1181.5	74	10	1800	1250	1198	125	38
1900	1231	1179.8	54	25	1900	1298	1247	138	32
2000	1217	1165.5	305	36	2000	1331	1280	3439	29
2100	1241	1189.4	771	32	2100	1323	1271	614	9
2200	1272	1220.5	1902	8	2200	1291	1240	601	4
2300	1272	1220.5	4471	16	2300	1266	1215	4244	32
2400	1293	1242.1	1708	22	2400	1313	1261	851	15
2500	1313	1261.3	625	8	2500	1346	1295	2642	12
2600	1329	1278.1	1638	7	2600	1365	1314	775	5
2700	1336	1284.7	491	4	2700	1391	1340	500	4
2800	1305	1254.2	314	5	2800	1388	1337	184	3
200	1175	1087.6	891	20	200	1223	1136	2110	28
300	1225	1137.4	2093	25	300	1279	1192	2625	27
400	1259	1171.9	4082	29	400	1350	1262	3639	28
500	1264	1177.2	3440	24	500	1422	1335	3445	13
600	1268	1181.1	1857	15	600	1457	1370	3645	7
700	1292	1204.6	2784	7	700	1437	1349	1270	6
800	1254	1166.4	4738	9	800	1409	1322	1158	7
900	1270	1182.4	3237	10	900	1383	1295	5003	8
1000	1290	1202.6	1756	7	1000	1360	1273	2835	7
1100	1304	1216.9	2489	7	1100	1331	1244	1725	11
1200	1265	1178	1031	9	1200	1300	1213	4912	28
1300	1224	1137.2	780	12	1300	1271	1184	3471	30
1400	1213	1125.4	1590	20	1400	1246	1158	7063	31
1500	1186	1098.5	1408	35	1500	1228	1141	21374	49
1600	1184	1097.1	834	29	1600	1257	1170	14587	64
1700	1216	1128.7	253	20	1700	1254	1167	1373	54
1800	1233	1145.6	61	17	1800	1250	1162	111	11
1900	1231	1143.9	68	38	1900	1298	1211	396	14
2000	1217	1129.6	290	40	2000	1331	1244	1493	23
2100	1241	1153.5	442	30	2100	1323	1235	298	13
2200	1272	1184.6	1188	15	2200	1291	1204	277	7
2300	1272	1184.6	1861	20	2300	1266	1179	2391	12
2400	1293	1206.2	938	20	2400	1313	1226	454	18
2500	1313	1225.4	461	12	2500	1346	1259	954	10
2600	1329	1242.2	1480	10	2600	1365	1278	618	5

H-9					H-10				
X(m)	elevation(m)	depth(m)	R(ohm-m)	M(%)	X(m)	elevation(m)	depth(m)	R(ohm-m)	M(%)
2700	1336	1248.8	616	5	2700	1391	1304	963	7
2800	1305	1218.3	688	6	2800	1388	1301	1550	7
300	1225	1097.6	1644	28	300	1279	1152	1713	34
400	1259	1132.1	2460	29	400	1350	1223	2140	32
500	1264	1137.4	3486	24	500	1422	1295	2359	20
600	1268	1141.3	2787	17	600	1457	1330	3253	11
700	1292	1164.8	4258	10	700	1437	1310	4467	9
800	1254	1126.6	6269	9	800	1409	1282	7186	11
900	1270	1142.6	3804	9	900	1383	1256	9173	12
1000	1290	1162.8	2070	7	1000	1360	1233	4737	11
1100	1304	1177.1	4104	10	1100	1331	1204	2894	19
1200	1265	1138.2	2066	11	1200	1300	1173	16185	46
1300	1224	1097.4	1974	19	1300	1271	1144	30779	54
1400	1213	1085.6	2890	34	1400	1246	1119	56671	59
1500	1186	1058.7	2696	61	1500	1228	1101	71350	73
1600	1184	1057.3	1463	63	1600	1257	1130	21127	81
1700	1216	1088.9	452	45	1700	1254	1127	718	81
1800	1233	1105.8	58	28	1800	1250	1123	13	36
1900	1231	1104.1	35	30	1900	1298	1171	536	23
2000	1217	1089.8	370	24	2000	1331	1204	2540	35
2100	1241	1113.7	1020	21	2100	1323	1196	2594	23
2200	1272	1144.8	2149	20	2200	1291	1164	1527	21
2300	1272	1144.8	2855	26	2300	1266	1139	3163	12
2400	1293	1166.4	1928	30	2400	1313	1186	382	36
2500	1313	1185.6	807	24	2500	1346	1219	725	11
2600	1329	1202.4	2174	13	2600	1365	1238	1568	5
2700	1336	1209	1999	8	2700	1391	1264	4490	7

H-1					H-2					H-3					H-4				
X(m)	elevation(m)	depth(m)	R(ohm-m)	M(%)	X(m)	elevation(m)	depth(m)	R(ohm-m)	M(%)	X(m)	elevation(m)	depth(m)	R(ohm-m)	M(%)	X(m)	elevation(m)	depth(m)	R(ohm-m)	M(%)
2700	1371.3	1284.1	411	15	2700	1388	1301	660	10	2700	1330	1243	660	10	2700	1315	1227.5	38982	14
2800	1367.4	1280.2	342	8	2800	1368	1280.9	1101	8	2800	1341	1253.6	1101	8	2800	1288	1200.4	22043	13
300	1188.5	1061.5	354	30	300	1142	1015.4	631	36	300	1213	1086.4	357	38	300	1235	1108	4351	48
400	1204.7	1077.7	1902	21	400	1178	1050.8	1090	25	400	1256	1129.2	480	26	400	1288	1160.8	4647	39
500	1258.8	1131.8	6294	11	500	1209	1081.6	2778	14	500	1334	1206.6	858	16	500	1341	1213.8	3271	26
600	1227.5	1100.5	6527	7	600	1219	1091.6	5894	8	600	1343	1216.2	4734	9	600	1378	1251	2733	13
700	1186.4	1059.4	6585	12	700	1216	1089.4	8397	8	700	1292	1164.9	4225	6	700	1355	1227.6	158	8
800	1199.7	1072.7	5856	17	800	1257	1130.3	8675	9	800	1287	1160.4	2868	10	800	1309	1181.9	6688	7
900	1241	1114	675	28	900	1303	1175.9	3490	11	900	1355	1227.6	1125	17	900	1331	1204.4	26195	5
1000	1286.6	1159.6	129	25	1000	1348	1220.7	110	20	1000	1380	1252.8	389	17	1000	1372	1244.5	1003	4
1100	1332.4	1205.4	3170	19	1100	1375	1248.2	443	30	1100	1413	1286.3	303	10	1100	1373	1246.4	292	4
1200	1331.7	1204.7	2242	22	1200	1389	1261.9	1004	24	1200	1412	1285.4	930	17	1200	1339	1212	338	7
1300	1357.8	1230.8	3254	22	1300	1393	1266.2	162	30	1300	1475	1348.2	30	32	1300	1345	1218.5	1300	10
1400	1398.1	1271.1	2971	18	1400	1386	1258.7	413	26	1400	1483	1356.4	1161	28	1400	1388	1260.8	3028	18
1500	1445.2	1318.2	1419	23	1500	1416	1289	1415	23	1500	1487	1359.7	2639	34	1500	1421	1293.7	578	40
1600	1453.4	1326.4	657	20	1600	1495	1368.5	1045	24	1600	1475	1347.8	3656	38	1600	1437	1310.4	472	39
1700	1423.8	1296.8	1409	23	1700	1539	1411.7	518	20	1700	1436	1309.2	1961	11	1700	1438	1310.8	1282	30
1800	1381.4	1254.4	219	44	1800	1504	1376.9	208	31	1800	1407	1280.3	289	19	1800	1415	1287.7	1232	26
1900	1407.9	1280.9	411	31	1900	1489	1361.8	264	25	1900	1356	1228.9	63	30	1900	1362	1235	8016	16
2000	1386.3	1259.3	693	13	2000	1476	1348.9	601	20	2000	1313	1186.4	617	13	2000	1315	1188.3	149	16
2100	1404.3	1277.3	444	5	2100	1439	1311.6	438	16	2100	1327	1200.4	230	16	2100	1296	1169.3	301	5
2200	1400.6	1273.6	466	8	2200	1421	1293.6	365	14	2200	1326	1198.8	409	20	2200	1275	1148.2	1264	2
2300	1393	1266	154	10	2300	1412	1285.5	388	14	2300	1354	1227	254	14	2300	1239	1111.7	432	7
2400	1393.6	1266.6	928	29	2400	1403	1276.1	536	30	2400	1332	1205	228	37	2400	1240	1113	544	20
2500	1393.3	1266.3	3148	38	2500	1406	1279.3	1954	33	2500	1299	1172.2	1378	20	2500	1271	1143.9	179	49
2600	1387.9	1260.9	3303	35	2600	1401	1274	1348	21	2600	1328	1200.9	954	21	2600	1291	1163.8	6304	23
2700	1371.3	1244.3	910	15	2700	1388	1261.2	788	9	2700	1330	1203.2	870	11	2700	1315	1187.7	20594	19

H-5					H-6					H-7					H-8				
X(m)	elevation(m)	depth(m)	R(ohm-m)	M(%)	X(m)	elevation(m)	depth(m)	R(ohm-m)	M(%)	X(m)	elevation(m)	depth(m)	R(ohm-m)	M(%)	X(m)	elevation(m)	depth(m)	R(ohm-m)	M(%)
2700	1183	1096.1	899	7	2700	1248	1160.4	1501	4	2700	1270	1182.4	1776	11	2700	1224	1136.3	1088	9
2800	1200	1112.9	867	8	2800	1252	1165.3	669	6	2800	1281	1194.1	1987	11	2800	1260	1172.4	841	13
300	1206	1079.4	209	22	300	1247	1119.5	630	16	300	1186	1058.6	788	23	300	1100	972.99	1514	40
400	1258	1131.1	419	20	400	1324	1196.5	1099	14	400	1259	1131.9	905	22	400	1109	982.11	2809	26
500	1316	1188.9	1506	16	500	1368	1241.2	1572	10	500	1306	1179.4	1514	15	500	1109	982.1	3210	15
600	1351	1223.5	1627	9	600	1418	1291.1	1031	8	600	1280	1153	1830	10	600	1108	981.1	3561	13
700	1373	1246.5	1847	5	700	1458	1331.4	1016	7	700	1257	1130.1	1352	11	700	1112	984.79	4239	20
800	1386	1258.9	1018	4	800	1444	1317.3	1494	9	800	1196	1069.3	1942	11	800	1115	988.46	3908	21
900	1353	1226.3	845	6	900	1381	1254	1269	8	900	1190	1062.8	1552	7	900	1140	1013.1	3291	11
1000	1310	1182.9	620	11	1000	1344	1217.4	1745	11	1000	1180	1053.5	1276	6	1000	1171	1043.9	1728	8
1100	1274	1146.9	653	17	1100	1294	1166.8	1258	15	1100	1181	1053.5	2292	18	1100	1182	1055.2	2476	10
1200	1255	1128	442	17	1200	1243	1115.7	692	19	1200	1173	1046	3149	42	1200	1146	1018.6	3091	21
1300	1246	1119	414	24	1300	1236	1109	433	25	1300	1158	1030.9	1412	54	1300	1164	1036.9	2185	31
1400	1263	1136.3	480	17	1400	1232	1105.3	235	30	1400	1151	1024.5	815	40	1400	1184	1057.1	2841	37
1500	1260	1132.8	513	24	1500	1216	1089.3	238	22	1500	1133	1005.8	178	19	1500	1148	1020.6	1891	44
1600	1247	1120.2	359	25	1600	1180	1053.1	393	28	1600	1135	1007.7	123	15	1600	1170	1043.3	337	33
1700	1270	1142.7	983	36	1700	1201	1074.3	342	36	1700	1150	1022.9	178	25	1700	1209	1082.1	75	31
1800	1309	1181.9	399	50	1800	1196	1069.5	169	37	1800	1168	1041.2	81	39	1800	1240	1113.4	32	26
1900	1291	1164.5	72	52	1900	1171	1044	62	37	1900	1193	1065.9	38	33	1900	1255	1127.5	29	28
2000	1282	1155.5	222	27	2000	1154	1026.6	343	47	2000	1214	1086.7	34	21	2000	1248	1120.8	54	34
2100	1275	1147.9	471	24	2100	1172	1045	127	20	2100	1209	1081.8	427	35	2100	1277	1150.3	332	31
2200	1241	1113.9	226	24	2200	1202	1075.1	481	45	2200	1206	1079.4	788	33	2200	1278	1151.5	1760	21
2300	1187	1060	189	40	2300	1191	1064.3	740	40	2300	1243	1116.1	774	29	2300	1277	1150	2491	17
2400	1187	1059.7	790	38	2400	1208	1081.4	523	26	2400	1260	1133.4	1596	31	2400	1242	1115.2	2212	32
2500	1189	1062.5	2483	28	2500	1247	1120.3	1357	23	2500	1262	1134.6	898	29	2500	1215	1087.8	1250	32
2600	1188	1061	3108	15	2600	1244	1117.1	1242	8	2600	1264	1136.7	1079	22	2600	1240	1112.5	774	18
2700	1183	1056.3	2524	11	2700	1248	1120.6	1245	6	2700	1270	1142.6	1694	18	2700	1224	1096.5	613	13

H-9					H-10				
X(m)	elevation(m)	depth(m)	R(ohm-m)	M(%)	X(m)	elevation(m)	depth(m)	R(ohm-m)	M(%)
200	1175	1157.7	1824	11	200	1223	1206	552	10
300	1225	1207.5	1570	17	300	1279	1262	729	8
400	1259	1242	2260	21	400	1350	1333	1917	9
500	1264	1247.3	1988	21	500	1422	1405	1254	4
600	1268	1251.2	3133	11	600	1457	1440	1160	4
700	1292	1274.7	2311	11	700	1437	1420	7823	5
800	1254	1236.5	1043	8	800	1409	1392	3996	4
900	1270	1252.5	844	3	900	1383	1365	805	6
1000	1290	1272.7	2498	3	1000	1360	1343	529	5
1100	1304	1287	1985	6	1100	1331	1314	622	5
1200	1265	1248.1	757	12	1200	1300	1283	365	2
1300	1224	1207.3	2489	13	1300	1271	1254	1623	7
1400	1213	1195.5	1251	15	1400	1246	1228	1125	17
1500	1186	1168.6	2712	9	1500	1228	1211	304	15
1600	1184	1167.2	1083	20	1600	1257	1240	1296	17
1700	1216	1198.8	283	32	1700	1254	1237	2685	17
1800	1233	1215.7	92	26	1800	1250	1233	923	14
1900	1231	1214	98	16	1900	1298	1281	3974	21
2000	1217	1199.7	1026	6	2000	1331	1314	647	19
2100	1241	1223.6	1498	12	2100	1323	1305	1338	26
2200	1272	1254.7	324	13	2200	1291	1274	11174	23
2300	1272	1254.7	553	10	2300	1266	1249	11446	7
2400	1293	1276.3	3136	4	2400	1313	1296	970	13
2500	1313	1295.5	4721	8	2500	1346	1329	667	15
2600	1329	1312.3	1800	13	2600	1365	1348	608	12
2700	1336	1318.9	2715	12	2700	1391	1374	2601	9
2800	1305	1288.4	1387	6	2800	1388	1371	9070	5
200	1175	1123.5	498	11	200	1223	1171	1618	15
300	1225	1173.3	2301	21	300	1279	1228	1726	16
400	1259	1207.8	4349	30	400	1350	1298	3063	22
500	1264	1213.1	2833	29	500	1422	1371	2910	8
600	1268	1217	1380	13	600	1457	1406	3313	5
700	1292	1240.5	1960	5	700	1437	1385	942	4
800	1254	1202.3	3189	8	800	1409	1357	1064	5
900	1270	1218.3	2444	8	900	1383	1331	5778	7
1000	1290	1238.5	1434	5	1000	1360	1308	1697	4
1100	1304	1252.8	1618	5	1100	1331	1280	659	6
1200	1265	1213.9	574	6	1200	1300	1249	1033	15
1300	1224	1173.1	802	13	1300	1271	1220	99	12
1400	1213	1161.3	2905	31	1400	1246	1194	350	6
1500	1186	1134.4	2073	38	1500	1228	1177	4424	25
1600	1184	1133	1066	22	1600	1257	1206	6832	50
1700	1216	1164.6	201	10	1700	1254	1203	3369	58
1800	1233	1181.5	74	10	1800	1250	1198	125	38
1900	1231	1179.8	54	25	1900	1298	1247	138	32
2000	1217	1165.5	305	36	2000	1331	1280	3439	29
2100	1241	1189.4	771	32	2100	1323	1271	614	9
2200	1272	1220.5	1902	8	2200	1291	1240	601	4
2300	1272	1220.5	4471	16	2300	1266	1215	4244	32
2400	1293	1242.1	1708	22	2400	1313	1261	851	15
2500	1313	1261.3	625	8	2500	1346	1295	2642	12
2600	1329	1278.1	1638	7	2600	1365	1314	775	5
2700	1336	1284.7	491	4	2700	1391	1340	500	4
2800	1305	1254.2	314	5	2800	1388	1337	184	3
200	1175	1087.6	891	20	200	1223	1136	2110	28
300	1225	1137.4	2093	25	300	1279	1192	2625	27
400	1259	1171.9	4082	29	400	1350	1262	3639	28
500	1264	1177.2	3440	24	500	1422	1335	3445	13
600	1268	1181.1	1857	15	600	1457	1370	3645	7
700	1292	1204.6	2784	7	700	1437	1349	1270	6
800	1254	1166.4	4738	9	800	1409	1322	1158	7
900	1270	1182.4	3237	10	900	1383	1295	5003	8
1000	1290	1202.6	1756	7	1000	1360	1273	2835	7
1100	1304	1216.9	2489	7	1100	1331	1244	1725	11
1200	1265	1178	1031	9	1200	1300	1213	4912	28
1300	1224	1137.2	780	12	1300	1271	1184	3471	30
1400	1213	1125.4	1590	20	1400	1246	1158	7063	31
1500	1186	1098.5	1408	35	1500	1228	1141	21374	49
1600	1184	1097.1	834	29	1600	1257	1170	14587	64
1700	1216	1128.7	253	20	1700	1254	1167	1373	54
1800	1233	1145.6	61	17	1800	1250	1162	111	11
1900	1231	1143.9	68	38	1900	1298	1211	396	14
2000	1217	1129.6	290	40	2000	1331	1244	1493	23
2100	1241	1153.5	442	30	2100	1323	1235	298	13
2200	1272	1184.6	1188	15	2200	1291	1204	277	7
2300	1272	1184.6	1861	20	2300	1266	1179	2391	12
2400	1293	1206.2	938	20	2400	1313	1226	454	18
2500	1313	1225.4	461	12	2500	1346	1259	954	10
2600	1329	1242.2	1480	10	2600	1365	1278	618	5

H-9					H-10				
X(m)	elevation(m)	depth(m)	R(ohm-m)	M(%)	X(m)	elevation(m)	depth(m)	R(ohm-m)	M(%)
2700	1336	1248.8	616	5	2700	1391	1304	963	7
2800	1305	1218.3	688	6	2800	1388	1301	1550	7
300	1225	1097.6	1644	28	300	1279	1152	1713	34
400	1259	1132.1	2460	29	400	1350	1223	2140	32
500	1264	1137.4	3486	24	500	1422	1295	2359	20
600	1268	1141.3	2787	17	600	1457	1330	3253	11
700	1292	1164.8	4258	10	700	1437	1310	4467	9
800	1254	1126.6	6269	9	800	1409	1282	7186	11
900	1270	1142.6	3804	9	900	1383	1256	9173	12
1000	1290	1162.8	2070	7	1000	1360	1233	4737	11
1100	1304	1177.1	4104	10	1100	1331	1204	2894	19
1200	1265	1138.2	2066	11	1200	1300	1173	16185	46
1300	1224	1097.4	1974	19	1300	1271	1144	30779	54
1400	1213	1085.6	2890	34	1400	1246	1119	56671	59
1500	1186	1058.7	2696	61	1500	1228	1101	71350	73
1600	1184	1057.3	1463	63	1600	1257	1130	21127	81
1700	1216	1088.9	452	45	1700	1254	1127	718	81
1800	1233	1105.8	58	28	1800	1250	1123	13	36
1900	1231	1104.1	35	30	1900	1298	1171	536	23
2000	1217	1089.8	370	24	2000	1331	1204	2540	35
2100	1241	1113.7	1020	21	2100	1323	1196	2594	23
2200	1272	1144.8	2149	20	2200	1291	1164	1527	21
2300	1272	1144.8	2855	26	2300	1266	1139	3163	12
2400	1293	1166.4	1928	30	2400	1313	1186	382	36
2500	1313	1185.6	807	24	2500	1346	1219	725	11
2600	1329	1202.4	2174	13	2600	1365	1238	1568	5
2700	1336	1209	1999	8	2700	1391	1264	4490	7

K-5					K-6				
X(m)	elevation(m)	Depth(m)	R(ohm-m)	M(%)	X(m)	elevation(m)	Depth(m)	R(ohm-m)	M(%)
700	1255	1238	2475	9	700	1228	1211	9685	31
800	1226	1209	1929	11	800	1188	1171	891	17
900	1191	1174	2450	11	900	1155	1137	1183	19
1000	1178	1161	2714	15	1000	1119	1102	881	16
1100	1168	1150	1921	18	1100	1120	1103	619	18
1200	1137	1120	8160	68	1200	1175	1158	957	15
1300	1133	1116	670	46	1300	1219	1202	4271	26
1400	1167	1150	142	6	1400	1252	1235	2880	17
1500	1192	1175	92	1	1500	1262	1245	834	13
1600	1210	1193	497	9	1600	1272	1255	551	12
1700	1261	1244	4766	3	1700	1279	1262	1303	15
1800	1268	1251	903	23	1800	1272	1255	2269	13
700	1255	1204	2691	38	700	1228	1177	2592	27
800	1226	1175	983	12	800	1188	1137	5889	34
900	1191	1139	929	18	900	1155	1103	11302	26
1000	1178	1127	3325	14	1000	1119	1067	2289	11
1100	1168	1116	6436	25	1100	1120	1069	282	3
1200	1137	1086	204	7	1200	1175	1124	495	27
1300	1133	1082	50	7	1300	1219	1167	3371	25
1400	1167	1116	425	25	1400	1252	1201	1900	24
1500	1192	1141	797	11	1500	1262	1211	2733	31
1600	1210	1159	7477	22	1600	1272	1220	3962	5
1700	1261	1209	424	29	1700	1279	1227	6942	21
1800	1268	1217	11	35	1800	1272	1220	841	17
700	1255	1168	1859	39	700	1228	1141	819	46
800	1226	1139	1879	20	800	1188	1101	2410	33
900	1191	1104	2586	27	900	1155	1067	3035	28
1000	1178	1091	2430	31	1000	1119	1032	967	18
1100	1168	1080	1059	36	1100	1120	1033	692	7
1200	1137	1050	332	6	1200	1175	1088	1092	9
1300	1133	1046	309	14	1300	1219	1131	1369	9
1400	1167	1080	917	68	1400	1252	1165	1104	12
1500	1192	1105	672	30	1500	1262	1175	3596	21
1600	1210	1123	4524	18	1600	1272	1184	3218	6
1700	1261	1173	1624	22	1700	1279	1191	4414	16
1800	1268	1181	84	33	1800	1272	1185	2494	17
800	1226	1099	2098	33	800	1188	1061	1862	34
900	1191	1064	5083	30	900	1155	1028	2173	30
1000	1178	1051	7250	26	1000	1119	992	1677	21
1100	1168	1041	4094	14	1100	1120	993	1601	12
1200	1137	1010	2481	4	1200	1175	1048	1473	11
1300	1133	1006	3308	13	1300	1219	1092	536	20
1400	1167	1040	4106	71	1400	1252	1125	942	32
1500	1192	1065	2691	85	1500	1262	1135	4363	38
1600	1210	1083	2462	23	1600	1272	1145	3043	15
1700	1261	1134	124	7	1700	1279	1152	3075	19

T-9				
X(m)	elevation(m)	Depth(m)	R(ohm-m)	M(%)
200	1009	991	1887	31
300	998	981	1151	22
400	981	964	422	29
500	1010	993	2045	27
600	1034	1017	1143	31
700	1041	1024	49601	7
800	1041	1024	3387	34
900	1070	1053	251	16
1000	1105	1088	2364	16
1100	1151	1134	3870	6
1200	1213	1196	1434	13
1300	1188	1170	2707	22
1400	1169	1152	1133	21
1500	1141	1123	1990	16
1600	1111	1094	811	23
1700	1086	1068	714	23
1800	1056	1038	663	14
200	1009	957	514	26
300	998	947	1481	24
400	981	930	9855	37
500	1010	959	6994	63
600	1034	983	1651	22
700	1041	990	108	57
800	1041	989	358	24
900	1070	1018	3048	20
1000	1105	1054	467	39
1100	1151	1100	1935	17
1200	1213	1162	3557	11
1300	1188	1136	1458	28
1400	1169	1117	1451	25
1500	1141	1089	685	39
1600	1111	1060	1594	17
1700	1086	1034	2322	15
1800	1056	1004	1561	20
200	1009	921	665	18
300	998	911	886	23
400	981	894	1461	33
500	1010	923	907	56
600	1034	947	966	28
700	1041	954	34	71
800	1041	953	35	50
900	1070	983	3036	38
1000	1105	1018	889	55
1100	1151	1064	1306	31
1200	1213	1126	2681	13
1300	1188	1100	1741	22
1400	1169	1081	1641	27
1500	1141	1053	834	40
1600	1111	1024	1976	19
1700	1086	998	3058	15
1800	1056	968	2402	12
300	998	871	1145	16
400	981	854	905	22
500	1010	883	493	44
600	1034	907	749	27
700	1041	914	40	32
800	1041	914	132	25
900	1070	943	3506	37
1000	1105	978	1436	39
1100	1151	1024	1770	23
1200	1213	1086	3304	10
1300	1188	1061	3192	17
1400	1169	1042	2015	29
1500	1141	1014	710	46
1600	1111	984	1109	26
1700	1086	959	1525	15

巻末資料10 アルタイ地区チャシャ鉦徴地 (MJCA-A1孔)
ボーリング柱状図

F.	Depth m	Column	Bound m	Geology	Minerali -zation	Assay												
						Bound m	Length m	Au ppm	Ag ppm	Cu %	Pb %	Zn %	Fe %	Cd ppm	As ppm	Hg ppm	Ni ppm	Co ppm
	0			gravel														
			2.86	gry-white mdg-csg m-tf														
			6.73	l-gry m-ss-gar														
			8.20	gr-white fng-mdg	py-diss (pyritization)													
	10		$\angle 70^\circ$	sandy-ls	start	11.2												
			11.30		gal-qt v 10cm	11.3	0.1	0.0074	16.0000	0.0051	2.9700	0.2000	1.82	1.10	1.9	0.010	5	10
			11.53	l-gry,mdg. m-cal-ss, gar gry-white mdg														
				cal-ss														
			19.0	qt-vein	19.1 cp.py-diss													
	20		19.2		19.5													
				cal-ss														
					28.1 py-diss.many													
	30		30.2		py.cal-v w=1.0m													
			31.13	cal-ss	32.0													
			$\angle 75^\circ$	grn-fng m-tf-ss														
			33.70															
			34.93	l-gry mdg-csg m-tf														
	40		41.13	l-gry fng-mdg m-cal-ss														
			41.80															
			$\angle 72^\circ$	l-gry mdg-csg cal-ss														
			47.4		ff hema.pyr.py.qt-v	47.4	0.4	0.027	4.3000	0.0049	0.1400	0.5700	7.27	4.60	23.0	0.400	32	10
			47.8			47.8												
	50																	

F.	Depth m	Column	Bound m	Geology	Minerali- zation	Assay													
						Bound m	Length m	Au ppm	Ag ppm	Cu %	Pb %	Zn %	Fe %	Cd ppm	As ppm	Hg ppm	Ni ppm	Co ppm	
	50			cal-ss															
	53.9 78° 54.3			gry. fng-mdg. m-cal-ss. l-gry. fng-mdg. cal-ss	py.many														
	60																		
	63.6 63.8			< 65° sk.	cp.py-diss	63.6													
	65.5 65.6			< 50° sk. w=10° ls	pyr-diss	63.8	0.2	0.0030	0.1600	0.0480	0.0085	0.0361	8.69	0.23	1000.0	0.018	34	19	
	70			ls															
	80																		
	80.45 80.70				cp.py.cal.qt-v	80.45	0.25	0.0010	0.0570	0.0082	0.0018	0.0085	3.49	0.10	32.0	0.018	7	19	
				cal-ss		80.70													
	89.2 89.7				< 65° cp.py.pyr.qt-v	89.2	0.50	0.0030	0.0830	0.0313	0.0015	0.0311	8.22	0.10	2.4	0.022	26	16	
	89.7					89.7													
	90																		
	92.3 92.8 93.47			l-gry fng-mdg gry-white fng-mdg. ls.	cp-imp.														
	94.72 70°			d-gry.m-tb.															
	100																		

F.	Depth m	Column	Bound m	Geology	Minerali-zation	Assay														
						Bound m	Length m	Au ppm	Ag ppm	Cu %	Pb %	Zn %	Fe %	Cd ppm	As ppm	Hg ppm	Ni ppm	Co ppm		
	100																			
	103.3	$\angle 72^\circ$		gry.l-gry. ls																
	105.27			gry-white fng.m-cal-ss																
	106.6			l-gry fng-mdg. ls																
	110																			
	111.90			d-gry. fng. m-cal-ss																
	115.0	$\angle 75^\circ$		gry-white to gry-green ep-gar-ho-cal-sk	gav.py.mag.qt.imp.	115.0														
	116.10			gry-white mdg-csg. ls		116.1	1.1	0.0040	0.6150	0.0267	0.0500	0.0294	9.60	0.24	17.0	0.006	38	14		
	120																			
	123.10			ep-gar-ho-cal-sk	mag.py.	123.1	1.2	0.0010	0.0600	0.0018	0.0050	0.0288	14.30	0.10	4.1	0.006	29	11		
	124.30	$\angle 72^\circ$		gry. m-cal-ss (cal-v. many)		124.3														
	130																			
	137.05	$\angle 70^\circ$		gry-white ls																
	139.45				cp.py.qt-v	139.45														
	140					140.0	0.55	0.0028	0.3800	0.0077	0.0120	0.0161	4.52	0.10	1.3	0.014	10	15		
	141				mag.py															
	142.5																			
	148.40				py-mag															
	148.60			ep-ho-cal-sk																
	150																			

F.	Depth m	Column	Bound m	Geology	Mineralization	Assay														
						Bound m	Length m	Au ppm	Ag ppm	Cu %	Pb %	Zn %	Fe %	Cd ppm	As ppm	Hg ppm	Ni ppm	Co ppm		
	150		151.5	ls	sph.imp.															
			156.5																	
			157.1	gry-white m-cal-ss	pyr.many															
			157.9	ls																
			158.2	gry-white mdg-csg ep-cal-ho-sk	py.many	157.9	0.3	0.0021	0.0700	0.0028	0.0030	0.0215	8.01	0.10	1.2	0.006		20	15	
			159.5	gry.mdg-csg m-cal-ss		158.2														
	160		162.5	gry-white d-gry ls.																
			163.1			162.5	0.85	0.0048	0.4150	0.0168	0.0110	0.0158	7.62	0.10	1.2	0.010		36	16	
			164.0	p-sk	pyr.py.cp.sph.diss.	163.1	0.9	0.0061	0.5060	0.0071	0.0200	0.0277	6.70	0.25	1.2	0.014		32	16	
			164.9			164.0	0.9	0.0059	0.4150	0.0121	0.0110	0.0090	5.03	0.37	34.0	0.010		36	11	
			165.8			164.9	0.9	0.0059	0.2450	0.0027	0.0065	0.0071	3.36	0.10	1.6	0.010		21	8	
			166.8	gry-green mdg-csg ep-cal-ho-sk	sph. mag.	165.8	1.2	0.0035	0.2150	0.0060	0.0065	0.0222	11.20	0.10	1.0	0.008		38	15	
			168.2		py.	167.0	1.2	0.0023	0.1200	0.0033	0.0050	0.0243	8.36	0.10	1.1	0.006		36	12	
			169.2	gry-white ls	mag. sph.	168.2	1.0	0.0063	0.2800	0.0060	0.0086	0.0115	4.55	0.10	5.5	0.010		38	11	
	170		170.1			169.2	0.9	0.0047	0.1600	0.0042	0.0050	0.0196	7.73	0.10	3.6	0.010		32	12	
			173.0	d-gry m-cal-ss	py. mag.	170.1														
			174.0			173.0	1.0	0.0036	0.0800	0.0036	0.0025	0.0194	11.40	0.10	2.1	0.010		32	22	
			175.0		pyr.py.cp.diss.	174.0	1.0	0.028	0.2400	0.0038	0.0035	0.0201	11.30	0.10	1.8	0.012		24	48	
			176.2			175.0	1.0	0.028	0.2400	0.0038	0.0035	0.0201	11.30	0.10	1.8	0.012		24	48	
			178.1	gry-white band. ls																
			178.1	grn. fng. m-sand-tf	cp.py	178.1														
	180		187.7		py															
			188.5			187.7	0.8	0.0019	0.0700	0.0178	0.0025	0.0220	27.25	0.10	1.1	0.012		25	25	
	190		190.2		cp.py.mag.diss.	188.5														
			191.8	gry-grn. chl-bio-qt-sch	py															
			192.8	gry. mdg. m-cal-ss		191.8														
			193.8	cal-band sk.	cp.py.mag.diss. band-sk	192.8	1.0	0.0021	0.0870	0.0279	0.0028	0.0189	26.10	0.10	1.0	0.010		28	21	
			196.0	gry-grn. chl-bio-qt-sch		193.8														
			196.7	m-cal-ss-gar	mag	196.0	1.0	0.0016	0.1100	0.0206	0.0035	0.0233	8.88	0.24	1.0	0.008		22	12	
			197.0	gry-grn.	py	196.7	1.0	0.0031	0.2200	0.0438	0.0040	0.0223	11.05	0.12	1.2	0.010		24	18	
			198.0	gar-chl-cal-ho-sk	mag sph	197.0	1.0	0.0130	0.3600	0.0020	0.0264	0.0950	25.85	0.16	1.4	0.014		41	23	
	200		200.0			198.0	1.0	0.0044	0.1050	0.0329	0.0025	0.0250	21.70	0.10	1.0	0.010		29	18	

F.	Depth m	Column	Bound m	Geology	Minerali- zation	Assay												
						Bound m	Length m	Au ppm	Ag ppm	Cu %	Pb %	Zn %	Fe %	Cd ppm	As ppm	Hg ppm	Ni ppm	Co ppm
	200		201.5			201	1.0	0.0023	0.0500	0.0042	0.0010	0.0342	12.70	0.10	1.0	0.008	31	18
			202.3	gry-white ls.	Pb.py	202	1.0	0.0046	0.5900	0.0093	0.1200	0.0203	6.25	0.15	1.1	0.010	25	12
			202.8	gry-green sch	Zn.cp.py.	203	1.0	0.0130	0.4300	0.1100	0.0200	0.0278	9.20	0.13	1.1	0.006	35	17
			203.8	ep-gar-cal-bio-ho-sk	cp.py mag.	203.8	0.8	0.0120	0.3600	0.0926	0.0025	0.0209	10.55	0.11	1.2	0.008	27	21
			204.1	ep-bio-qt-sch														
			205.5	l-gry to gry fng.m-ss	py.													
			206.6	gry-green ep-bio-qt-sch														
			208.4	l-gry to gry fng.m-ss gry-green														
				ep-bio-sch														
	210		211.5	p-sk														
				l-gry to gry-white fng-mdg.m-ss p-sch	limo.													
			216.9	gry-green ep-ho-bio-qt-sch p-ls	py.													
	220		220.6	gry-white ls	cp.py.	220.8	1.2	0.0081	0.8050	0.0883	0.0019	0.0099	3.59	0.30	1.3	0.006	15	12
				actinolite-ho-cal-sk	cp.py.mag.	222	1.0	0.0088	1.5000	0.0817	0.0015	0.0359	7.25	0.55	1.2	0.006	17	15
				gry-white ls		223	1.0	0.0034	0.0670	0.0405	0.0024	0.0182	4.87	0.42	1.3	0.006	10	10
				mdg-csg p-sk(1cm to 10cm)	cp.py.Pb(?) mag in p-sk	224	1.0	0.0056	0.0700	0.0361	0.0014	0.0066	2.45	0.28	3.3	0.010	10	9
						225	1.0	0.0031	0.0720	0.0354	0.0025	0.0070	2.95	0.29	2.8	0.010	11	11
						226	1.0	0.0012	0.8700	0.0787	0.0013	0.0161	4.00	0.42	2.7	0.012	15	12
						227	1.0	0.0027	0.0600	0.0325	0.0021	0.0121	4.66	0.27	1.2	0.010	11	9
						228	1.0	0.0016	0.0620	0.0293	0.0012	0.0061	2.19	0.26	1.8	0.010	11	9
						229	1.0	0.0018	0.0600	0.0068	0.0014	0.0093	4.89	0.22	2.1	0.006	12	12
						230	1.0	0.0024	0.0600	0.0030	0.0018	0.0094	2.49	0.26	2.3	0.012	13	9
						231	1.0	0.0044	0.0560	0.0043	0.0015	0.0109	2.82	0.24	1.3	0.010	13	9
						232	1.0	0.0029	0.0600	0.013	0.0015	0.0146	4.82	0.21	1.0	0.010	15	11
			233.8	gry to gry green ep-bio-to-cal-sk qt.vein	cp.py.	233	1.0	0.0051	0.1000	0.0370	0.0021	0.0369	10.85	0.33	1.0	0.008	19	18
			235.6	gry to gry white csg. ls. p-sk	cp.py.	234	1.0	0.0058	1.0000	0.0530	0.0023	0.0264	15.10	0.30	1.3	0.008	18	25
			238.3	gry. m-cal-ss		235	1.0	0.0037	0.1200	0.0096	0.0030	0.0148	6.03	0.13	1.5	0.008	19	14
			238.7	gry-green ep-cal-sk	cp.py.mag.	236	1.0	0.0030	0.0700	0.0031	0.0020	0.0134	4.46	0.13	1.0	0.012	13	11
			239.0	gry.ep-bio-qt-sch	cp.py.mag.(many) py.mag	237	1.0	0.0030	0.0700	0.0031	0.0020	0.0134	4.46	0.13	1.0	0.012	13	14
			239.5	gry.ep-cal-sk		238	1.0	0.0085	0.1000	0.0069	0.0025	0.0126	4.31	0.13	1.9	0.008	13	14
			240.2	gry-green sch.	cp.mag.py	239	1.0	0.0035	0.0700	0.0057	0.0023	0.0127	5.36	0.10	1.0	0.008	14	11
			241.9	gry-green ep-chl-cal-sk	py.	240	1.0	0.0022	0.0530	0.0031	0.0015	0.0142	11.25	0.10	1.0	0.008	17	24
			242.2	qt.vein	cp.mag.py	241	1.0	0.0170	0.5700	0.0385	0.0018	0.0109	20.55	0.10	1.2	0.006	20	77
				gry to gry white	cp.	242	1.0	0.0038	0.1200	0.0136	0.0060	0.0114	14.60	0.10	1.0	0.006	22	29
				chl-bio-qt-sch	mag.	243	1.0	0.0033	0.0810	0.0082	0.0011	0.0192	13.00	0.10	1.9	0.008	40	49
				ss-tf	py.	244	1.0	0.0016	0.0530	0.0059	0.0008	0.0140	14.35	0.10	1.1	0.010	46	31
						245	1.0	0.0044	0.1450	0.0314	0.0010	0.0159	14.75	0.10	1.1	0.010	45	49
						246	1.0	0.0130	0.2150	0.0587	0.0008	0.0200	15.35	0.10	1.1	0.010	42	45
						247	1.0	0.0055	0.1200	0.0468	0.0005	0.0180	15.50	0.10	1.0	0.008	49	48
						248	1.0	0.0030	0.510	0.0090	0.0008	0.0271	18.45	0.10	1.2	0.010	55	32
						249	1.0	0.0013	0.0500	0.0039	0.0010	0.0232	9.29	0.10	1.0	0.010	31	24
	250		248.7	qt.vein		250	1.0	0.0014	0.0500	0.0024	0.0021	0.0165	8.77	0.10	1.0	0.010	27	24

F.	Depth m	Column	Bound m	Geology	Minerali- zation	Assay												
						Bound m	Length m	Au ppm	Ag ppm	Cu %	Pb %	Zn %	Fe %	Cd ppm	As ppm	Hg ppm	Ni ppm	Co ppm
	250		250.30	qt-vein		250	1.0	0.0014	0.0500	0.0024	0.0021	0.0165	6.77	0.10	1.0	0.010	27	24
				chl-cal-ho-sk	cp mag. py.	251	1.0	0.0060	0.2400	0.0434	0.0014	0.0117	9.57	0.10	1.1	0.010	23	20
						252	1.0	0.0030	0.1800	0.0186	0.0020	0.0120	12.65	0.23	1.0	0.008	26	18
						253	1.0	0.0035	0.6100	0.0530	0.0023	0.0134	11.95	0.26	1.1	0.006	28	20
						254	1.0	0.0027	0.3800	0.0299	0.0028	0.0159	10.35	0.18	1.2	0.008	26	16
			254.70	d-gry		255	1.0	0.0010	0.0620	0.0027	0.0026	0.0154	9.25	0.16	1.0	0.008	31	16
			256.10	chl-bio-trem-qt-sch		256	1.0	0.0010	0.0570	0.0013	0.0030	0.0229	9.18	0.10	1.0	0.010	30	18
			∠72°	gry to gry-brown ls	mag.	257	1.0	0.0010	0.0590	0.0005	0.0018	0.0121	7.79	0.19	1.1	0.010	26	16
			258	gry m-cal-ss cal.vein		258	1.0	0.0010	0.0720	0.0027	0.0025	0.0352	8.90	0.16	1.0	0.010	31	23
						259	1.0	0.0010	0.0700	0.0038	0.0025	0.0151	8.90	0.13	1.0	0.010	24	20
260			260.10	gry to gry green	py.	260	1.0	0.0010	0.0810	0.0084	0.0018	0.0172	9.67	0.12	1.1	0.008	29	19
			260.9		mag.py.	261	1.0	0.0010	0.0600	0.0041	0.0020	0.0097	7.34	0.18	1.1	0.008	21	14
			262	gry to d-gry	cp mag py.	262	1.0	0.0013	0.0790	0.0083	0.0023	0.0117	8.04	0.20	1.0	0.010	27	16
			263.40	chl-bio-ho-cal-sk		263	1.0	0.0010	0.0790	0.0063	0.0018	0.0154	9.21	0.18	1.1	0.008	32	19
				gry fng-mdg.		264	1.0	0.0023	0.0570	0.0031	0.0021	0.0143	9.40	0.12	1.2	0.010	36	18
				m-cal-ss	mag.	265	1.0	0.0010	0.0600	0.0025	0.0023	0.0148	11.25	0.10	1.0	0.010	34	20
			266.10		py.	266	1.0	0.0010	0.0600	0.0010	0.0025	0.0119	9.37	0.16	1.0	0.010	31	16
				gry to d-gry		267	1.0	0.0075	0.1130	0.0187	0.0026	0.0129	7.92	0.18	1.1	0.010	24	17
				chl-bio-ho-qt-cal-sk	mag.	268	1.0	0.0020	0.0640	0.0043	0.0028	0.0143	9.61	0.17	1.0	0.012	29	19
						269	0.7	0.0013	0.0600	0.0005	0.0028	0.0115	7.92	0.17	1.0	0.008	29	17
			269.70			269.7	0.7	0.0025	0.0620	0.0077	0.0010	0.0119	7.74	0.10	1.0	0.010	30	19
270				ls. m-cal-ss qt	mag.													
			274.9	gry. fng. band. ga-ls.	limo. mag													
			278.6	gry fng-mag.														
			279.4	m-cal-ss	mag. py.													
280			∠70°	gry to gry-green chl-bio-qt-sch	limo. py. mag.													
290																		
				sch														
						294.9	1.1	0.0035	0.1350	0.0193	0.0009	0.0135	14.40	0.10	1.0	0.010	51	22
						296	1.0	0.0010	0.0500	0.0030	0.0008	0.0123	14.50	0.10	1.0	0.012	47	19
						297	1.0	0.0010	0.0530	0.0073	0.0007	0.0120	13.55	0.10	1.2	0.010	43	20
						298	1.0	0.0017	0.0600	0.0066	0.0007	0.0077	12.30	0.10	1.1	0.012	33	34
						299												

F.	Depth m	Column	Bound m	Geology	Minerali- zation	Assay																		
						Bound m	Length m	Au ppm	Ag ppm	Cu %	Pb %	Zn %	Fe %	Cd ppm	As ppm	Hg ppm	Ni ppm	Co ppm						
	300																							
				303 304 sch	ep.mag py	303 304	1.0	0.0016	0.0530	0.0041	0.0010	0.0110	12.45	0.10	1.1	0.010	35	26						
	310		310.2	gry. ls. p-sk	limo. mag																			
	320		322	fault breccia ls-cal-ss-breccia w/cly-qt sch	limo. mag																			
	330			sch																				
	340			sch																				
	350																							

F.	Depth m	Column	Bound m	Geology	Minerali- zation	Assay															
						Bound m	Length m	Au ppm	Ag ppm	Cu %	Pb %	Zn %	Fe %	Cd ppm	As ppm	Hg ppm	Ni ppm	Co ppm			
	350			sch. fault breccia																	
	360		359.85	l-gry d-gry ep-ho-cal-sk	limo. mag.																
			362.80	mag.ls, m-cal-ss																	
			363.70	gry. mag. m-cal-ss																	
			366.0	white qt-vein																	
			366.56	d-gry ep																	
			367.0	m-cal-ss	limo.many																
			367.40	qt-vein gry fng-mdg qt-vein m-cal-ss	limo. mag.																
	370		369.60	gry to l-gry qt.cal. sch.	py. many limo. mag. mag.many																
			371.60	gry fng. m-ss																	
			371.90	gry fng m-ss	py.many. mag.																
			375.30	gry to gry white ep-ho-cal-sk qt-vein	mag.	375															
						376	1.0	0.0043	0.3500	0.0329	0.0150	0.0127	10.40	0.10	1.0	0.010		31	19		
						377	1.0	0.0018	0.0570	0.0034	0.0012	0.0065	6.08	0.10	1.0	0.018		23	15		
						378	1.0	0.0032	0.0530	0.0148	0.0006	0.0120	8.97	0.22	1.1	0.014		37	18		
						379	1.0	0.0030	0.1300	0.0348	0.0007	0.0125	9.85	0.10	1.0	0.018		33	17		
			378.60	mag. (ls. m-ss.sk. qt-vein)	mag.	379	1.0	0.0036	0.0810	0.0139	0.0014	0.0131	10.40	0.10	1.1	0.012		32	20		
	380				cp.mag.py	380	1.0	0.0026	1.1000	0.1800	0.0010	0.0120	8.83	0.10	1.0	0.010		27	18		
			382.00	gry fng-mag. ep m-ss	limo. mag.	381	1.0	0.0021	0.0800	0.0054	0.0010	0.0135	8.81	0.10	1.0	0.012		39	23		
			383.80	mag. gry to d-gry (ls. m-ss.sk.qt-vein)	py.many mag.	382	1.0														
						383	1.0														
						384	1.0	0.0790	1.3000	0.3000	0.0010	0.0138	8.92	0.10	1.0	0.008		35	19		
						385	1.0	0.0030	0.0630	0.0163	0.0009	0.0148	9.45	0.10	1.9	0.010		29	16		
						386	1.0	0.0017	0.0500	0.0031	0.0009	0.0134	8.69	0.10	1.0	0.016		35	17		
						387	1.0	0.0016	0.0500	0.0029	0.0008	0.0134	7.75	0.10	1.0	0.016		34	15		
					cp.imp.	388	1.0	0.0062	0.1850	0.0390	0.0010	0.0144	10.25	0.10	1.1	0.016		28	17		
			389.00	white mag-csg ep-ls	mag.	389	1.0	0.0027	0.0570	0.0044	0.0018	0.0058	4.74	0.10	1.0	0.014		17	10		
	390		390.90	ep-ho-cal-sk	limo mag.	390	1.0	0.0014	0.0600	0.0007	0.0018	0.0040	2.78	0.10	1.0	0.016		15	9		
			391.50	gry to d-gry fng-mdg m-cal-ss	mag.	391	1.0	0.0014	0.0500	0.0018	0.0008	0.0107	8.24	0.10	1.1	0.022		28	14		
			392.60	gry-white ls		392	1.0	0.0017	0.0500	0.0044	0.0007	0.0113	9.42	0.10	1.2	0.010		33	16		
			393.50	gry to gry-white sil-ss	py.mag.	393	1.0	0.0020	0.0500	0.0033	0.0006	0.0084	6.62	0.10	1.0	0.018		18	13		
			394.30	d-gry m-cal-ss	py.mag(many)	394	1.0	0.0034	0.2350	0.0246	0.0010	0.0108	7.62	0.10	1.1	0.012		22	13		
			395.00	mag.(m-ss.qt)	cp.mag.py	395	1.0	0.0046	0.2300	0.0301	0.0009	0.0115	7.22	0.10	1.0	0.014		18	13		
			396.20	d-dry mdg-csg m-cal-ss. ep	py.mag	396	1.0	0.0095	0.2150	0.0190	0.0021	0.0074	6.41	0.10	1.2	0.014		23	16		
			397.20	gry-white ls.		397.2	1.2														
			398.60	gry to gry-green																	
	400		400.00	ep-chl-ho-cal-sk	mag.																

巻末資料11 マイズ地区ターチヨウ鉱徴地 (MJCA-M1孔)
ボーリング柱状図

F.	Depth m	Column	Bound m	Geology	Minerali- zation	Assay																	
						Bound m	Length m	Au ppm	Ag ppm	Cu %	Pb %	Zn %	Fe %	Cd ppm	As ppm	Hg ppm	Ni ppm	Co ppm					
	0																						
			2.86		l-gry.fng-mdg bio-qt-gar band.sch.																		
	10																						
			12.90		l-gry. fng band. m-ss.																		
	20		21.10		∠70° d-gry-bio-gar-sch.	py diss																	
			21.90		m-ss																		
			22.30		gry.mdg gar-bio-qt-sch.																		
			24.70																				
			27.45		trem.imp	∠60' mus-bio-qt.v. 5cm																	
			28.18			∠70' ep.v 1cm																	
			29.50			∠45' qt-bio-cty.v 6cm																	
	30		31.20																				
			31.50		qt-gar-ep band.m-sk																		
			33.70																				
			36.10																				
			36.78		∠80 l-gry-gry.fng. m-ss	py.vlet. many																	
			38.95																				
	40		40.13		bio-qt.sch.																		
			40.50		m-ss																		
					l-gry.fng bio-qt sch	py. diss. ep. imp.																	
			45.30																				
			45.70		d-gry.bio-gar-sch.																		
			46.13		l-gry.sch																		
					l-gry-gry.fng m-cal-ss mig(ss/sk)w=70	py. diss. and viet. many																	
	50		49.40																				

F	Depth m	Column	Bound m	Geology	Minerali- -zation	Assay																	
						Bound m	Length m	Au ppm	Ag ppm	Cu %	Pb %	Zn %	Fe %	Cd ppm	As ppm	Hg ppm	Ni ppm	Co ppm					
	50			l-gry. fng. m-ss																			
			53.13																				
			54.93	mig. m-ss /sk	py.diss.	53.13	0.9	0.0010	0.0620	0.0018	0.0030	0.0348	6.27	0.28	1.2	0.010		36	23				
			57.20	l-gry. fng. m-ss		54.93	0.9	0.0010	0.0700	0.0013	0.0025	0.0176	4.37	0.10	1.3	0.012		9	14				
			58.20	d-gry.csg. bio-chl-ho-gar m-sk	mag.py.sph? diss	57.20																	
			59.20			58.20	1.0	0.0019	0.5900	0.0118	0.0030	0.0530	15.30	0.15	1.1	0.010		63	35				
			60.10			59.20	1.0	0.0010	0.3600	0.0051	0.0032	0.0415	6.11	0.16	1.1	0.010		17	21				
			60.10			60.10	0.9	0.0030	1.4000	0.0252	0.0040	0.0511	14.75	0.21	1.9	0.008		54	92				
	60			l-gry.fng. m-ss																			
			65.00		<25° py.v 3cm																		
				l-gry.fng. m-tf-ss. epi-actino? imp.																			
	70		70.50		<30° py.v 8cm																		
			71.30		<45° py.v 20cm	71.30	0.2	0.0010	0.3650	0.0025	0.0010	0.0223	6.31	0.10	1.1	0.008		11	16				
			75.97			71.50																	
				l-gry.fng. band. m-cal-ss																			
	80																						
			83.95		py.bio xeno. w=8cm																		
	90																						
			93.20	d-gry.gar-m-sk	<40° sh.20cm w/py-chl.	93.20	0.77	0.0010	0.2400	0.0034	0.0018	0.0178	6.62	0.10	1.0	0.006		11	16				
			93.97	l-gry.fng. m-cal-ss	py-diss.many	93.97	1.33	0.0010	0.0910	0.0008	0.0005	0.0060	1.98	0.10	1.0	0.008		5	9				
			95.30	whl.mdg.m-ss trem? patch		95.30	1.30	0.0010	0.0850	0.0005	0.0005	0.0062	1.91	0.17	1.0	0.010		6	16				
			96.60			96.60																	
				gry.band. m-ss	wk.py.diss																		
	100																						

F	Depth m	Column	Bound m	Geology	Minerali- zation	Assay																
						Bound m	Length m	Au ppm	Ag ppm	Cu %	Pb %	Zn %	Fe %	Cd ppm	As ppm	Hg ppm	Ni ppm	Co ppm				
	100			l-gry-gry.mdg-fng. m-(tf)-ss. ep.imp.	py-diss wk.																	
			103.00																			
			104.7	d-gry. chl-gar-sk.	py patch.or py vlet. many	104.7	0.8	0.0010	0.0800	0.0009	0.0010	0.0199	4.04	0.24	1.1	0.010	31	14				
			105.5			105.5	0.8	0.0010	0.0800	0.0013	0.0010	0.0243	4.64	0.10	1.1	0.010	37	15				
			106.3			106.3	0.9	0.0027	0.1400	0.0034	0.0085	0.0350	4.12	0.40	1.3	0.008	55	16				
			107.2	gry.fng. sch-m-ss ∓ 65°		107.2																
	110				py patch or vlet. wk.																	
			112.30	mig.ss/sk (act.sk)		112.3	1.1	0.0017	0.0760	0.0014	0.0010	0.0215	4.44	0.17	1.0	0.010	18	10				
			114.50	75° gry.fng-mdg. sch-m-tf-ss.		113.4	1.1	0.0014	0.1020	0.0061	0.0013	0.0133	3.04	0.10	1.0	0.010	8	10				
			114.50			114.5																
			120.10	75°																		
			121.0	gry.band. m-sk. bio.many.	py diss.many.	120.1	1.1	0.0014	0.1320	0.0027	0.0070	0.0244	3.70	0.50	1.1	0.010	44	13				
			122.40			121.2	1.2	0.0021	1.7000	0.0064	0.0800	0.0280	4.00	0.43	1.2	0.008	35	10				
			122.40	gry.fng. band-m-ss.		122.4																
			128.00																			
			128.00	gry.m-cal-ss gar-ep imp.																		
	130				wk.py.diss. w/py vlet																	
			132.30	band.m-sk.																		
			132.97	m-cal-ss. 75°																		
			135.97	l-gry-gry m-ss ep imp.																		
			138.97																			
	140				py.net.40cm																	
			141.87	45°		141.87	0.4	0.0010	0.3850	0.0066	0.0025	0.0140	3.62	0.10	1.4	0.006	10	12				
			142.27			142.27																
			144.97	l-gry.fng. sch-m-cal-ss																		
			145.60	45°	py-chl. v 2cm																	
			147.97																			
	150				st.py.diss.																	

F.	Depth m	Column	Bound m	Geology	Mineralization	Assay															
						Bound m	Length m	Au ppm	Ag ppm	Cu %	Pb %	Zn %	Fe %	Cd ppm	As ppm	Hg ppm	Ni ppm	Co ppm			
	150		150.97	m-cal-ss.																	
				l-gry. m-tf-ss. ep.gar.imp																	
			153.97		py.diss.wk w/py vlet																
	160		162.97																		
			163.8																		
			165.97	sh.w/sil.zone																	
			168.0																		
			168.97	my.																	
			169.7	m-cal-ss																	
	170		169.85	blk.bio-sch																	
				l-gry.fng~mdg band-m-ss																	
			174.77		gal?																
			178.28		75° py-chl. v.1cm																
			178.75																		
			179.9	mig.ss/sk (gar-chl. sk)	py.vlet many	178.75															
	180					179.9	1.15	0.0010	0.3400	0.0029	0.0035	0.0943	3.08	1.28	1.1	0.008		11	10		
			181.2	gry.fng m-ss	wk.py.diss																
			181.7	80° chl-gar. sk)	pyr.cp.sph?diss	181.2	1.30	0.0010	0.2300	0.0027	0.0012	0.0194	3.68	0.10	1.0	0.008		13	10		
						181.7	0.5	0.0012	0.2450	0.0052	0.0100	0.0611	5.85	0.61	1.1	0.006		67	27		
				m-cal-ss ep.imp	wk.py.diss																
			185.0																		
			186.28	mig.ss/sk	py.diss.many	185.0															
						186.28	1.28	0.0010	0.1200	0.0015	0.0015	0.0169	2.84	0.10	1.0	0.010		12	9		
				l-gry-gry.mdg m-cal-ss	gal? wk.py.diss																
			189.4			189.4	0.4	0.0010	0.1000	0.0048	0.0015	0.0178	2.57	0.19	1.0	0.012		18	11		
	190		189.8	sk	st.py.diss	189.8	0.3	0.0018	0.0600	0.0014	0.0014	0.0190	3.32	0.18	1.1	0.010		14	10		
			190.1	m-cal-ss	wk.py.diss	190.1	0.4	0.0010	0.0600	0.0009	0.0015	0.0067	1.45	0.10	1.2	0.010		8	12		
			190.54	chl-gar-sk	st.py.diss	190.5															
				l-gry m-cal-sk gar imp	wk.py.diss																
			194.0			194.0	0.4	0.0010	0.0810	0.0022	0.0050	0.0192	3.45	0.10	1.2	0.010		37	12		
			194.4		qt-py nat cp-gal.diss	194.4															
			196.1	72°																	
				l-gry m-cal-ss	wk.py.diss																
			198.1																		
				l-gry.fng epi-gar-sk																	
	200																				

F.	Depth m	Column	Bound m	Geology	Mineralization	Assay																	
						Bound m	Length m	Au ppm	Ag ppm	Cu %	Pb %	Zn %	Fe %	Cd ppm	As ppm	Hg ppm	Ni ppm	Co ppm					
	200		200.10	ep-gar-sk	wk-py.diss 65° qt.py v 10cm																		
			201.97	gry.fng-mdg m-ss																			
			202.70	gry.mdg gar-epi band.sk																			
			205.20	70°																			
			205.90	80° sk.w=10°																			
			206.40	l-gry.m-ss																			
			206.80	fng.ep-gar-sk																			
			207.70	m-ss																			
			208.30	grn.fng epi-gar-sk			208.3																
			209.40	csg.sk		st-py-diss	209.4	1.1	0.0010	0.2450	0.0010	0.0100	0.0371	3.88	0.41	1.1	0.008	73	16				
	210		210.00		70° py. v 20cm	210.0	0.6	0.0010	0.1040	0.0005	0.0080	0.0332	3.64	0.27	1.0	0.008	58	12					
			210.80	grn.fng ep-gar-sk w/qt vlet	st.py.diss vlet-patch	210.8	0.8	0.0015	3.7000	0.0621	0.0150	0.0321	5.50	0.38	1.2	0.008	63	17					
						211.8	1.0	0.0010	0.3400	0.0058	0.0110	0.0389	4.85	0.32	1.0	0.008	93	16					
						212.8	1.0	0.0010	0.5900	0.0058	0.0150	0.0628	4.91	1.75	1.1	0.008	84	17					
						213.8	1.0	0.0010	0.1200	0.0021	0.0080	0.0400	4.06	0.47	1.1	0.008	69	16					
						214.8	1.0	0.0010	0.1650	0.0034	0.0085	0.0410	4.99	0.37	1.0	0.008	66	19					
			216.00	gry. m-tf-ss	st.py.diss vlet.patch w/qt net	216.0	1.2	0.0010	0.2400	0.0025	0.0110	0.0413	4.65	0.59	1.1	0.008	69	22					
					70°	217.0	1.0	0.0010	0.1400	0.0020	0.0050	0.0204	2.18	0.41	1.0	0.010	17	18					
						218.0	1.0	0.0010	0.1400	0.0005	0.0030	0.0131	2.23	0.17	1.0	0.010	6	9					
						219.0	1.0	0.0010	0.1500	0.0005	0.0011	0.0089	2.62	0.10	1.0	0.012	5	8					
	220		220.07		70° py vlet cp.diss	220.1	1.0	0.0010	0.1180	0.0005	0.0008	0.0100	2.78	0.10	1.1	0.008	6	9					
					wk-py-diss																		
			226.20		45° qt.gar.bio.py v 60cm	226.2																	
			226.80		30° py.v 3cm	226.8	0.6	0.0010	0.0600	0.0005	0.0005	0.0093	2.73	0.10	1.8	0.008	7	20					
			227.80	l-gry-mdg band. m-ss																			
	230					230	0.8	0.0010	0.5300	0.0045	0.0125	0.0346	4.83	0.28	1.2	0.008	22	16					
			230.80	70° gar-epi-sk	mag.py.diss	230.8																	
			232.10	l-gry-mdg m-tf-ss		232.1	1.3	0.0010	0.4100	0.0081	0.0075	0.0545	5.28	1.25	1.2	0.010	45	19					
			233.75	wht ls. w/sk	mag.py.diss	233.75																	
			234.85	77° chl-gar-sk dk-gry.ep.imp	mag.py.cp.gal. sph.diss.	234.85	1.1	0.0011	0.2450	0.0030	0.0040	0.0395	4.33	0.54	1.1	0.008	21	14					
						236.0	1.15	0.0015	0.2850	0.0016	0.0016	0.0108	3.29	0.33	1.1	0.008	5	12					
						237.0	1.0	0.0016	0.1600	0.0064	0.0013	0.0592	8.78	0.23	1.0	0.006	48	28					
			238.10	l-gry.fng-mdg m-ss		238.1	1.1	0.0025	0.1650	0.0040	0.0017	0.0470	7.83	0.13	1.1	0.006	53	26					
	240																						
			243.70	wht-l-gry.mdg m-tf-ss																			
			248.30	wht.csq qt-bio-sch(m-ss)																			
	250																						

F.	Depth m	Column	Bound m	Geology	Mineralization	Assay														
						Bound m	Length m	Au ppm	Ag ppm	Cu %	Pb %	Zn %	Fe %	Cd ppm	As ppm	Hg ppm	Ni ppm	Co ppm		
	250			wht.csg qt.bio-sch. (m-ss)																
	2.64 3.0		253.2	65' gry.mdg m-tf-ss	60° qt v 15cm															
			254.6		80° mag.bio v w=4cm															
			258.65 259.40	l-gry-gry mdg mus-bio-qt sch-m-tf-ss	qt.chl.mag.py. block w=75cm	258.65 259.4	0.75	0.0010	0.2350	0.0005	0.0007	0.0110	4.92	0.10	1.1	0.006	5	8		
			265.35 266.15	sch-m-tf-ss	75° qt.chl.bio. mag.py. w=80cm	265.35 266.15	0.80	0.0010	0.3400	0.0021	0.0026	0.0189	5.98	0.11	3.2	0.006	11	14		
			267.6 268.75		mag.py.diss. or vlet many	267.6 268.75	1.15	0.0022	0.5400	0.0171	0.0050	0.0109	6.25	0.44	1.1	0.006	5	17		
			269.9 270.1			269.9	1.15	0.0014	0.8700	0.0036	0.0080	0.0213	6.05	0.30	1.2	0.006	5	13		
			274.7 276.4	fng-mdg m-tf-ss	qt.py.mag.net many	274.7 275.55	0.85	0.0010	0.3650	0.0016	0.0500	0.0340	3.10	1.40	1.2	0.006	5	13		
			276.4			276.4	0.85	0.0019	0.2670	0.0010	0.0150	0.0125	3.22	0.20	1.2	0.008	5	11		
			280.5 281.35 282.2	qt.py.mag.net		280.5 281.35	0.85	0.0012	0.2510	0.0062	0.0087	0.0504	8.20	0.10	1.1	0.008	43	29		
			282.5			282.2	0.85	0.0010	0.3800	0.0019	0.0100	0.0114	3.65	0.12	1.1	0.006	5	12		
			284.3	qt-bio.sch.20cm m-tf-ss	py. dissem.zone w/py.vlet															
			288.87		85° qt-gar v 10cm															
			291.8 292.9	m-tf-ss	65° qt-py-mus-bio v 10cm 60° qt-py-mus-bio v 40cm															
			297.97		sch.20cm															

F.	Depth m	Column	Bound m	Geology	Minerali -zation	Assay																						
						Bound m	Length m	Au ppm	Ag ppm	Cu %	Pb %	Zn %	Fe %	Cd ppm	As ppm	Hg ppm	Ni ppm	Co ppm										
300	300		300.8	gry.fng.band m-tf-ss d-gry-patch of fng.py+qt	80° py.diss many w=10cm																							
			306.3			grn-gry.csg epi-gar-band-sk.																						
			306.7																									
			309.65	310		80° chl.gar.qt.sk mag.py.ep.diss w=25cm py.pyr.mag.diss	309.65																					
			309.9				sk	309.9	0.25	0.0778	11.5000	0.1380	0.0380	0.8300	10.95	15.00	1.3	0.006				23	11					
			310.5				l-gry.csg ls	310.5	0.6	0.0017	2.0000	0.0107	0.0070	0.0616	2.94	1.80	6.2	0.006				14	7					
			311.5				d-grn.csg chl-gar-epi-sk	311.5	1.0	0.0010	4.3000	0.0076	0.0250	0.0837	5.39	2.00	2.2	0.008				24	13					
			312.4				l-gry.mdg.band-ls wk-sk	312.4	0.9	0.0012	5.6900	0.0154	0.0800	0.3000	3.28	4.00	1.5	0.008				24	9					
			312.9				d-grn.mdg.sk	312.9	0.7	0.0010	0.2850	0.0047	0.0100	0.0727	6.57	0.75	1.8	0.006				30	14					
			313.1				ss/sk-mig epi-qt-imp	313.1	1.1	0.0010	0.2600	0.0034	0.0030	0.0085	2.21	0.11	1.2	0.006				5	14					
			314.2					314.2																				
314.9	310		45° py.qt.v 10cm 75° py.mag.qt.net 30cm 70° py-qt.net.8cm	314.9																								
315.4				gry.mdg.m-ss																								
315.7																												
316.35																												
316.35																												
320	320			65° mag.py.qt. v 5cm																								
					327.5		75° py.chl.bio v 5cm																					
					329.37																							
					330	330			py.diss.many	330.0	d-grn.sk																	
										331.0	wht.mdg.ss																	
										331.5	chl-epi-gar-sk.																	
										336.9	l-gry-gry mdg.m-ss																	
										337.1																		
					340	340			40° qt.py.bio.chl. epi.gar. v 20cm py.diss.many	336.9	d-grn-gry.mdg bio-chl-m-cal-ss																	
										337.1																		
										341.6	grn-gry.mdg. band.epi-chl-gar- m-sk	py.mdg.diss.many	341.6	0.9	0.0010	0.1200	0.0041	0.0060	0.0365	5.65	0.19	3.2	0.010			42	22	
342.5	0.9	0.0010	0.0570	0.0009						0.0065			0.0393	6.15	0.29	2.1	0.010			48	20							
343.4	0.9	0.0010	0.1300	0.0032						0.0100			0.0394	6.30	0.21	2.8	0.010			57	25							
344.3	d-grn-gry.mdg m-cal-ss	py.diss.many	344.3																									
350	350																											

F.	Depth m	Column	Bound m	Geology	Mineralization	Assay															
						Bound m	Length m	Au ppm	Ag ppm	Cu %	Pb %	Zn %	Fe %	Cd ppm	As ppm	Hg ppm	Ni ppm	Co ppm			
	350			d-grn-gry.mdg. m-cal-ss	py.diss. many.																
	354.1			85° l-gry.mag.band. m-ss.	shear zone w/py.qt. net.	354.1															
	355.8					355.8	0.9	0.0010	0.3800	0.0045	0.0070	0.0379	6.84	0.31	1.5	0.012	39	25			
	357.8			grn.mdg.																	
	358.3			epi-gar-chi-sk.	blk.fng.mag. pyband 80cm	358.3															
	359.1					359.1	0.8	0.0019	2.8000	0.0505	0.0300	0.1700	10.25	2.40	1.5	0.012	29	22			
	360			blk.mdg.sch	py.diss.many.																
	361.0			l-gry-wht. fng-mdg. m-ss.																	
	366.2			40° d-gry.gar-ho-sk	sh.w/py-diss																
	366.9																				
	370			gar-bio-ho-sk.	py-many.																
	380			l-gry-dry. fng-mdg. m-ss.																	
	380.0				40° bio.gar.epi -chf sch.																
	380.9			45° gar-chi-sk.	w/py-diss many	380.9															
	381.35			80° m-ss	py.net 45cm	381.9	1.0	0.0010	0.5800	0.0171	0.0081	0.0313	5.28	0.52	1.1	0.010	16	19			
	382.0			epi-sk.		382.9	1.0	0.0010	0.3400	0.0053	0.0076	0.0291	4.94	0.31	1.2	0.008	24	18			
	382.7			m-ss																	
	383.0			epi-chf sk	py.diss.many	383.9	1.0	0.0014	0.5800	0.0044	0.0100	0.0288	4.50	0.58	2.8	0.008	26	17			
	383.9			l-gry.fng. m-ss.	py.diss.																
	387.2			50° grn. epi-gar-chi-sk.	py.mag.diss. many.	387.2															
	388.3					388.3	1.1	0.0012	0.3650	0.0161	0.0100	0.0540	4.52	1.80	1.8	0.006	24	18			
	389.4					389.4	1.1	0.0026	0.5100	0.0284	0.0105	0.0487	8.14	0.82	2.4	0.010	36	21			
	390			l-gry.mdg m-ss.																	
	393.7				50° py.vlet.20cm																
	396.6				40° py.bio.dyp v. 10cm																
	399.3				50° chl.gar.py band 5cm																
	400																				

卷末資料12 地名表記対比表

巻末資料12 地名表記対比表(1/2)

日本語	中国語標音 (慣用つづり)	中国文字
アータイ	ertai	二台
アクシク	akexike	阿克希克
アクチ	akeqi	阿克齊
アクトス	aketasi	阿克塔斯
アクハレン	akeharen	阿克哈仁
アクブラク	akebulake	阿克布拉克
アシュレ	ashele	阿舍勒
アトバイ	atuobai	阿托拜
アバゴン	abagong	阿巴宮
アユブラク	ayoubulake	阿尤布拉克
アルタイ	aletai (Altay)	阿勒泰(阿尔泰)
イエセンカラ	yesenkela	耶森喀臘
イテク	yitieke	依鉄剋
イルティシ	eerqisi	額尔齐斯
イルティシ川	eerqisihe	額尔齐斯河
ウトブラク	wutubulake	烏図布拉克
ウラスコ	wulasigou	烏拉斯溝
ウルトンサイ	wuertengsayi	烏爾騰薩依
ウルムチ	wulumuqi (Urumqi)	烏魯木齊
ウルング川	wulunguhe	烏倫古河
カインブラク	kaiyinbulake	開因布拉克
カカタレ	keketale	可可塔勒
カカトーハイ	keketuohai	可可託海
カラシャンガル	kalaxiangeer	嫩拉先格尔
カラス	kalasu	喀臘蘇
カラトク	kalatongke	喀拉通克
カラマイ	kelamayi	克拉瑪依
カンブティボ	kangbutiebao	康布鉄堡
クーウェイ	kuwei	庫威
クジチャル	kezijaer	克孜加爾
クマラシャン	kumalashan	庫馬拉山
クリン	kelin	克林
クルムート	kuermutu	庫爾木図
コクドク	kekekuduke	科克庫都克
サイド	saidu	賽都
サルコブ	sarekuobu	薩熱闊布
サルブラク	saerbulake	薩爾布拉克
ジェートンピェクスル	jietenbiekezele	杰騰別克澤勒

巻末資料12 地名表記対比表(2/2)

日本語	中国語標音 (慣用つづり)	中国文字
ジェラテカラタウ	jieledekalatawu	結勒的嫩拉它烏
シチャフ	xichahe	西岔河
シャオカラス	xiaokalasu	小喀拉蘇
ジャポサル	jiabosaer	加波薩尔
ジュンガル盆地	zhungeerpendi	准葛尔盆地
ジラバイ	jilabai	吉拉拜
ジンシン	jinxin	金 心
ジンパ	jinba	金倪
スプト	supute	蘇普特
ソルクドク	suoerkuduke	索爾庫都克
ターカラス	dakalasu	大喀拉蘇
ターチョウ	daqiao	大橋
チャシャ	qiaxia	恰夏
チャベンプラク	qiabenbulake	恰奔布拉克
チュンホル	chonghuer	冲乎尔
チョウシャハラ	qiaxiahala	喬夏哈拉
チルスク	qiaersike	恰尔斯克
チンギス	chengjisi	成吉思
チンホ	qinghe	青河
テミルト	tiemierte	鉄米爾特
ドラナサイ	duolanasayi	多拉納薩依
ドラナル	duolanale	多拉納勒
ハバホ	habahe	哈巴河
ハルシーリン	haerxilin	哈尔錫林
ファシュゴウ	huashugou	樺樹溝
フハイ	fuhai	福海
フユン	fuyun	富蘊
ブルゴン	buergen	布尔根
ブルジン	buerjing	布爾津
ペイトン	beitun	北屯
ホンドン	hongdun	紅 墩
ホンリン	hongling	紅嶺
マイズ	maizi	麦茲
マインガボ	mayinebo	瑪因鄂博
モンカイ	monkuai	蒙塊
モンク	monku	蒙庫
ラオシャンコウ	laoshankou	老山口

卷末資料13 地質凡例と略号

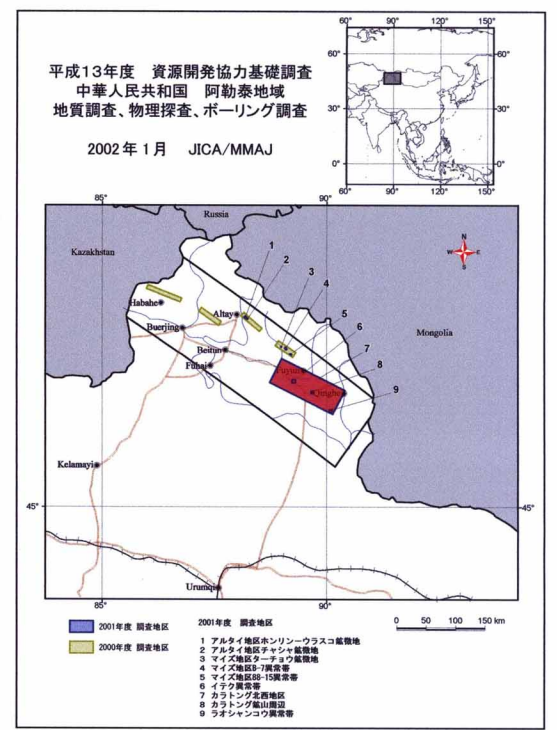
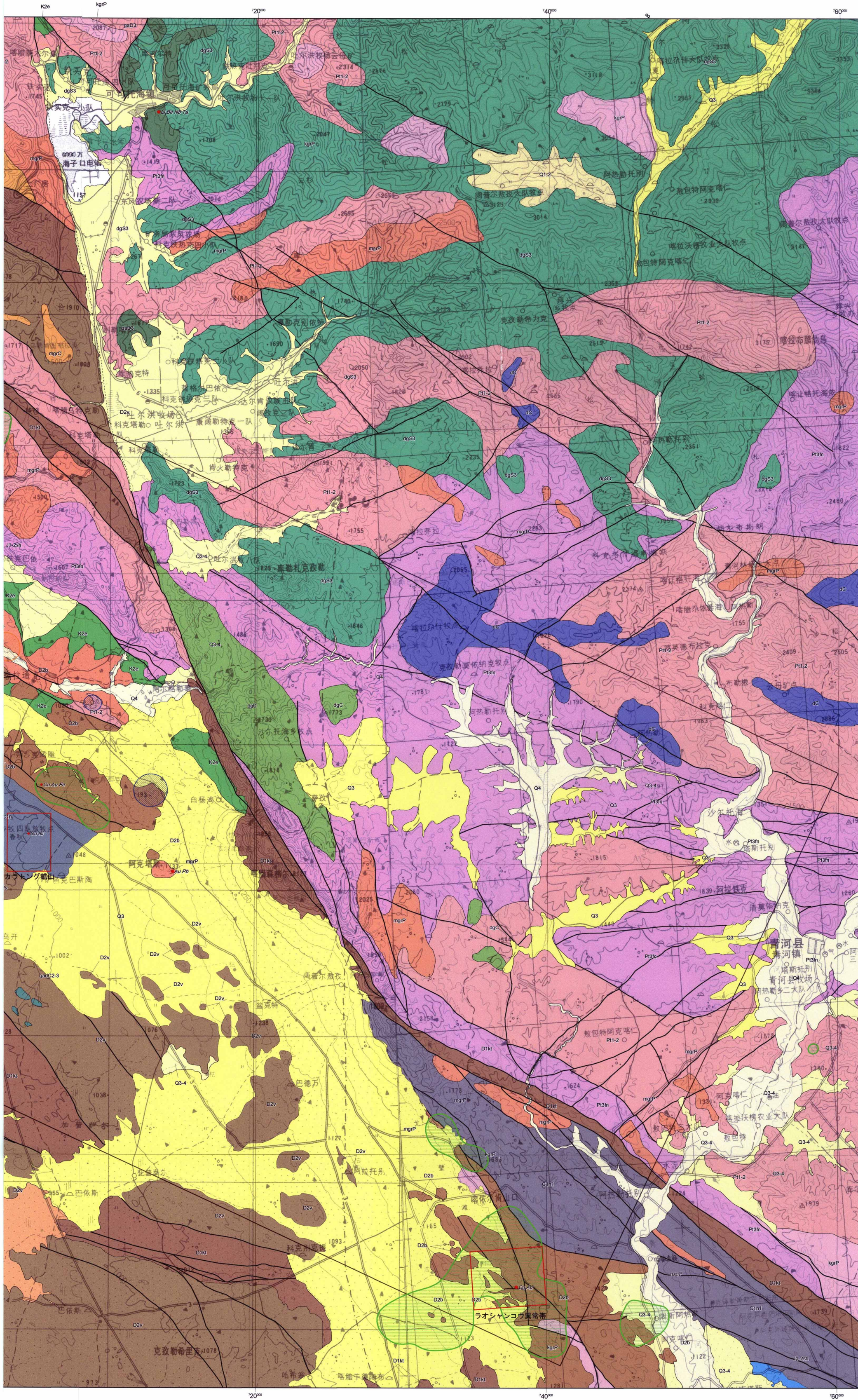
巻末資料13 地質凡例と略号

色番	記号	和名	English	Abbrev.
		堆積岩 (sedimentary rocks)		
19		礫岩	conglomerate	cgl.
2		砂岩	sandstone	ss.
23		シルト岩	siltstone	silt.
8		頁岩	shale	sh.
8		粘板岩	slate	sl.
8		千枚岩	phyllite	phyl.
33		石灰岩	limestone	ls.
		変成岩 (metamorphic rock)		
		変成砂岩	meta-sandstone	m-s.
20		片岩	schist	sch.
5		凝灰質片岩	tuffaceous schist	tf-sch.
33		石灰質片岩	calcareous schist	cal-sch.
36		片麻岩	gneiss	gn.
17		マイロナイト 圧砕岩	mylonite	my.
		混成岩	migmatite	mig.
6		スカルン	skarn	sk.
		火山碎屑岩 (pyroclastic rocks)		
32		火山角礫岩	volcanic breccia	vb.
32		凝灰角礫岩	tuff breccia	tb.
5		凝灰岩	tuff breccia	tf.
21	*	焼付	gossan	gossan
15	*	ケリ-カヤハ-	green copper	Cu

色番	記号	和名	English	Abbrev.
		火成岩 (igneous rocks)		
4		流紋岩	rhyolite	rhy.
3		デイサイト (石英安山岩)	dacite	da.
29		安山岩	andesite	an.
34		玄武岩	basalt	ba.
13		石英斑岩	quartz porphyry	qp.
21		ひん岩	porphyrite	por.
7		粗粒玄武岩	dolerite	dol.
28		pegマタイト	pegmatite	peg.
15		花崗岩	granite	gr.
		閃長岩	syenite	syn.
11		花崗閃緑岩	granodiorite	grd.
35		閃緑岩	diorite	dio.
12		はんれい岩	gabbro	gab.
12		角閃岩	amphibolite	amph.
12		かんらん岩	peridotite	peri.
		構造 (structures)		
12		断層	fault	f.
12		破砕帯	shear zone	s.
		岩脈	dyke, dike	dike
		層理面	bedding	bed.
		片理面	schistosity	sch.
		節理面	joint	j.
		脈	vein	v.
		細脈	veinlet	v- velet
		網状脈	network vein or storkwork	net.
		向斜軸	synclinal axis	syn.
		背斜軸	anticlinal axis	anti.

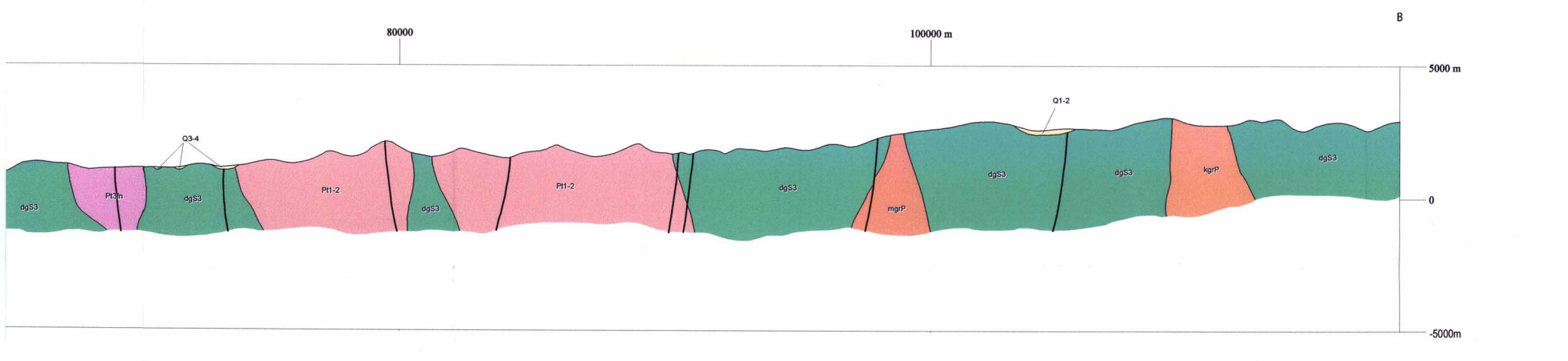
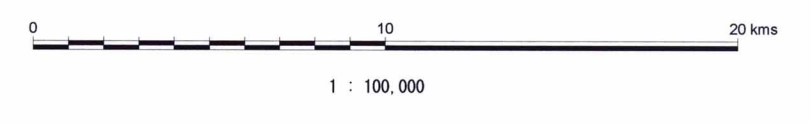
色番	記号	和名	English	Abbrev.
8		石英	quartz	qt.
8		方解石	calcite	cal.
8		苦灰石	dolomite	dol.
		斜長石	plagioclase	pl.
		カリ長石	alkali-feldspar	kf.
		角閃石	hornblende amphibole	ho.
		透閃石	tremolite	trem.
		アチノ石	actinolite	act.
		輝石	pyroxene	px.
		白雲母	muscovite	mus.
		黒雲母	biotite	bio.
		絹雲母	sericite	ser.
8		粘土鉱物	clay minerals	cl.
		柘榴石	garnet	gar.
		緑泥石	chlorite	chl.
		綠簾石	epidote	ep.
		電気石	tourmaline	tor.
		綠柱石	beryl	be.
		螢石	fluorite	fl.
		重晶石	barite	ba.
		石膏	gypsum	gyps.
16		黄銅鉱	chalcopyrite	cp.
16		黄鉄鉱	pyrite	py.
16		閃亜鉛鉱	sphalerite zinc blende	sph.
16		方鉛鉱	galena	gal.
21		磁鉄鉱	magnetite	mag.
21		赤鉄鉱	haematite	hema.
21		褐鉄鉱	limonite	limo.
16		鉱石	ore	ore

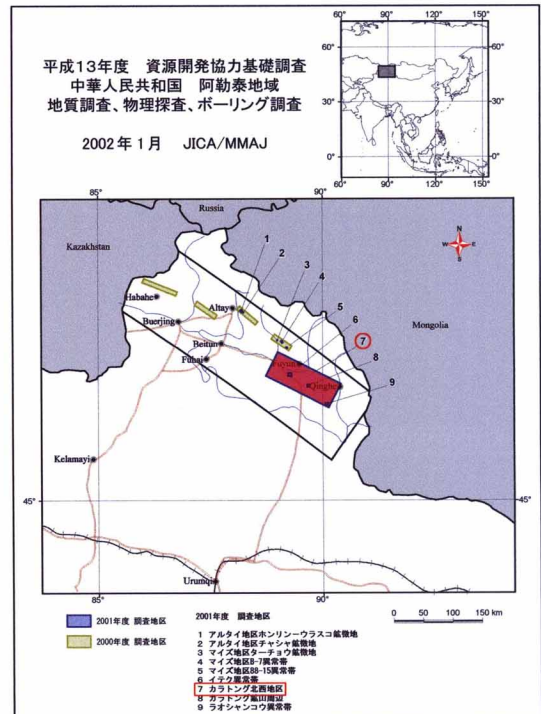
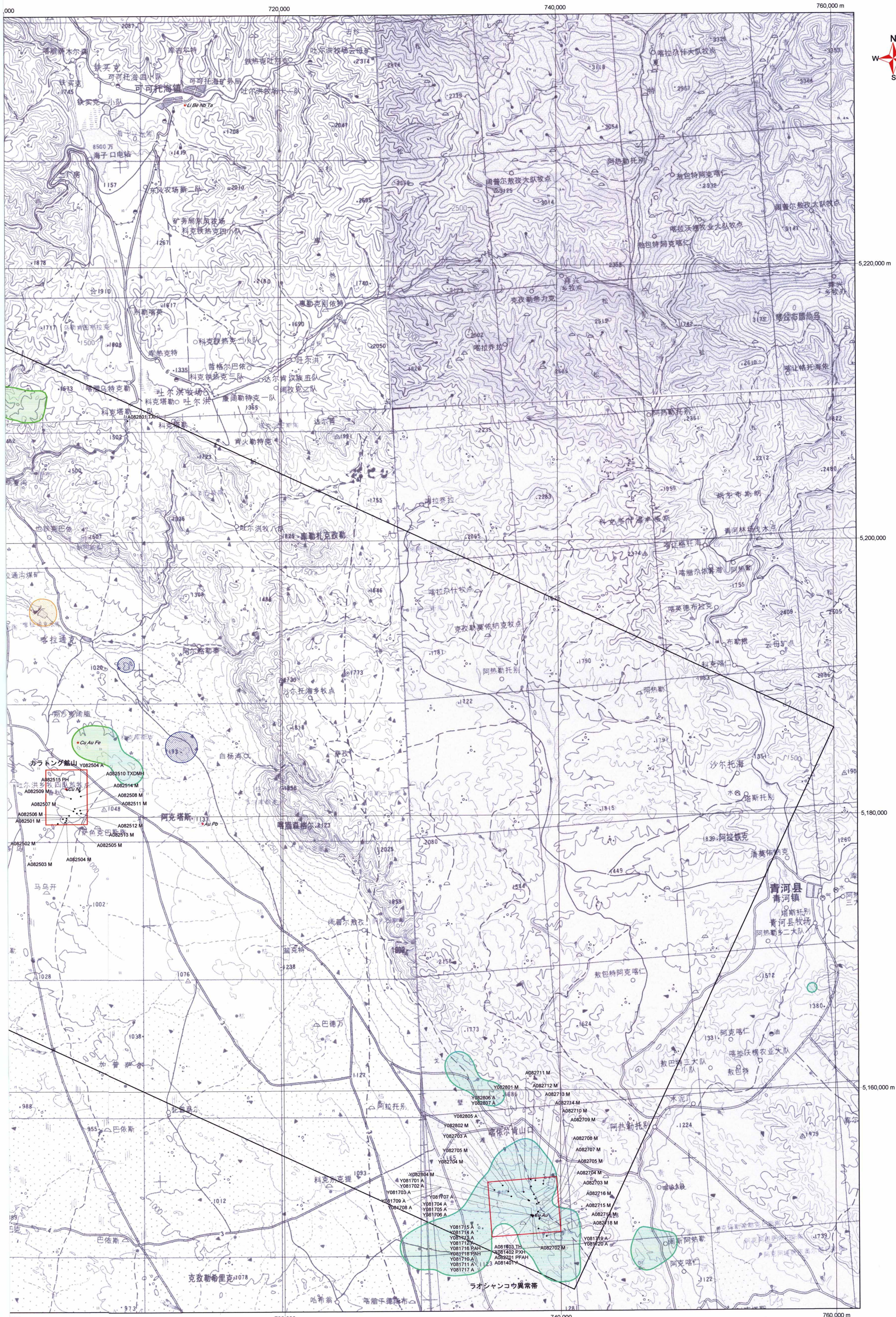
色番	記号	和名	English	Abbrev.
		火成岩 (igneous rocks)		
		片状	schistose	sch-
		斑状	porphyritic	po-
		塊状	massive	mas-
		角礫状	brecciated	bre-
		準粒状	granular	gra-
		縞状	banded	band-
		鉱染状	dissemination	diss.
		含有	impregnation	imp.
		散点状	dotted	dot-
		ハッチ状	patch	pat-
		変質 (alteration)		
12		硅化	silicified	sil-
4		粘土化	argirized	argi-
21		黄鉄鉱化	pyritized	py-
7		綠泥石化	chloritized	chl-
		粒度 (grain size)		
		細粒	fine-grained	frg.
		中粒	medium-grained	mdg.
		粗粒	coarse-grained	csg.
		珪酸度 (silica index)		
		酸性	acidic	acd-
		中性	intermediate	int-
		塩基性	basic mafic	maf-
		超塩基性	ultrabasic	umaf-



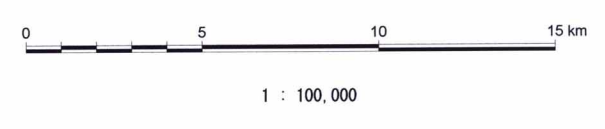
別添図1 カラコルム北西地区地質図、地質断面図(縮尺10万分の1)

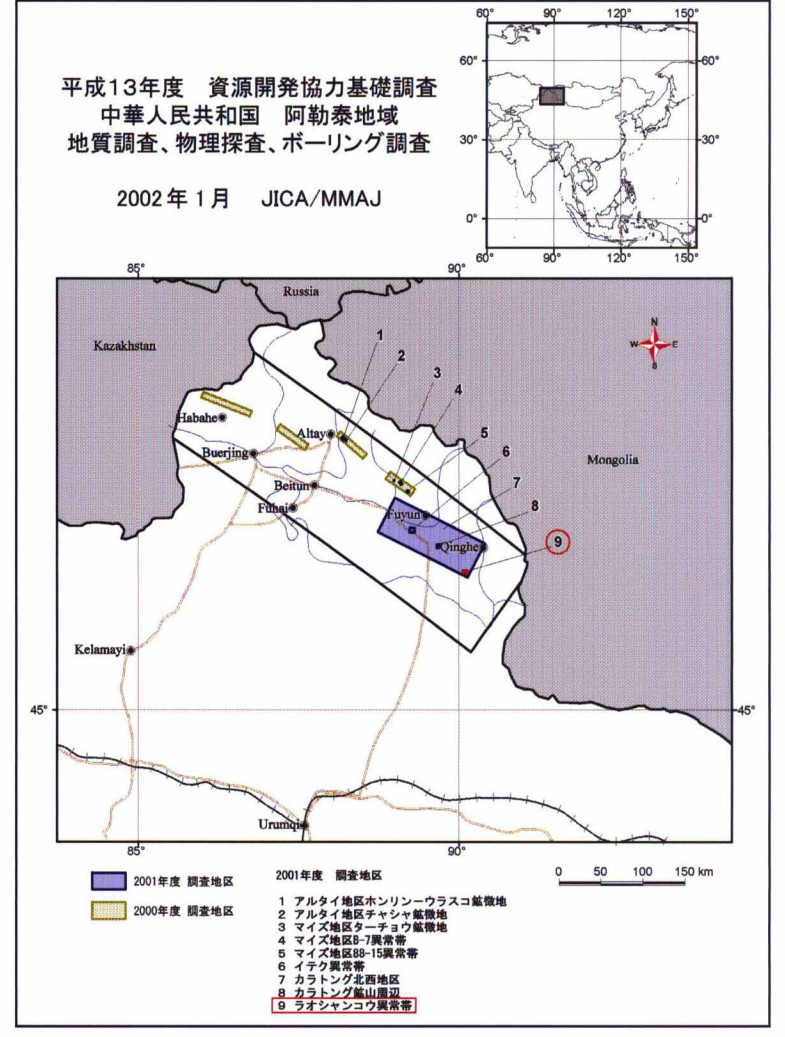
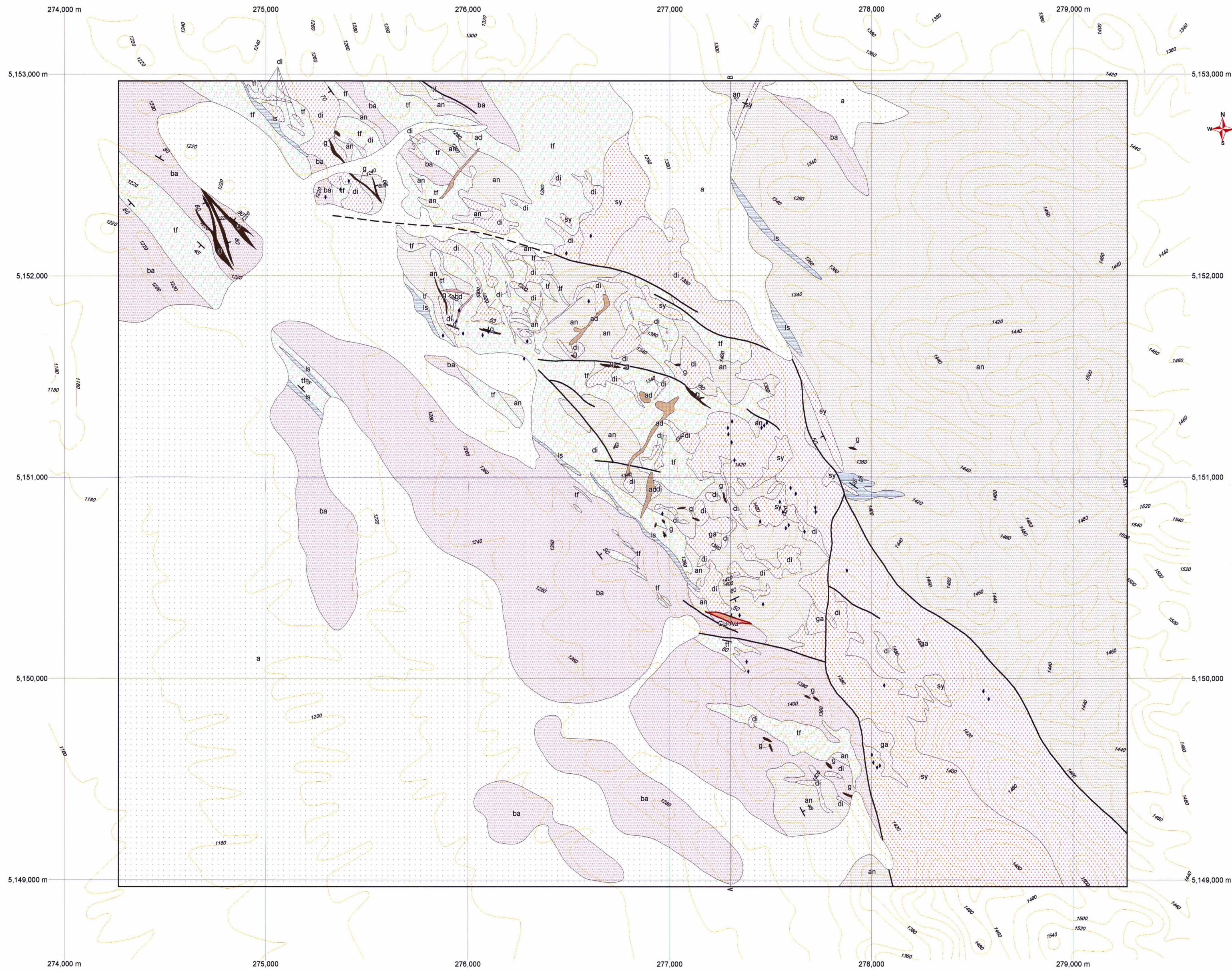
堆積岩類		貫入岩類	
第四系	Q4 完新統	二疊紀	sgpP2 閃長岩
	Q3-4 上部更新統-完新統		grpP 花崗斑岩
	Q3 上部更新統		mqrP モンゾナイティック花崗岩
	Q2 中部更新統		kgpP アルカリ長石花崗岩
	Q1-2 下-中部更新統	石炭紀	gabD2-3 斑レイ岩、閃長岩
第三系	N 上部第三系		grpD2 花崗斑岩
	E 下部第三系		grD2 花崗閃長岩
白堊系	K2e アリク層		kerC2 アルカリ長石花崗岩
ジュラ系	J1-2st スイシーゴ層		dC 閃長岩
石炭系	C 未区分層		dG 石英雲母閃長岩
	C1nl ナリカラ層		grC 花崗閃長岩
	C1n ナンミンスイ層		mqrC モンゾナイティック花崗岩
デボン系	D クマス層	デボン紀	gabD3 斑レイ岩
	D2-3b1 ベロウハ層		gabD3 斑レイ岩、輝緑岩
	D2v アルタイ層	シルル紀	dsS3 石英雲母閃長岩
	D2b ベーターシャン層		
	D1kt カンプティホ層、トヤンケクトク層		
原生界	Pt3fn フユン層群	断層	—
	Pt1-2 クムチ層群	鉱床、鉱徴地(鉱種)	●





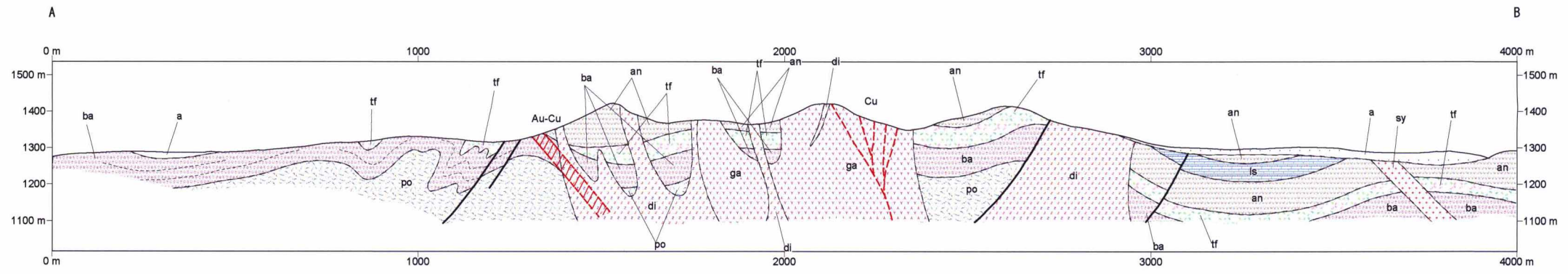
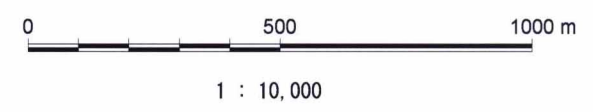
- 試料採取地点
 - ★ 鉱床、鉱微地及び鉱種
- 地化学異常帯
- Cu > 100ppm
 - Ni+Co+Cr > 250ppm
 - Pb+Zn > 150ppm
 - 1万分の1マッピング範囲



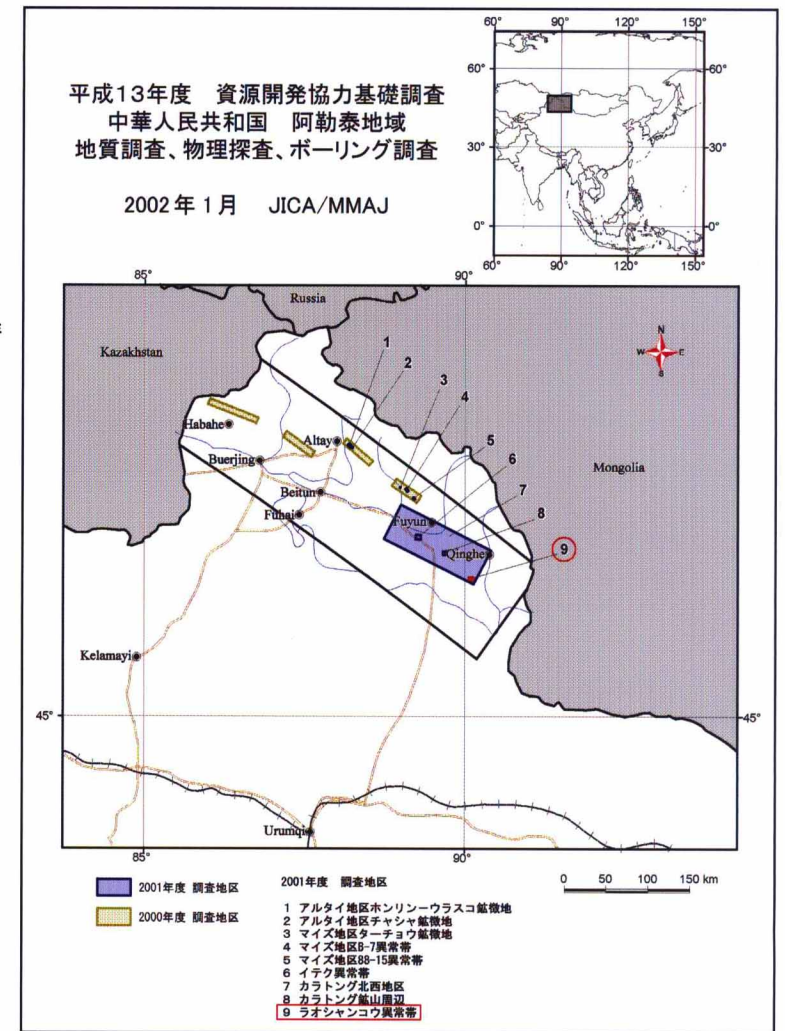
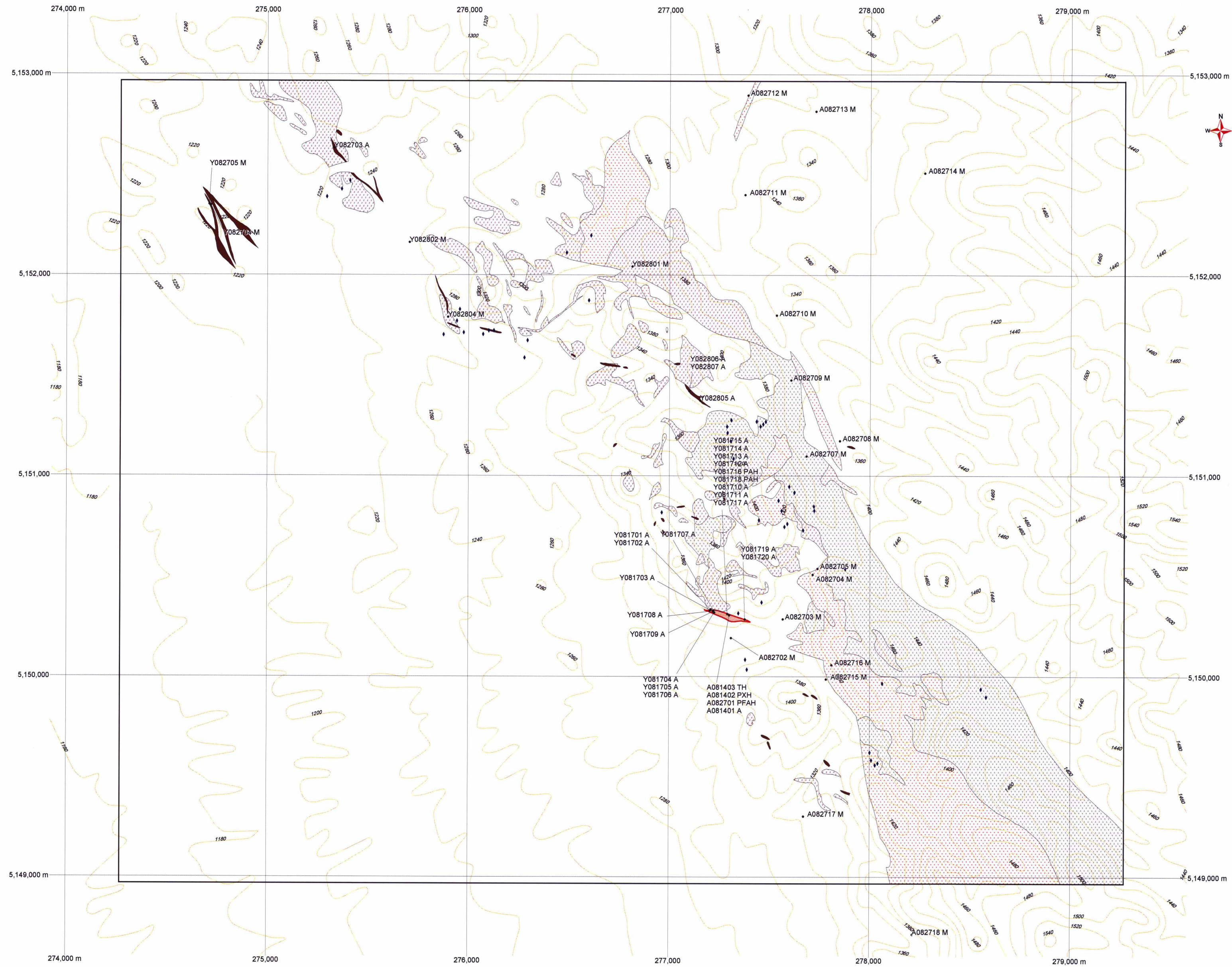


別添図3 ラオシャンコウ地質異常帯地質図、地質断面図(縮尺1万分の1)

- 第四系 (a)
- 安山岩及び同質凝灰角礫岩 (an)
- 晶質石灰岩 (ls)
- 凝灰岩及び凝灰質砂岩 (tf)
- 玄武岩、玄武岩質凝灰角礫岩、スピライト、枕状溶岩 (ba)
- ひん岩、凝灰岩 (po)
- 安山岩岩脈 (ad)
- 玄武岩岩脈 (bd)
- 閃長岩 (sy)
- 閃長岩、閃長斑岩 (di)
- 斑れい岩、角閃岩 (ga)
- 金銅鉱染状結体
- ゴッサン (g)
- ◆ 酸化銅鉱微
- 断層
- - 伏在推定断層
- ┌ 走向傾斜



Coordinate system: Universal Transverse Mercator
Zone: 46 (E 90 to E 96)
Actual projection: Transverse Mercator
Datum: Meris Geodetic System 1984
Ellipsoid: WGS 1984
Units: meters



別添図4 ラオシャンコウ地化学異常帯鉱微地分布
及び試料採取位置図 (縮尺1万分の1)

- 試料採取地点
 - ◆ 酸化銅鉱微
 - 金銅鉱染状鉱体
 - ゴッサン
 - 斑レイ岩
 - 閃緑岩
 - 閃長岩
- 室内試験項目
- T : 薄片鑑定
 - P : 研磨片鑑定
 - X : X線回折分析
 - F : 流体包有物均質化温度測定
 - D : 放射年代測定 (Rb-Sr法)
 - A : 鉱石化学分析
 - M : 岩石微量成分分析
 - R : 比抵抗、充電率測定
 - H : 岩石、鉱石標本



1 : 10,000

Coordinate system: Universal Transverse Mercator
Zone: 46 (E 90 to E 90)
Actual projection: Transverse Mercator
Datum: World Geodetic System 1984
Ellipsoid: WGS 1984
Units: meters